

การศึกษาแนวโน้มของตำแหน่งการเกิดการล้าของล้อและรางรถไฟ
ภายใต้การสัมผัสกลิ้งด้วยระเบียบวิธีไฟไนต์เอลิเมนต์

STUDY OF FATIGUE CRACK INITIATION LOCATION OF WHEEL AND RAIL
UNDER ROLLING CONTACT USING FINITE ELEMENT METHOD



วิทยานิพนธ์นี้เป็นส่วนหนึ่งของการศึกษาตามหลักสูตรปริญญาวิศวกรรมศาสตรมหาบัณฑิต
สาขาวิชาวิศวกรรมเครื่องกล
คณะวิศวกรรมศาสตร์
สถาบันเทคโนโลยีพระจอมเกล้าเจ้าคุณทหารลาดกระบัง
พ.ศ.2560
KMITL-2017-EN-M-030-203

การศึกษาแนวโน้มของตำแหน่งการเกิดการล้าของล้อและรางรถไฟ
ภายใต้การสัมผัสกลิ้งด้วยระเบียบวิธีไฟไนต์เอลิเมนต์

STUDY OF FATIGUE CRACK INITIATION LOCATION OF WHEEL AND RAIL
UNDER ROLLING CONTACT USING FINITE ELEMENT METHOD



วิทยานิพนธ์นี้เป็นส่วนหนึ่งของการศึกษาตามหลักสูตรปริญญาวิศวกรรมศาสตรมหาบัณฑิต
สาขาวิชาวิศวกรรมเครื่องกล
คณะวิศวกรรมศาสตร์
สถาบันเทคโนโลยีพระจอมเกล้าเจ้าคุณทหารลาดกระบัง
พ.ศ.2560

KMITL-2017-EN-M-030-203

เอกสารนี้เป็นเอกสารที่สงวนไว้สำหรับการใช้งานเพื่อการศึกษาเท่านั้น ไม่อนุญาตให้นำไปใช้ประโยชน์ด้านการค้า
ไม่ว่ากรณีใดๆ ทั้งสิ้น อีกทั้งห้ามมิให้ตัดแปลงเนื้อหา และต้องอ้างอิงถึงเจ้าของเอกสารทุกครั้งที่มีการนำไปใช้

STUDY OF FATIGUE CRACK INITIATION LOCATION OF WHEEL AND RAIL
UNDER ROLLING CONTACT USING FINITE ELEMENT METHOD



A THESIS SUBMITTED IN PARTIAL FULFILLMENT
OF THE REQUIREMENTS FOR THE DEGREE OF
MASTER OF ENGINEERING IN MECHANICAL ENGINEERING
FACULTY OF ENGINEERING
KING MONGKUT'S INSTITUTE OF TECHNOLOGY LADKRABANG

2017

เอกสารนี้เป็นเอกสารที่สงวนไว้สำหรับการใช้งานเพื่อการศึกษาเท่านั้น เมื่ออนุญาตให้นำไปใช้ประโยชน์ด้านการค้า
ไม่ว่ากรณีใดๆ ทั้งสิ้น อีกทั้งห้ามมิให้ตัดแปลงเนื้อหา และต้องอ้างอิงถึงเจ้าของเอกสารทุกครั้งที่มีการนำไปใช้

KMITL-2017-EN-M-030-203



COPYRIGHT 2017

FACULTY OF ENGINEERING

KING MONGKUT'S INSTITUTE OF TECHNOLOGY LADKRABANG

เอกสารนี้เป็นเอกสารที่สงวนไว้สำหรับการใช้งานเพื่อการศึกษาเท่านั้น ไม่อนุญาตให้นำไปใช้ประโยชน์ด้านการค้า
ไม่ว่ากรณีใดๆ ทั้งสิ้น อีกทั้งห้ามมิให้ดัดแปลงเนื้อหา และต้องอ้างอิงถึงเจ้าของเอกสารทุกครั้งที่มีการนำไปใช้

คณะวิศวกรรมศาสตร์
สถาบันเทคโนโลยีพระจอมเกล้าเจ้าคุณทหารลาดกระบัง
ใบรับรองวิทยานิพนธ์

หัวข้อวิทยานิพนธ์ การศึกษาแนวโน้มของตำแหน่งการเกิดการล้าของล้อและรางรถไฟภายใต้การสัมผัสสกลิ่งด้วยระเบียบวิธีไฟไนต์เอลิเมนต์
Thesis Title Study of Fatigue Crack Initiation Location of Wheel and Rail Under Rolling Contact Using Finite Element Method
นักศึกษา นายสุเทพ แร่อ่อน
รหัสประจำตัว 55610961
ปริญญา วิศวกรรมศาสตรมหาบัณฑิต
สาขาวิชา วิศวกรรมเครื่องกล
อาจารย์ที่ปรึกษาวิทยานิพนธ์ ผศ.ดร.มนต์ศักดิ์ พิมสาร
หมายเลขวิทยานิพนธ์ KMITL-2017-EN-M-030-203

คณะกรรมการสอบวิทยานิพนธ์	ลายมือชื่อ
ผศ.ดร.รัฐะพล หุยนันทน์	
รศ.ดร.จำลอง ปราบแก้ว	
ดร.จิตราภรณ์ วงศางาม	
ผศ.ดร.ณัฐวุฒิ เตไปวา	
ผศ.ดร.มนต์ศักดิ์ พิมสาร	

วัน / เดือน / ปี ที่สอบ วันศุกร์ที่ 8 ธันวาคม พ.ศ. 2560 เวลา 09.30-11.30 น.
สถานที่สอบ ณ อาคาร A ชั้น 5 ห้องประชุม 3

สถาบันเทคโนโลยีพระจอมเกล้าเจ้าคุณทหารลาดกระบัง
KING MONGKUT'S INSTITUTE OF TECHNOLOGY LADKRABANG

คณะวิศวกรรมศาสตร์ รับรองแล้ว

(รองศาสตราจารย์ ดร. คมสัน มาลีสี)

เอกสารนี้เป็นเอกสารที่สงวนไว้สำหรับการใช้งานเพื่อการศึกษาเท่านั้น ไม่อนุญาตให้นำไปใช้ประโยชน์ด้านการค้า
ไม่ว่ากรณีใดๆ ทั้งสิ้น อีกทั้งห้ามมิให้ตัดแปลงเนื้อหา และต้องอ้างอิงถึงเจ้าของเอกสารทุกครั้งที่มีการนำไปใช้
วันที่ 8 ธันวาคม พ.ศ. 2560

หัวข้อวิทยานิพนธ์	การศึกษาแนวโน้มของตำแหน่งการเกิดการล้าของล้อและรางรถไฟภายใต้การสัมผัสสลึงด้วยระเบียบวิธีไฟไนต์เอลิเมนต์
นักศึกษา	นายสุเทพ แร่อ่อน
รหัสประจำตัว	55610961
ปริญญา	วิศวกรรมศาสตรมหาบัณฑิต
สาขาวิชา	วิศวกรรมเครื่องกล
พ.ศ.	2560
อาจารย์ที่ปรึกษาวิทยานิพนธ์	ผศ.ดร. มนต์ศักดิ์ พิมสาร

บทคัดย่อ

ปัจจุบันระบบขนส่งทางรางได้ถูกนำมาใช้ในการขนส่งสินค้าและผู้โดยสารอย่างแพร่หลาย เนื่องจากเป็นทางเลือกในการขนส่งที่มีความคุ้มค่าทางเศรษฐศาสตร์และมีความปลอดภัยสูง การบำรุงรักษาและป้องกันความเสียหายที่จะเกิดขึ้นกับล้อและรางรถไฟจึงเป็นปัจจัยที่มีความสำคัญ ซึ่งส่งผลต่อความปลอดภัย จากการศึกษาข้อมูลทางสถิติ พบว่า ความเสียหายที่เกิดขึ้นกับล้อและรางรถไฟส่วนใหญ่ คือ การแตกร้าว ซึ่งเป็นผลมาจากความเค้นที่เกิดขึ้นจากการสัมผัสระหว่างล้อและรางรถไฟ โดยงานวิจัยนี้นำเสนอการศึกษาแนวโน้มของตำแหน่งการเกิดความเสียหายเนื่องจากการล้าจากการสัมผัสสลึงของแบบจ สองสามมิติของล้อและรางรถไฟที่มีการใช้งานในโครงการรถไฟฟ้าสายสีม่วง ช่วงบางใหญ่ – บางซื่อ ด้วยความเร็ว 80 km/h โดยใช้ระเบียบวิธีไฟไนต์เอลิเมนต์ ประกอบกับเกณฑ์การล้าของ Dang Van ในกรณีที่ล้อมีการเปลี่ยนแปลงตำแหน่งตามแนวขวางของรางรถไฟ รวมถึงรางรถไฟมีการเปลี่ยนแปลงมุมเอียงจาก 0, 1/40, 1/30 และ 1/20 ตามลำดับ ซึ่งพบว่า ความเสียหายจากการล้าที่เกิดขึ้นกับล้อและรางรถไฟ จะมีแนวโน้มเพิ่มขึ้นเมื่อล้อมีการเปลี่ยนแปลงตำแหน่งจากด้าน Gauge side ไปยังด้าน Field side และความเสียหายจากการล้าที่เกิดขึ้นกับล้อและรางรถไฟจะมีแนวโน้มลดลงเมื่อรางรถไฟมีมุมเอียงเพิ่มขึ้นจนถึงมุมเอียง 1/30 นอกจากนี้ พบว่า ความเสียหายจะเกิดขึ้นในบริเวณใต้ผิวของล้อและรางรถไฟ โดยผลการศึกษาดังกล่าวสามารถนำไปใช้เป็นแนวทางเบื้องต้นในการวางแผนการซ่อมบำรุงรักษา ต่อไป

คำหลัก : ล้อ, รางรถไฟ, มุมเอียงรางรถไฟ, ตำแหน่งการเกิดการล้าของการสัมผัสสลึง, เกณฑ์การล้าของ Dang Van

Thesis	Study of Fatigue Crack Initiation Location of Wheel and Rail Under Rolling Contact Using Finite Element Method
Student	Mr. Suthep Raeon
Student ID.	55610961
Degree	Master of Engineering
Program	Mechanical Engineering
Year	2017
Thesis Advisor	Asst. Prof. Dr. Monsak Pimsarn

ABSTRACT

The rail transit system is being widely used for freight and passenger transportation. This is due to its economic worthiness and high safety mode. Maintenance and damage prevention of wheel and rail are important factors affecting the safety of the system. The previous data show that the most damage of wheel and rail is cracking, which leads to the stress of the contact area between wheel and rail. This research compiles the study of the fatigue crack initiation location of wheel and rail under rolling contact at 80 km/h using Finite Element Method (FEM). The three – dimensional model was created using the data of wheel and rail of the MRT Purple line project, Bang Yai to Bang Sue section. The Dang Van criteria was applied to analyze the fatigue crack initiation in case of the wheel's position is changed along the rail lateral displacement and rail inclination at 0, 1/40, 1/30 and 1/20, respectively. The results show that the fatigue crack initiation tends to increase when the wheel is moved from gauge side to field side and the rail inclination increases to 1/30. The model and results from this research can be a primary guideline for maintenance planning.

Keywords : Wheel, Rail, Rail Inclination, Rolling contact fatigue crack initiation, Dang Van criteria

กิตติกรรมประกาศ

วิทยานิพนธ์ฉบับนี้สำเร็จลุล่วงได้ด้วยคำแนะนำ คาปรึกษา และความกรุณาเป็นอย่างยิ่งจาก ผู้ช่วยศาสตราจารย์ ดร.มนต์ศักดิ์ พิมสาร อาจารย์ที่ปรึกษาวิทยานิพนธ์ ที่ได้ให้ความรู้ในเชิงวิชาการ อันเป็นแนวทางในการทาวิจัย ชี้จุดข้อบกพร่องและแนวทางในการแก้ไข ปลุกฝังให้มีความมานะ พยายาม และเป็นแบบอย่างที่ดีแก่มาโดยตลอด รวมถึงการให้ความเอาใจใส่ดูแล ติดตามการ ดเนินงานอย่างสม่ งามอ จึงขอขอบคุณมา ณ ที่นี้

ขอขอบคุณการรถไฟฟ้าขนส่งมวลชนแห่งประเทศไทย ที่ให้การสนับสนุนข้อมูลต่าง ๆ ใน โครงการรถไฟฟ้าสายสีม่วง ช่วงบางใหญ่ – บางซื่อ เพื่อใช้เป็นแนวทางในการท วิจัย

ขอขอบคุณคณะกรรมการสอบหัวข้อและโครงร่างวิทยานิพนธ์ที่ได้กรุณาให้คำแนะนำ ตลอดจนข้อชี้แนะ จนท าให้วิทยานิพนธ์ฉบับนี้ ส าเร็จลงได้

สุดท้ายขอขอบคุณบิดามารดาที่มอบชีวิตและอบรมสั่งสอนด้วยความรักและความเอาใจใส่ ตลอดจนสนับสนุนให้มีโอกาสในการศึกษา ตั้งแต่เยาว์วัยจนถึงปัจจุบัน สาหรับคุณงามความดีอันใดที่ เกิดจากวิทยานิพนธ์ฉบับนี้ ข้าพเจ้าขอมอบให้กับบิดามารดา ซึ่งเป็นที่รักและเคารพยิ่ง

สุเทพ แร่อ่อน

สารบัญ

	หน้า
บทคัดย่อภาษาไทย.....	I
บทคัดย่อภาษาอังกฤษ.....	II
กิตติกรรมประกาศ.....	III
สารบัญ.....	IV
สารบัญตาราง.....	VII
สารบัญรูป.....	VIII
บทที่ 1 บทน า.....	1
1.1 ความส ัญและที่มาของปัญหา.....	1
1.2 วัตถุประสงค์ของการศึกษา.....	2
1.3 ขอบเขตของงานวิจัย.....	2
1.4 ขั้นตอนการศึกษา.....	3
1.5 ประโยชน์ที่คาดว่าจะได้รับ.....	4
บทที่ 2 งานวิจัยที่เกี่ยวข้อง.....	5
2.1 บทน า.....	5
2.2 งานวิจัยที่เกี่ยวข้อง.....	5
บทที่ 3 ทฤษฎีที่เกี่ยวข้อง.....	13
3.1 บทน า.....	13
3.2 ความรู้เบื้องต้นเกี่ยวกับรถไฟและความเสียหายของล้อและรางรถไฟ.....	13
3.2.1 ส่วนประกอบที่สำคัญของรถไฟ.....	13
3.2.2 ความเสียหายของล้อและรางรถไฟ.....	17
3.3 ทฤษฎีการสัมผัสของเฮิร์ตซ์.....	29
3.4 ทฤษฎีความเสียหาย.....	32
3.4.1 ทฤษฎีความเค้นเฉือนสูงสุดสำหรับวัสดุเหนียว.....	34
3.4.2 ทฤษฎีพลังงานของการเปลี่ยนรูป.....	36
3.5 ความเสียหายเนื่องจากการล้า.....	39
3.5.1 การค นวณอายุการล้า.....	40
3.5.2 เกณฑ์การล้าของ Dang Van.....	44
3.6 ระเบียบวิธีไฟไนต์เอลิเมนต์.....	46

เอกสารนี้เป็นเอกสารที่สงวนไว้สำหรับการใช้งานเพื่อการศึกษาเท่านั้น ไม่อนุญาตให้นำไปใช้ประโยชน์ด้านการค้า
ไม่ว่ากรณีใดๆ ทั้งสิ้น อีกทั้งห้ามมิให้ดัดแปลงเนื้อหา และต้องอ้างอิงถึงเจ้าของเอกสารทุกครั้งที่มีการนำไปใช้

สารบัญ (ต่อ)

	หน้า
บทที่ 4 วิธีด าเนินการวิจัย.....	47
4.1 บทน า.....	47
4.2 การตรวจสอบความถูกต้องของแบบจ าลอง.....	48
4.3 การสร้างแบบจ าลอสามมิติของล้อและรางรถไฟ	52
4.3.1 การสร้างแบบจ าลอสามมิติของล้อ.....	52
4.3.2 การสร้างแบบจ าลอสามมิติของรางรถไฟ.....	53
4.4 การจ าลอการสัมผัสลิ่งระหว่างล้อและรางรถไฟ	53
4.4.1 การนาแบบจ าลองของล้อและรางรถไฟเข้าสู่กระบวนการวิเคราะห์ ด้วยระเบียบวิธีไฟไนต์เอลิเมนต์.....	53
4.4.2 การปรับปรุงแบบจ าลองและก าหนดคุณสมบัติทางวัสดุ.....	53
4.4.3 การก หนดเงื่อนไขขอบเขตของแบบจ าลอง.....	56
4.4.4 การก หนดขั้นตอนการสัมผัสลิ่งของแบบจ าลอง.....	57
4.4.5 การก หนดเอลิเมนต์ให้แบบจ าลอง.....	58
4.4.6 การก าหนดมุมเอียงและตาแหน่งของล้อตามแนวขวางของราง รถไฟ.....	59
4.4.7 การพิจารณาผลลัพธ์จากแบบจ าลอง.....	59
4.5 การวิเคราะห์ต าแหน่งที่มีแนวโน้มเกิดการล้าด้วยเกณฑ์การล้าของ Dang Van.....	60
บทที่ 5 ผลการวิจัยและวิเคราะห์ผล.....	61
5.1 การศึกษาผลการตรวจสอบความถูกต้องของแบบจ าลอง	61
5.1.1 ระยะของพื้นที่สัมผัสและความดันสัมผัสสูงสุด.....	61
5.1.2 การกระจายตัวของความดันสัมผัสและความเค้นในแนวแกน z	62
5.2 การศึกษาความเค้นจากการสัมผัสลิ่งของแบบจ าลอง.....	65
5.2.1 กรณีเปลี่ยนแปลงตาแหน่งตามแนวขวางของรางรถไฟที่มีมุมเอียง 1/40	66
5.2.2 กรณีเปลี่ยนแปลงมุมเอียงของรางรถไฟ	69
5.3 การวิเคราะห์การล้าจากการสัมผัสลิ่งของแบบจ าลอง.....	73
5.3.1 กรณีเปลี่ยนแปลงตาแหน่งตามแนวขวางของรางรถไฟที่มีมุมเอียง 1/40	74
5.3.2 กรณีเปลี่ยนแปลงมุมเอียงของรางรถไฟ	75

สารบัญ (ต่อ)

	หน้า
บทที่ 6 สรุปลผลการวิจัยและข้อเสนอแนะ.....	78
6.1 บทสรุป	78
6.2 ข้อเสนอแนะ	79
เอกสารอ้างอิง.....	81
ภาคผนวก.....	84
ภาคผนวก ก บทควมวิจัยที่ได้รับการตีพิมพ์.....	85
ประวัติผู้เขียน	92



สารบัญตาราง

ตารางที่	หน้า
3.1 แสดงสัมประสิทธิ์ m และ n	31
4.1 ระยะของพื้นที่สัมผัสและความดันสัมผัสสูงสุดตามทฤษฎีการสัมผัสของเฮิร์ตซ์	50
4.2 ความดันสัมผัสจากการคำนวณตามทฤษฎีการสัมผัสของเฮิร์ตซ์	51
4.3 ความเค้นในแนวแกน z ที่ระยะต่าง ๆ	51
4.4 แสดงคุณสมบัติทางวัสดุของล้อและรางรถไฟ	54
4.5 แสดงคุณสมบัติการเปลี่ยนรูปแบบพลาสติกของล้อและรางรถไฟ	56
4.6 จานวนเฮิเมนต์ในแต่ละแบบจ ลอง	58
5.1 การเปรียบเทียบระยะของพื้นที่สัมผัสและความดันสัมผัสสูงสุด	62



สารบัญรูป

รูปที่	หน้า
1.1 รถไฟฟ้าในโครงการรถไฟฟ้าสายสีม่วง ช่วงบางใหญ่ – บางซื่อ.....	4
2.1 การกระจายตัวของความดันสัมผัสเทียบกับทฤษฎีการสัมผัสของเฮิร์ตซ์ [3]	6
2.2 การกระจายตัวของความเค้นตามเกณฑ์การล้าของ Dang Van และ Loading path [4].....	7
2.3 ขนาดของแผ่นดีสก์ซึ่งใช้เป็นแบบจำลองในการทดสอบ [5]	7
2.4 แบบจำลองไฟไนต์เอลิเมนต์สามมิติ ที่ใช้ในการศึกษาการสัมผัสระหว่างล้อและ รางรถไฟ [6].....	8
2.5 ตำแหน่งการสัมผัสระหว่างล้อและรางรถไฟของล้อเดิม (a) และล้อที่ออกแบบใหม่ (b) [7].....	8
2.6 การกระจายตัวของความเค้น von Mises ในการสัมผัสระหว่างล้อและรางรถไฟ [8].....	9
2.7 ผลการเปรียบเทียบความเค้น Dang Van ที่ได้จากการคำนวณเชิงตัวเลขทั้ง 4 วิธี [9].....	10
2.8 รูปร่างของพื้นที่สัมผัสตามทฤษฎีของเฮิร์ตซ์ ตามแนวขวางของรางรถไฟ [11]	11
2.9 ความเค้นของสัมผัสระหว่างล้อและรางรถไฟ ซึ่งมีลักษณะเป็นรูปวงรี [12].....	11
2.10 การกระจายความเค้นเฉือนจากแบบจำลอง FEM (a, b) และแบบจำลอง CONTRACT (c, d) [13].....	12
3.1 โบกี้ [26].....	14
3.2 ล้อ (ซ้าย) และชุดล้อพร้อมเพลา (ขวา).....	15
3.3 แสดงขนาดและมิติของรางรถไฟตามมาตรฐาน UIC 50 (ซ้าย) และ UIC 60 (ขวา) [25]	15
3.4 แสดงความกว้างของทางรถไฟ.....	16
3.5 ลักษณะมุมเอียงของรางรถไฟ.....	16
3.6 รอยแตกกร้าวของล้อจากความร้อน [14].....	17
3.7 รอยแตกกร้าวเนื่องจากการล้าของการสัมผัสสัณฐาน [14]	18
3.8 รอยแตกกร้าวที่ผิวซึ่งแพร่กระจายจากรอยแตกกร้าวจากการล้าใต้ผิว [14].....	18
3.9 รอยแตกกร้าวจากการล้า [14]	19
3.10 การการแตกเป็นเศษเล็ก ๆ ของพื้นล้อ [14].....	20
3.11 พื้นของล้อลื่นไถล [14]	20
3.12 ล้อที่มีสันคม [14]	21
3.13 พื้นล้อมีลักษณะกลาง [14].....	21
3.14 ล้อที่มีการหมุนที่ไม่ดีเนื่องจากเครื่องกีด [14].....	22
3.15 ล้อที่มีการหมุนที่ไม่ดีเนื่องวัตถุภายนอก [14].....	22

สารบัญรูป (ต่อ)

รูปที่	หน้า
3.16 การหลุดล่อนที่ผิวของหัวราง [15].....	23
3.17 รอยร้าวที่หัวราง [15]	24
3.18 การแตกหักเป็นเศษเล็ก ๆ [15].....	24
3.19 Squats [15].....	25
3.20 ตาหิรูปไข่ [15].....	26
3.21 Tongue lipping [15].....	26
3.22 รอยแตกร้าวแนวตั้งตามยาว [15].....	27
3.23 รอยแตกร้าวทแยงมุม [15]	28
3.24 ผิวรางเป็นลูกฟูก [15].....	29
3.25 แบบจาสองการสัมผัสตามทฤษฎีของเฮิร์ตซ์ [1].....	29
3.26 รัศมีความโค้งหลักของล้อและรางรถไฟ [1].....	30
3.27 แสดงค่าความเค้นที่เป็นจุดต้านแรงคราก [22].....	33
3.28 สมการที่ (3.19) - (3.21) ในระนาบ σ_A, σ_B [22].....	35
3.29 แสดงพลังงานของการเปลี่ยนรูปลูกบาศก์ภายใต้ความเค้น 3 มิติ [22]	36
3.30 แสดงสมการ σ' บนระนาบ $\sigma_A \sigma_B$ [22].....	38
3.31 แสดงสมการ σ' บนระนาบ $\sigma_1 \sigma_2$ [22]	39
3.32 เครื่องมือสําหรับทดสอบเพื่อหาอายุการล้าของชิ้นงานของ Moore [22]	41
3.33 ชิ้นงานทดสอบมาตรฐานสําหรับเครื่องทดสอบของ Moore [22].....	41
3.34 $S-N$ Diagram ของเหล็กกล้า UNS G41300 โดย $S_{III} = 116$ ksi [22]	42
3.35 $S-N$ Diagram ของอะลูมิเนียมอัลลอยด์ [22].....	42
3.36 ความเค้นสลับตรงกัน กระทําซ้ําสอดทิศทาง ($R = -1$) [22].....	43
3.37 เกณฑ์การล้าของ Dang Van ในระนาบ τ และ P [16].....	45
3.38 ขั้นตอนการแก้ปัญหาด้วยระเบียบวิธีไฟไนต์เอลิเมนต์โดยทั่วไป.....	46
4.1 แผนภาพแสดงขั้นตอนการดําเนินงาน	48
4.2 แบบจาสองสามมิติของล้อและรางรถไฟอย่างง่าย	49
4.3 เงื่อนไขขอบเขตในการตรวจสอบแบบจาสอง	49
4.4 ความดันสัมผัสที่ใช้ในการตรวจสอบแบบจาสอง.....	50
4.5 ความเค้นในแนวแกน z ที่ระยะต่าง ๆ.....	50
4.6 รูปร่างของล้อและรางรถไฟในโครงการรถไฟสายสีม่วง ช่วงบางใหญ่ - บางซื่อ [26].....	52

สารบัญรูป (ต่อ)

รูปที่	หน้า
4.7 การสร้างแบบจ าลอสามมิติของล้อ.....	52
4.8 การสร้างแบบจ าลอสามมิติของรางรถไฟ.....	53
4.9 ต าแหน่งของแบบจ าลอสามมิติของล้อและรางรถไฟ.....	54
4.10 คุณสมบัติทางวัสดุของล้อ.....	55
4.11 คุณสมบัติทางวัสดุของรางรถไฟ.....	55
4.12 เงื่อนไขขอบเขตของแบบจ าลอและรางรถไฟ.....	57
4.13 ขั้นตอนการสัมผัสของแบบจ าลอ.....	57
4.14 เอลิเมนต์ของแบบจ าลอ.....	58
4.15 แบบจ าลอที่มีมุมเอียงของรางรถไฟต่าง ๆ.....	59
4.16 การเปลี่ยนแปลงต าแหน่งตามแนวขวางของรางรถไฟ.....	59
5.1 ความดันสัมผัสที่ได้จากแบบจ าลอที่ใช้ตรวจสอบ.....	62
5.2 กราฟเปรียบเทียบการกระจายตัวของความดันสัมผัส.....	63
5.3 ความเค้นในแนวแกน z ได้จากแบบจ าลอที่ใช้ตรวจสอบ.....	63
5.4 กราฟเปรียบเทียบการกระจายตัวของความเค้นในแนวแกน z	64
5.5 กราฟเปรียบเทียบความคลาดเคลื่อนความดันสัมผัสจากทฤษฎีการสัมผัสของเฮิร์ตซ์ กับการวิเคราะห์ด้วยระเบียบวิธีไฟไนต์เอลิเมนต์.....	64
5.6 กราฟเปรียบเทียบความคลาดเคลื่อนความเค้นในแนวแกน z จากทฤษฎีการสัมผัส ของเฮิร์ตซ์กับการวิเคราะห์ด้วยระเบียบวิธีไฟไนต์เอลิเมนต์.....	65
5.7 ความดันสัมผัสที่ต าแหน่งต่าง ๆ ในกรณีที่รางรถไฟมีมุมเอียง $1/40$	66
5.8 กราฟเปรียบเทียบความดันสัมผัสสูงสุด ในกรณีที่รางรถไฟมีมุมเอียง $1/40$	66
5.9 พื้นที่สัมผัสที่ต าแหน่งต่าง ๆ ในกรณีที่รางรถไฟมีมุมเอียง $1/40$	67
5.10 กราฟเปรียบเทียบพื้นที่สัมผัส ในกรณีที่รางรถไฟมีมุมเอียง $1/40$	67
5.11 กราฟเปรียบเทียบความเค้น Tresca ในกรณีที่รางรถไฟมีมุมเอียง $1/40$	68
5.12 กราฟเปรียบเทียบความเค้น von Mises ในกรณีที่รางรถไฟมีมุมเอียง $1/40$	68
5.13 ความดันสัมผัสที่ต าแหน่งต่าง ๆ ในกรณีที่รางรถไฟไม่มีมุมเอียง.....	69
5.14 ความดันสัมผัสที่ต าแหน่งต่าง ๆ ในกรณีที่รางรถไฟมีมุมเอียง $1/30$	69
5.15 ความดันสัมผัสที่ต าแหน่งต่าง ๆ ในกรณีที่รางรถไฟมีมุมเอียง $1/20$	69
5.16 กราฟเปรียบเทียบความดันสัมผัส เมื่อมีการเปลี่ยนแปลงมุมเอียง.....	70
5.17 พื้นที่สัมผัสที่ต าแหน่งต่าง ๆ ในกรณีที่รางรถไฟไม่มีมุมเอียง.....	70

เอกสารนี้เป็นเอกสารที่สงวนไว้สำหรับการใช้งานเพื่อการศึกษาเท่านั้น ไม่อนุญาตให้นำไปใช้ประโยชน์ด้านการค้า
 X
 ไม่ว่ากรณีใดๆ ทั้งสิ้น อีกทั้งห้ามมิให้ตัดแปลงเนื้อหา และต้องอ้างอิงถึงเจ้าของเอกสารทุกครั้งที่มีการนำไปใช้

สารบัญรูป (ต่อ)

รูปที่	หน้า
5.18 พื้นที่สัมผัสที่ต าแหน่งต่าง ๆ ในกรณีที่รางรถไฟมีมุมเอียง 1/30	70
5.19 ความดันสัมผัสที่ต าแหน่งต่าง ๆ ในกรณีที่รางรถไฟมีมุมเอียง 1/20	71
5.20 กราฟเปรียบเทียบพื้นที่สัมผัส เมื่อมีการเปลี่ยนแปลงมุมเอียง.....	71
5.21 กราฟเปรียบเทียบความเค้น Tresca ที่ล้อ เมื่อมีการเปลี่ยนแปลงมุมเอียง.....	72
5.22 กราฟเปรียบเทียบความเค้น Tresca ที่รางรถไฟ เมื่อมีการเปลี่ยนแปลงมุมเอียง	72
5.23 กราฟเปรียบเทียบความเค้น von Mises ที่ล้อ เมื่อมีการเปลี่ยนแปลงมุมเอียง	73
5.24 กราฟเปรียบเทียบความเค้น von Mises ที่รางรถไฟ เมื่อมีการเปลี่ยนแปลงมุมเอียง.....	73
5.25 กราฟเปรียบเทียบอัตราส่วนความเค้น Dang Van ที่มีมุมเอียงของรางรถไฟ 1/40.....	74
5.26 กราฟเปรียบเทียบต าแหน่งความเค้น Dang Van ที่มีมุมเอียงของรางรถไฟ 1/40.....	75
5.27 กราฟเปรียบเทียบอัตราส่วนความเค้น Dang Van ที่ล้อ เมื่อมีการเปลี่ยนแปลง มุมเอียง.....	76
5.28 กราฟเปรียบเทียบอัตราส่วนความเค้น Dang Van ที่รางรถไฟ เมื่อมีการเปลี่ยนแปลง มุมเอียง.....	76
5.29 กราฟเปรียบเทียบต าแหน่งความเค้น Dang Van เมื่อมีการเปลี่ยนแปลงมุมเอียง	77

เกิดการล้าของล้อและรางรถไฟภายใต้การสัมผัสก็จึงสามารถใช้เป็นแนวทางในการวางแผนการซ่อมบำรุงให้มีประสิทธิภาพต่อไป ทั้งนี้ในประเทศไทยยังไม่ให้ความสำคัญต่อการศึกษาในลักษณะดังกล่าวมากนัก เนื่องจากผู้ให้บริการด้านระบบขนส่งทางรางส่วนใหญ่จะมีวางแผนการซ่อมบำรุงตามระยะเวลาใช้งานที่ถูกระบุโดยผู้ผลิตจากต่างประเทศ

จากการศึกษางานวิจัยในประเทศไทย พบว่า งานวิจัยนี้เป็นงานวิจัยแรกที่ใช้ระเบียบวิธีไฟไนต์เอลิเมนต์ในการศึกษาแนวโน้มของตําแหน่งการเกิดการล้าของล้อและรางรถไฟ ในขณะที่ล้อมีการเคลื่อนที่ด้วยความเร็วคงที่ตามที่กำหนด ภายใต้แรงกดในแนวตั้งเนื่องจากน้ำหนักกดเพลลา โดยใช้โปรแกรม SOLIDWORKS ในการสร้างแบบจำลองสามมิติ แล้วจึงทำการวิเคราะห์ด้วยระเบียบวิธีไฟไนต์เอลิเมนต์ ซึ่งตัวแปรที่นำมาศึกษาเปรียบเทียบ คือ การเปลี่ยนแปลงตำแหน่งของล้อตามแนวขวางของรางรถไฟที่มีมุมเอียง $1/40$ และรางรถไฟที่มีมุมเอียงต่าง ๆ จากนั้นจึงทำการวิเคราะห์ตําแหน่งที่มีแนวโน้มจะเกิดการล้าด้วยเกณฑ์การล้าของ Dang Van เพื่อเป็นพื้นฐานในการศึกษาการล้าของล้อและรางรถไฟภายใต้การสัมผัสก็ รวมถึงใช้เป็นข้อมูลประกอบในการวางแผนการซ่อมบำรุงล้อและรางรถไฟในอนาคต ต่อไป

1.2 วัตถุประสงค์ของการศึกษา

1. เพื่อศึกษาการจําลองการสัมผัสก็ระหว่างล้อและรางรถไฟด้วยระเบียบวิธีไฟไนต์เอลิเมนต์
2. เพื่อศึกษาการเปลี่ยนแปลงความดันสัมผัส พื้นที่สัมผัส และความเค้นต่าง ๆ ที่เกิดขึ้นกับล้อและรางรถไฟ
3. เพื่อศึกษาและประยุกต์ใช้เกณฑ์การล้าของ Dang Van ในการหาตําแหน่งการเกิดการล้าของล้อและรางรถไฟ
4. เพื่อศึกษาแนวโน้มการเกิดการล้าของล้อและรางรถไฟภายใต้การสัมผัสก็ เมื่อล้อมีการเปลี่ยนแปลงตําแหน่งตามแนวขวางของรางรถไฟที่มีมุมเอียง $1/40$
5. เพื่อศึกษาแนวโน้มการเกิดการล้าของล้อและรางรถไฟภายใต้การสัมผัสก็ เมื่อรางรถไฟมีการเปลี่ยนแปลงมุมเอียงจาก 0 , $1/40$, $1/30$ และ $1/20$ ตามลําดับ

1.3 ขอบเขตของงานวิจัย

งานวิจัยนี้เป็นการศึกษาแนวโน้มของตําแหน่งการเกิดการล้าของล้อและรางรถไฟภายใต้การสัมผัสก็ด้วยความเร็วคงที่ ปราศจากแรงขับเคลื่อนด้วยระเบียบวิธีไฟไนต์เอลิเมนต์ โดยใช้รูปร่างของล้อและรางรถไฟที่มีการใช้งานในโครงการรถไฟฟ้ําสายสีม่วง ช่วงบางใหญ่ – บางซื่อ ซึ่งอยู่ในความรับผิดชอบของการรถไฟฟ้ําชนส่งมวลชนแห่งประเทศไทย (รฟม.) เพื่อเปรียบเทียบความเค้นต่าง ๆ ที่เกิดขึ้น เมื่อล้อมีการเปลี่ยนแปลงตําแหน่งตามแนวขวางของรางรถไฟ (Lateral displacement) และรางรถไฟมีการเปลี่ยนแปลงมุมเอียง (Rail inclination) โดยใช้โปรแกรม SOLIDWORKS ในการ

เอกสารนี้เป็นเอกสารที่สงวนไว้สำหรับการใช้งานเพื่อการศึกษาเท่านั้น ไม่อนุญาตให้นำไปใช้ประโยชน์ด้านการค้าไม่ว่ากรณีใดๆ ทั้งสิ้น อีกทั้งห้ามมิให้ดัดแปลงเนื้อหา และต้องอ้างอิงถึงเจ้าของเอกสารทุกครั้งที่มีการนำไปใช้

สร้างแบบจำลองสามมิติ และวิเคราะห์ปัญหาด้วยระเบียบวิธีไฟไนต์เอลิเมนต์ ประกอบกับเกณฑ์การล้าของ Dang Van เพื่อหาตำแหน่งที่มีแนวโน้มจะเกิดการล้า ดังนั้นจึงกำหนดขอบเขตของงานวิจัยดังนี้

1. กำหนดให้ศึกษาเฉพาะรูปร่างของล้อและรางรถไฟ ที่มีการใช้งานในโครงการรถไฟฟ้ามวยหูล่วง ช่วงบางใหญ่ – บางซื่อ
2. กำหนดให้ศึกษาการล้าของล้อและรางรถไฟภายใต้การสัมผัสสักระยะ บนสมมติฐานว่าล้อและรางรถไฟอยู่ในสภาวะสมบูรณ์ ไม่มีการสึกหรอและการบิดตัวเนื่องจากการใช้งาน
3. กำหนดให้ศึกษาการล้าของล้อและรางรถไฟภายใต้การสัมผัสสักระยะที่มีความเร็วคงที่ 80 km/h (ความเร็วเป็นศูนย์) ปราศจากแรงขับเคลื่อน
4. กำหนดให้ออกแบบสร้างแบบจำลองสามมิติของล้อและรางรถไฟโดยใช้โปรแกรม SOLIDWORKS
5. กำหนดให้จำลองการสัมผัสสักระยะของล้อและรางรถไฟด้วยระเบียบวิธีไฟไนต์เอลิเมนต์
6. กำหนดให้ล้อมีการเปลี่ยนแปลงตำแหน่งตามแนวขวางของรางรถไฟ ซึ่งประกอบด้วย -4, -3, -2, -1, 0, +1, +2, +3 และ +4 mm
7. กำหนดให้รางรถไฟมีมุมเอียง 0, 1/40, 1/30 และ 1/20 ตามลำดับ

1.4 ขั้นตอนการศึกษา

1. ศึกษาและรวบรวมงานวิจัยที่เกี่ยวข้องจากหนังสือ วารสาร และหน่วยงานที่เกี่ยวข้อง โดยจัดเป็นหมวดหมู่ ดังต่อไปนี้
 - 1.1 ความรู้พื้นฐานของงานวิศวกรรมรถไฟ
 - 1.2 ทฤษฎีกลศาสตร์การสัมผัสระหว่างวัตถุและการสัมผัสของล้อและรางรถไฟ
 - 1.3 ทฤษฎีความเสียหายและการล้าที่เกี่ยวข้อง
 - 1.4 ความรู้พื้นฐานของระเบียบวิธีไฟไนต์เอลิเมนต์
 - 1.5 การประยุกต์ใช้ระเบียบวิธีไฟไนต์เอลิเมนต์
2. ศึกษาทฤษฎีการสัมผัสที่มีผลต่อการกระจายตัวของความดันสัมผัสและความเค้นในแนวตั้งฉากที่ความลึกต่าง ๆ ในบริเวณที่ล้อและรางรถไฟมีการสัมผัสกัน
3. ศึกษาการใช้ระเบียบวิธีไฟไนต์เอลิเมนต์กับแบบจำลองการสัมผัสของล้อและรางรถไฟอย่างง่าย และทำการเปรียบเทียบผลของความดันสัมผัส รวมถึงความเค้นในแนวตั้งฉากที่ความลึกต่าง ๆ กับทฤษฎีการสัมผัสของเฮิร์ตซ์
4. ศึกษาตำแหน่งที่มีแนวโน้มเกิดความเสียหายจากการล้าของล้อและรางรถไฟภายใต้การสัมผัสสักระยะ โดยพิจารณาทั้งล้อและรางรถไฟ

เอกสารนี้เป็นเอกสารที่สงวนไว้สำหรับการใช้งานเพื่อการศึกษาเท่านั้น ไม่อนุญาตให้นำไปใช้ประโยชน์ด้านการค้า ไม่ว่ากรณีใดๆ ทั้งสิ้น อีกทั้งห้ามมิให้ตัดแปลงเนื้อหา และต้องอ้างอิงถึงเจ้าของเอกสารทุกครั้งที่มีการนำไปใช้

1.5 ประโยชน์ที่คาดว่าจะได้รับ

งานวิจัยมุ่งเน้นศึกษาตำแหน่งที่มีแนวโน้มเกิดความเสียหายจากการล้าของล้อและรางรถไฟภายใต้การสัมผัสสกลิ่ง ด้วยการนำเทคโนโลยีด้าน CAE (Computer Aided Engineering) ซึ่งเป็นที่นิยมใช้อย่างแพร่หลายในอุตสาหกรรมและงานวิศวกรรมต่าง ๆ มาประยุกต์ใช้ในการหาค่าความเค้นต่าง ๆ ที่เกิดขึ้นจากการสัมผัสระหว่างล้อและรางรถไฟ เพื่อเป็นข้อมูลสำหรับการศึกษาการเกิดคร่าโดยประโยชน์ที่คาดว่าจะได้รับจากงานวิจัยนี้ ประกอบด้วย

1. ทำให้ทราบตำแหน่งที่มีแนวโน้มเกิดความเสียหายจากการล้าของล้อและรางรถไฟภายใต้การสัมผัสสกลิ่งด้วยระเบียบวิธีไฟไนต์เอลิเมนต์ เพื่อเป็นแนวทางในการวางแผนการซ่อมบำรุง
2. ได้แบบจำลองทางไฟไนต์เอลิเมนต์เพื่อเป็นต้นแบบสำหรับเป็นแนวทางในการวิเคราะห์ตำแหน่งที่มีแนวโน้มเกิดการล้าของล้อและรางรถไฟภายใต้การสัมผัสสกลิ่ง
3. สามารถถ่ายทอดเทคโนโลยีการจำลองการสัมผัสสกลิ่งของล้อและรางรถไฟด้วยระเบียบวิธีไฟไนต์เอลิเมนต์จากผลงานวิจัย



รูปที่ 1.1 รถไฟฟ้าในโครงการรถไฟฟ้าสายสีม่วง ช่วงบางใหญ่ – บางซื่อ

เอกสารนี้เป็นเอกสารที่สงวนไว้สำหรับการใช้งานเพื่อการศึกษาเท่านั้น ไม่อนุญาตให้นำไปใช้ประโยชน์ด้านการค้าไม่ว่ากรณีใดๆ ทั้งสิ้น อีกทั้งห้ามมิให้ตัดแปลงเนื้อหา และต้องอ้างอิงถึงเจ้าของเอกสารทุกครั้งที่มีการนำไปใช้

บทที่ 2

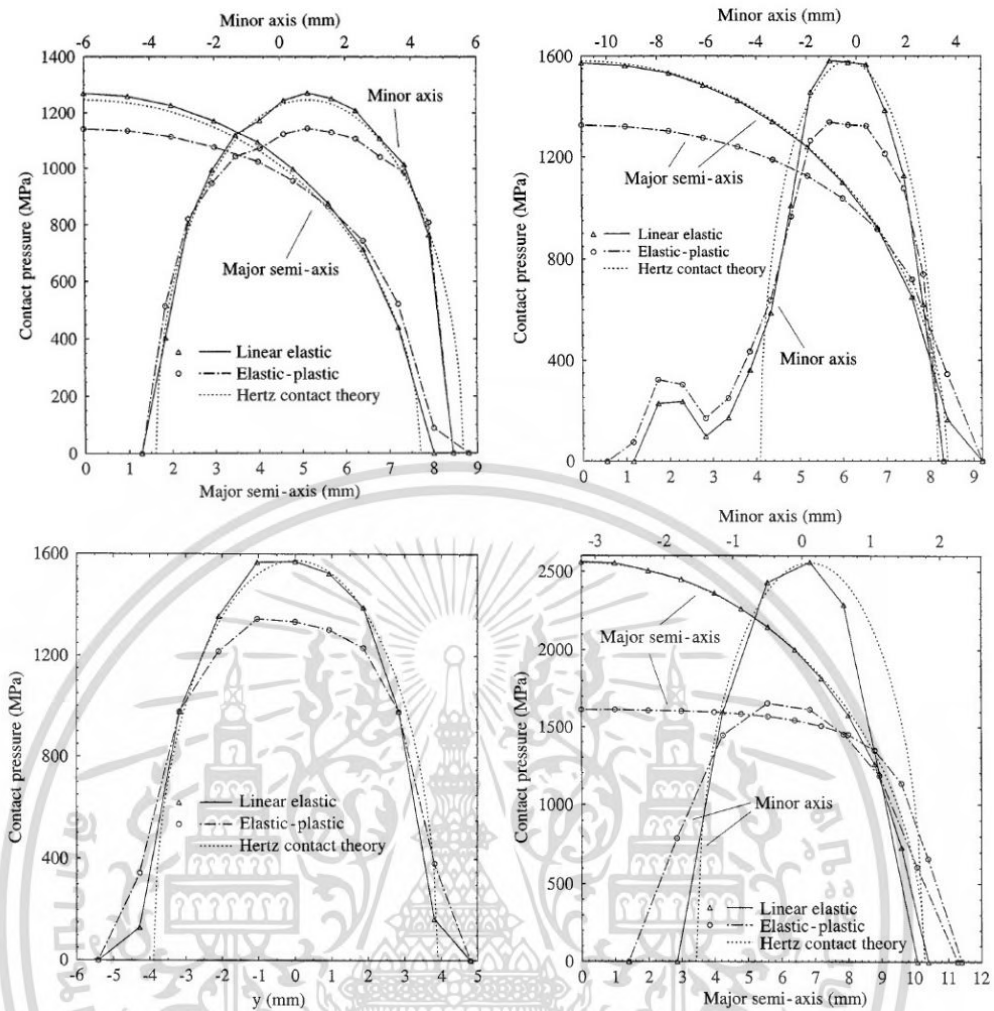
งานวิจัยที่เกี่ยวข้อง

2.1 บทนำ

จากการศึกษางานวิจัยที่ผ่านมาพบว่า การศึกษาการกระจายตัวของความเค้นและการล้าจากการสัมผัสระหว่างล้อและรางรถไฟ ส่วนใหญ่จะใช้ระเบียบวิธีไฟไนต์เอลิเมนต์ในการวิเคราะห์แบบจำลองแบบสามมิติ เพื่อเปรียบเทียบกับผลการวิเคราะห์ตามทฤษฎีการสัมผัสของเฮิร์ตซ์ รวมถึงผลการทดลองจริง ซึ่งงานวิจัยดังกล่าวถือเป็นองค์ความรู้ที่สำคัญ ดังนั้น รายละเอียดในบทนี้จึงเป็นการทบทวน วรรณกรรม และงานวิจัยที่เกี่ยวข้องกับการศึกษาการล้าจากการสัมผัสระหว่างล้อและรางรถไฟ

2.2 งานวิจัยที่เกี่ยวข้อง

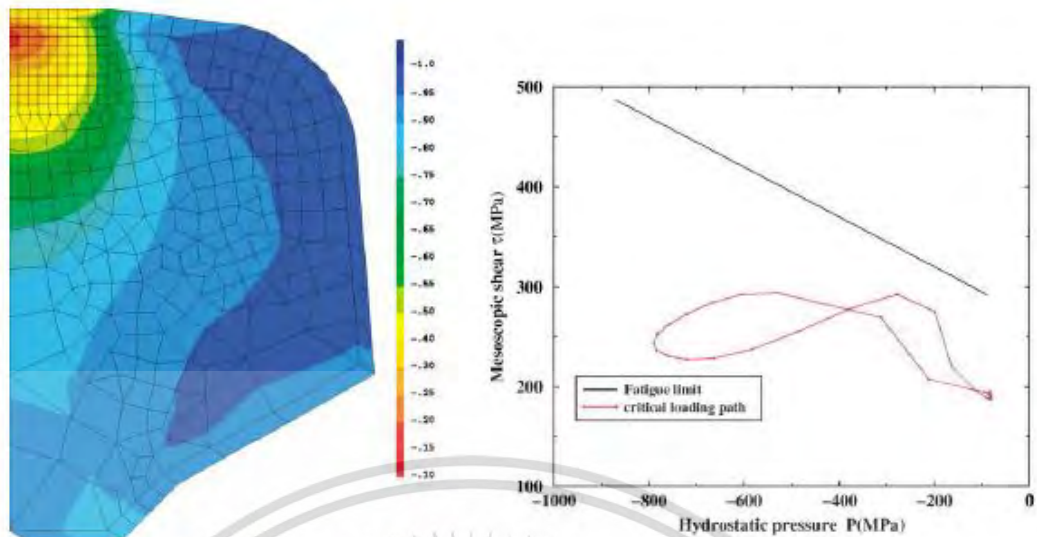
ในปี ค.ศ. 2000 Yan และ Fischer ได้ศึกษาความดันสัมผัสของล้อตามมาตรฐาน UICORE และรางรถไฟตามมาตรฐาน UIC60 เมื่อล้อมีการเปลี่ยนแปลงตำแหน่งตามแนวขวางของรางรถไฟ โดยใช้แบบจำลองไฟไนต์เอลิเมนต์สามมิติ และใช้ทฤษฎีการสัมผัสของเฮิร์ตซ์ เพื่อพิสูจน์ความถูกต้องแบบจำลองดังกล่าว รวมถึงพิจารณาการสัมผัสของรางและส่วนประกอบของประแจสับรางรถไฟด้วย ซึ่งพบว่า ถ้าบริเวณที่มีการสัมผัสระหว่างล้อและรางรถไฟไม่มีการเปลี่ยนแปลงรัศมีความโค้ง ล้อและรางรถไฟมีคุณสมบัติทางวัสดุเป็นแบบยืดหยุ่น และขนาดของพื้นที่สัมผัสเล็กกว่ารัศมีความโค้งของล้อและรางรถไฟในบริเวณดังกล่าวมาก ผลการคำนวณเชิงตัวเลขของการกระจายตัวของความดันสัมผัสจะมีความสอดคล้องกับทฤษฎีการสัมผัสของเฮิร์ตซ์ นอกจากนี้ยังพบว่าการคำนวณการไหลเวียนของแรงเนื่องจากแรงเสียดทาน ไม่สามารถคำนวณได้โดยตรงด้วยทฤษฎีการสัมผัสของเฮิร์ตซ์



รูปที่ 2.1 การกระจายตัวของความดันสัมผัสเทียบกับทฤษฎีการสัมผัสของเฮิร์ตซ์ [3]

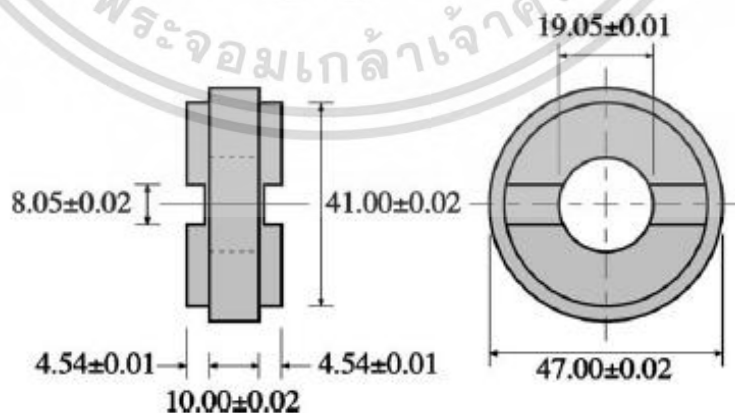
ในปี ค.ศ. 2002 Dang Van และ Maitourman ได้ศึกษาการวิเคราะห์ความเสียหายที่เกิดขึ้นกับรางรถไฟจากการกลิ้งซ้ำ ๆ โดยใช้ “Stationary methods” ในการคำนวณ Mechanical stabilized states of rail-like structure ที่เกิดจากการเคลื่อนที่ของแรงสัมผัส และทำนายปริมาณความล้าที่เกิดขึ้นโดยอาศัยการเชื่อมโยงระหว่างระเบียบวิธีไฟไนต์เอลิเมนต์สองมิติ การขยายตัวของ Fourier ในทิศทางตามแนวยาวของรางรถไฟ และสมมติฐาน Steady-state เพื่อลดภาระในการคำนวณในแต่ละขั้นตอน และใช้แบบจำลองสามมิติของการสัมผัสกลิ้งในการตรวจสอบการล้าแบบ High-cycle ของรางรถไฟด้วยเกณฑ์การล้าของ Dang Van โดยพบว่า หากใช้ร่วมกับเกณฑ์การล้าที่เหมาะสมจะสามารถใช้เป็นเครื่องมือในการทำนายการเริ่มต้นเกิดรอยแตกร้าวจากความล้าที่ดีได้ (ทั้งในแบบ High หรือ low cycle) นอกจากนี้ วิธีการคำนวณแบบสองมิติเพียงพอสำหรับทำนายการแตกร้าวที่เกิดขึ้นแบบ Kidney-shape แต่สำหรับการแตกร้าวแบบ Squat ต้องใช้การคำนวณแบบสามมิติเท่านั้น

เอกสารนี้เป็นเอกสารที่สงวนไว้สำหรับการใช้งานเพื่อการศึกษาเท่านั้น ไม่อนุญาตให้นำไปใช้ประโยชน์ด้านการค้าไม่ว่ากรณีใดๆ ทั้งสิ้น อีกทั้งห้ามมิให้ตัดแปลงเนื้อหา และต้องอ้างอิงถึงเจ้าของเอกสารทุกครั้งที่มีการนำไปใช้



รูปที่ 2.2 การกระจายตัวของความเค้นตามเกณฑ์การล้าของ Dang Van และ Loading path [4]

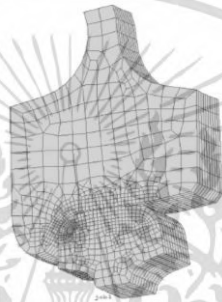
ในปี ค.ศ. 2002 Kapoor และคณะ ได้ศึกษาการเปลี่ยนรูปแบบพลาสติกใต้อิทธิพลของแรงสั่นสะเทือนระหว่างล้อและรางรถไฟ โดยการสร้างแบบจำลองการสัมผัสของแผ่นดิสก์ 2 แผ่น ซึ่งใช้วัสดุตามมาตรฐาน JIS E1101 และ JIS E5402 เพื่อเปรียบเทียบผลกระทบจากลักษณะของผิวสัมผัส โดยพบว่า ผิวของแผ่นดิสก์ทั้งสองมีการเปลี่ยนรูปแบบพลาสติกเล็กน้อยประมาณ 10 ไมโครเมตรจากผิว หลังจากที่มีการกลิ้ง 100,000 รอบ โดยมีน้ำเป็นสารหล่อลื่น พร้อมทั้งใช้โปรแกรมในการคำนวณความดันสัมผัสและผลลัพธ์ความเค้น จากการวัดรูปแบบความขรุขระ ซึ่งพบว่า พื้นผิวสัมผัสที่มีความขรุขระจะทำให้ความดันสัมผัสสูงสุดสูงกว่าพื้นผิวสัมผัสที่มีความเรียบ ทำให้ความเค้นมีค่าสูงเพียงพอที่จะเกิดการสะสมของความเค้นตกค้าง ทำให้เกิดการไหลของพลาสติกภายในของผิวรางรถไฟ ดังนั้น จึงสรุปได้ว่าความขรุขระของพื้นผิวเป็นสาเหตุที่ทำให้พื้นผิวมีการเปลี่ยนรูปแบบพลาสติก



รูปที่ 2.3 ขนาดของแผ่นดิสก์ซึ่งใช้เป็นแบบจำลองในการทดสอบ [5]

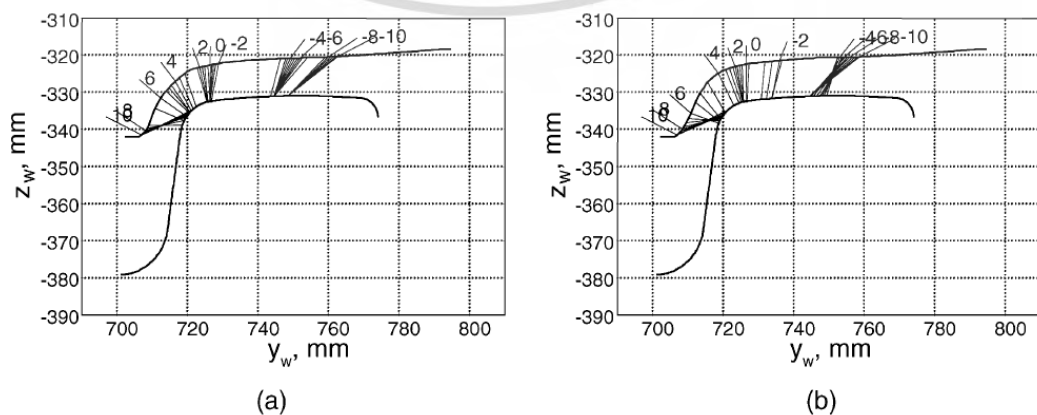
เอกสารนี้เป็นเอกสารที่สงวนไว้สำหรับการใช้งานเพื่อการศึกษาเท่านั้น ไม่อนุญาตให้นำไปใช้ประโยชน์ด้านการค้า ไม่ว่ากรณีใดๆ ทั้งสิ้น อีกทั้งห้ามมิให้ตัดแปลงเนื้อหา และต้องอ้างอิงถึงเจ้าของเอกสารทุกครั้งที่มีการนำไปใช้

ในปี ค.ศ. 2005 Sladkowski และ Sitarz ได้ศึกษาการกระจายตัวของขอบเขตการสัมผัสและความเค้นของล้อและรางรถไฟจากอิทธิพลของปฏิสัมพันธ์ระหว่างล้อและรางรถไฟที่มีการเปลี่ยนแปลงรูปร่างเนื่องจากแรงสัมผัส รวมถึงการเปลี่ยนแปลงมุมปะทะของชุดล้อ โดยใช้แบบจำลองทางคณิตศาสตร์ที่มีพื้นฐานจากวิธีการของเอิร์ตซ์และแบบจำลองไฟไนต์เอลิเมนต์สามมิติ จากผลการวิจัยพบว่า การกระจายตัวของขอบเขตการสัมผัสและความเค้นจะมีการเปลี่ยนแปลงตามรูปร่างของล้อและรางรถไฟ โดยผลการวิจัยดังกล่าวสามารถใช้เป็นพื้นฐานในการพัฒนารูปร่างของล้อและรางรถไฟ ซึ่งปัจจุบันในประเทศยูเครนได้มีการทดสอบรูปร่างของรางรถไฟที่ได้มีการออกแบบและพัฒนาขึ้นมาใหม่



รูปที่ 2.4 แบบจำลองไฟไนต์เอลิเมนต์สามมิติ ที่ใช้ในการศึกษาการสัมผัสระหว่างล้อและรางรถไฟ [6]

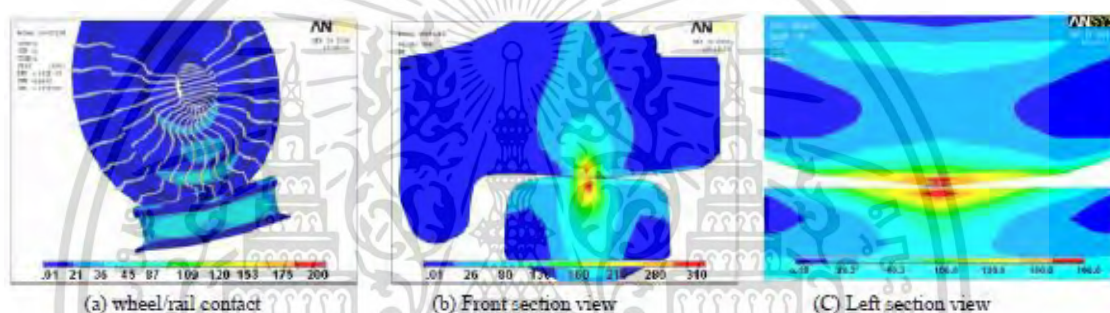
ในปี ค.ศ. 2005 Shevtsov และคณะได้ศึกษาขั้นตอนในการออกแบบรูปร่างของล้อที่ใช้หลักการของ Rolling radii difference function ซึ่งพิจารณาลักษณะทางเรขาคณิตในการสัมผัสระหว่างล้อและรางรถไฟ ประกอบกับหลักเกณฑ์ตามข้อกำหนดของล้อและรางรถไฟ ได้แก่ เสถียรภาพของชุดล้อ ความคุ้มค่าของต้นทุนในการออกแบบและการสึกหรอต่ำสุดของล้อและรางรถไฟ โดยใช้วิธีการคำนวณเชิงตัวเลขในการหาค่าที่เหมาะสม และสร้างแบบจำลองสำหรับตรวจสอบการสึกหรอรวมถึงประสิทธิภาพตามข้อกำหนดด้านความปลอดภัยของล้อและรางรถไฟ เพื่อนำไปประยุกต์ใช้ในการออกแบบรูปร่างของล้อแตรม



รูปที่ 2.5 ตำแหน่งการสัมผัสระหว่างล้อและรางรถไฟของล้อเดิม (a) และล้อที่ออกแบบใหม่ (b) [7]

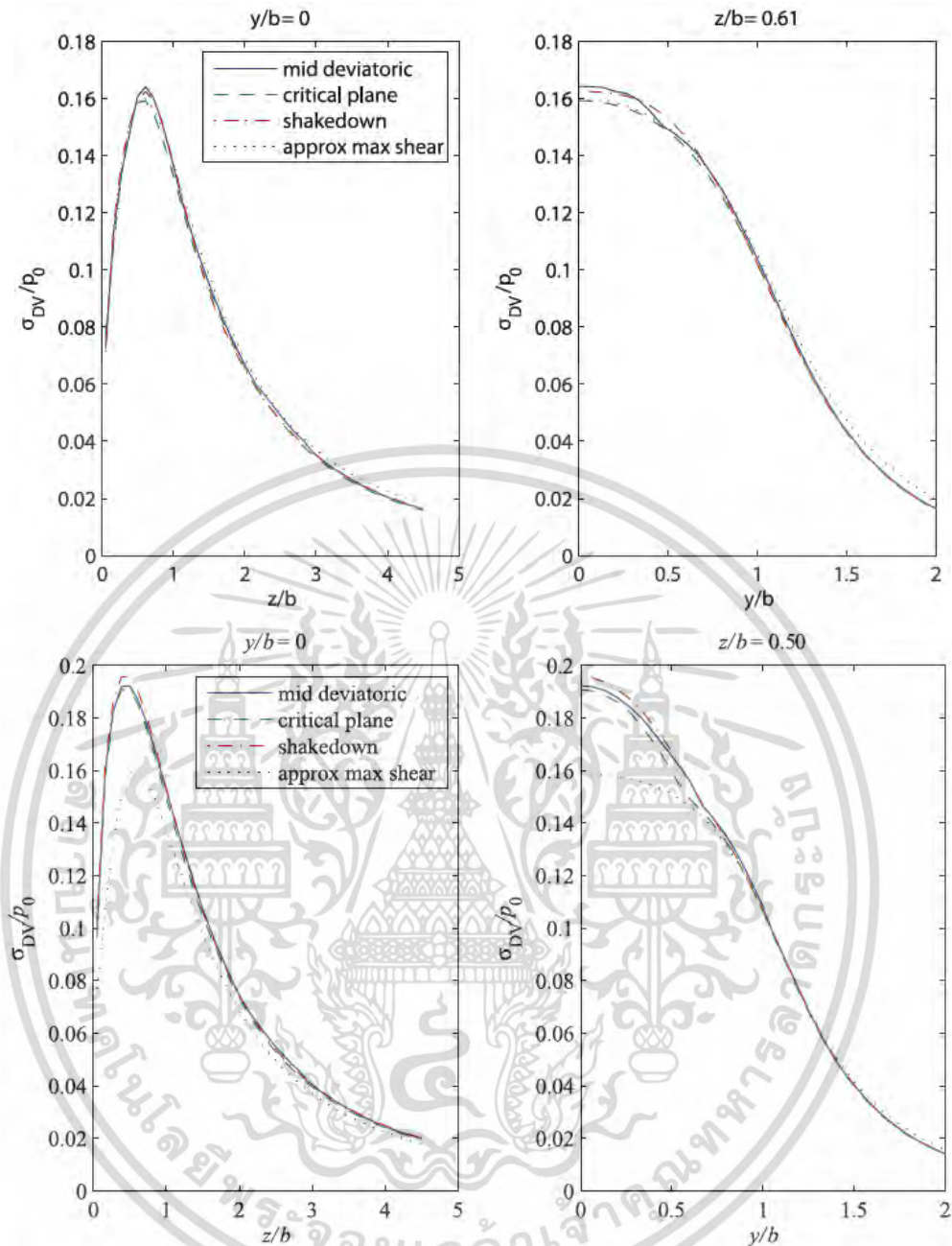
เอกสารนี้เป็นเอกสารที่สงวนลิขสิทธิ์เพื่อการเรียนการสอนเท่านั้น ไม่อนุญาตให้เผยแพร่โดยไม่ได้รับอนุญาต
ไม่ว่ากรณีใดๆ ทั้งสิ้น อีกทั้งห้ามมิให้ตัดแปลงเนื้อหา และต้องอ้างอิงถึงเจ้าของเอกสารทุกครั้งที่มีการนำไปใช้

ในปี ค.ศ.2009 Tehrani และ Saket ได้ศึกษาการสัมผัสระหว่างล้อและรางรถไฟ เพื่อหาค่าความเค้นเฉือน และใช้ทฤษฎีการเริ่มต้นของรอยแตกร้าวจากการล้าในสภาวะความเค้นผสมหลายทิศทาง(Multi-axial fatigue crack initiation) ประกอบกับกราฟ S-N (อายุการล้า) ของวัสดุที่อยู่ภายใต้แรงดึง-อัด และการบิดสลับไปมาเพื่อทำนายอายุการล้า นอกจากนี้ยังศึกษาผลกระทบของแรงกด ความแข็งของวัสดุและค่าความต้านทานการล้า (Fatigue strength) ของวัสดุ ต่ออายุการล้าของล้อ โดยใช้ระเบียบวิธีไฟไนต์เอลิเมนต์สามมิติเพื่อวิเคราะห์ความเค้นในขณะที่ล้อและรางรถไฟอยู่ภายใต้แรงกด และล้อมีการเปลี่ยนแปลงตำแหน่งตามแนวขวางของรางรถไฟ เพื่อหาค่าตำแหน่งของการสัมผัสที่ส่งผลให้เกิดความเค้นเฉือนสูงสุด ซึ่งจะเป็นตัวขับเคลื่อนให้เกิดรอยแตกร้าวจากการล้าของการสัมผัสอีกด้วย



รูปที่ 2.6 การกระจายตัวของความเค้น von Mises ในการสัมผัสระหว่างล้อและรางรถไฟ [8]

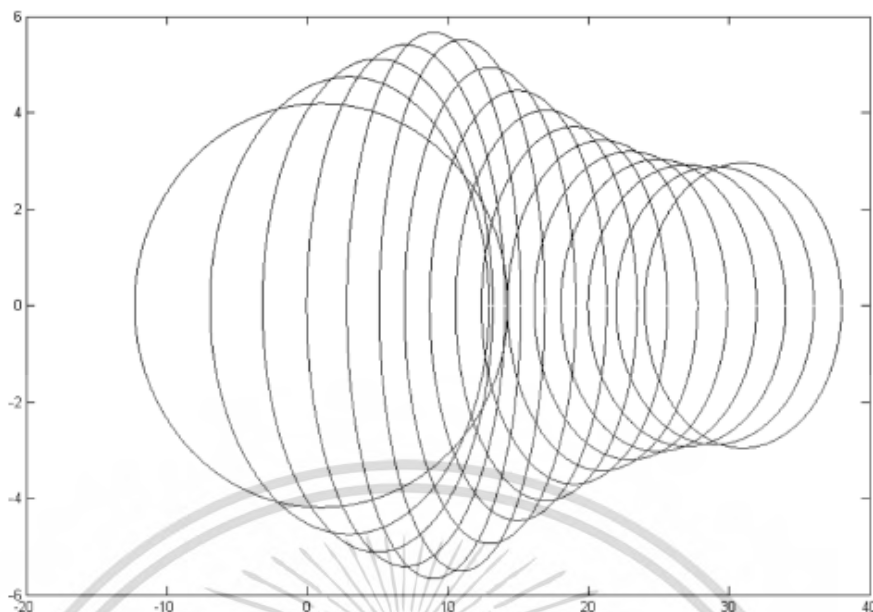
ในปี ค.ศ. 2012 Sandstorm ได้ศึกษาการประเมินความเค้น Dang Van ที่เกิดขึ้นใต้ผิวจากการสัมผัสสเกลแบบเฮิร์ตซ์ ที่มีการเปลี่ยนแปลงรูปร่างทางเรขาคณิต (A) และตัวแปรของวัสดุ (c) โดยการเปรียบเทียบความแม่นยำและประสิทธิภาพของผลลัพธ์ที่ได้จากวิธีการคำนวณเชิงตัวเลข 4 วิธี พบว่า รูปแบบการกระจายตัวและค่าสูงสุดของความเค้น Dang Van ในระนาบ $y-z$ ที่ได้จากการคำนวณด้วยหลักการพื้นฐานของ Mesoscopic shakedown, Evaluation of mid deviatoric stress, Evaluation at a critical plan และการประมาณจาก The maximum shear stress มีความสอดคล้องกัน โดยวิธีการคำนวณด้วยหลักการพื้นฐานของ Evaluation of mid deviatoric stress มีประสิทธิภาพมากที่สุด เมื่อเปรียบเทียบระหว่างทรัพยากรที่ใช้ในการคำนวณและความแม่นยำของผลลัพธ์ นอกจากนี้ยังพบว่า วิธีการคำนวณด้วยหลักการพื้นฐานของ Maximum shear stress จะให้ผลลัพธ์ที่แม่นยำ ในกรณีการสัมผัสระหว่างล้อและรางรถไฟ เนื่องจากวิธีดังกล่าวมีประสิทธิภาพในการคำนวณสูง จึงมีความเหมาะสมในการประยุกต์ใช้กับการประเมินความเค้น Dang Van ซึ่งต้องมีการประเมินหลายครั้ง



รูปที่ 2.7 ผลการเปรียบเทียบความเค้น Dang Van ที่ได้จากการคำนวณเชิงตัวเลขทั้ง 4 วิธี [9]

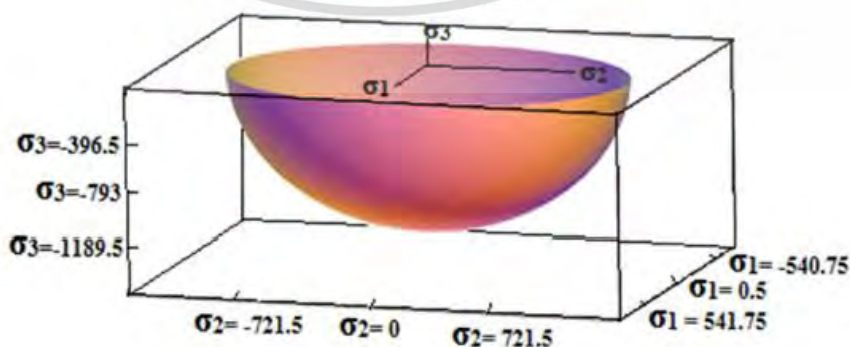
ในปี ค.ศ. 2013 Ashofteh ได้ศึกษาความเค้นสัมผัสสูงสุดในบริเวณพื้นที่สัมผัสระหว่างล้อและรางรถไฟ ซึ่งมีการเปลี่ยนแปลงเมื่อล้อมีการเคลื่อนที่ตามแนวขวางของรางรถไฟในตำแหน่งต่าง ๆ (Lateral displacement) เนื่องจากรูปร่างของล้อที่มีลักษณะเป็นทรงกรวย ทำให้ตำแหน่งสัมผัสสัมผัสกับรางรถไฟไม่คงที่ จึงส่งผลให้ความเค้นสัมผัสมีการเปลี่ยนแปลงในทุกตำแหน่งที่ล้อมีการเคลื่อนที่ รวมถึงรูปร่างและมุมเอียงของรางรถไฟ เส้นผ่านศูนย์กลาง โดยงานวิจัยนี้ได้ใช้ทฤษฎีของเฮิร์ตซ์ในการศึกษาเปรียบเทียบ ซึ่งพบว่าปัจจัยต่าง ๆ ตามที่ได้กล่าวมาข้างต้น มีผลทำให้ความเค้นในบริเวณพื้นที่สัมผัสระหว่างล้อและรางรถไฟเพิ่มขึ้น ซึ่งจะส่งผลให้อายุการใช้งานของล้อลดลง

เอกสารนี้เป็นเอกสารที่สงวนไว้สำหรับการใช้งานเพื่อการศึกษาเท่านั้น ไม่นิยมนำไปใช้ประโยชน์ด้านการค้า ไม่ว่ากรณีใดๆ ทั้งสิ้น อีกทั้งห้ามมิให้ดัดแปลงเนื้อหา และต้องอ้างอิงถึงเจ้าของเอกสารทุกครั้งที่มีการนำไปใช้



รูปที่ 2.8 รูปร่างของพื้นที่สัมผัสตามทฤษฎีของเฮิร์ตซ์ ตามแนวขวางของรางรถไฟ [11]

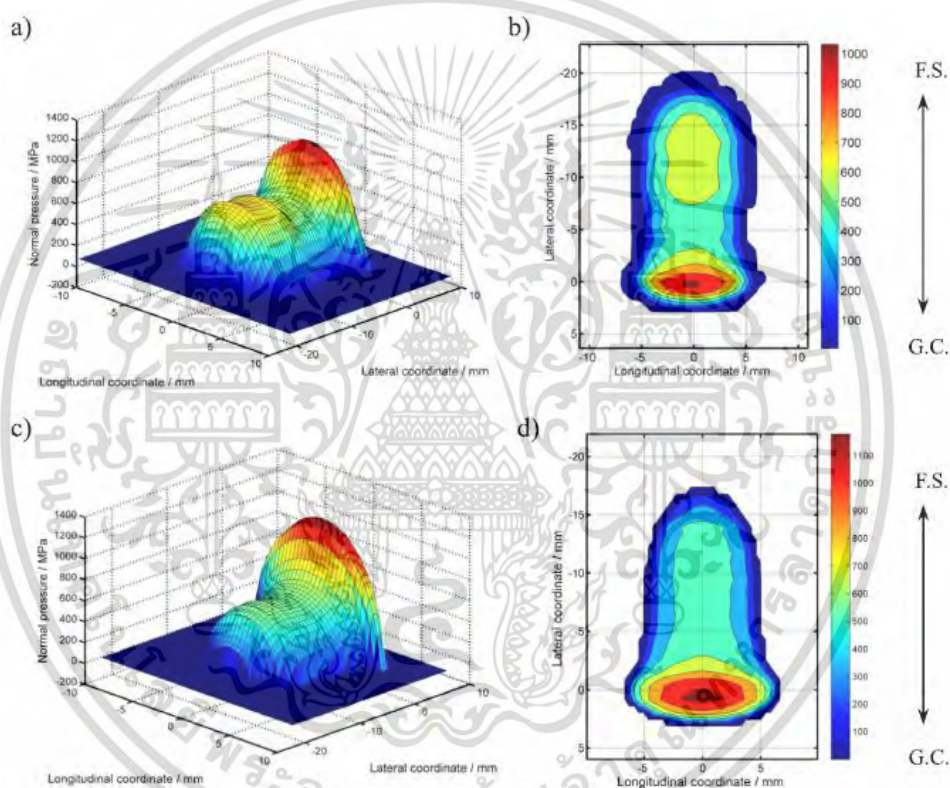
ในปี ค.ศ. 2013 Srivastava และคณะได้ศึกษาการเปลี่ยนแปลงการความเค้นของการสัมผัสระหว่างล้อและรางรถไฟ ซึ่งได้รับอิทธิพลจากรูปร่างทางเรขาคณิตของล้อและรางรถไฟ เช่น การเปลี่ยนแปลงรัศมีความโค้งของล้อและรางรถไฟ ในบริเวณที่มีการสัมผัสกัน และความเอียงของพื้นล้อ โดยใช้แบบจำลองไฟไนต์เอลิเมนต์สามมิติและทฤษฎีการสัมผัสของเฮิร์ตซ์ พบว่า เมื่อรัศมีความโค้งของล้อเพิ่มขึ้นจะทำให้ความกว้างของพื้นที่สัมผัสซึ่งเป็นรูปวงรีเพิ่มขึ้น แต่ความยาวลดลงซึ่งมีแนวโน้มส่งผลให้ความเสียดทานของการลื่นไถลเพิ่มขึ้น นอกจากนี้ เมื่อความเอียงของพื้นล้อเพิ่มขึ้นจะทำให้ความยาวของการสัมผัสเพิ่มขึ้นและทำให้ความกว้างลดลง ซึ่งส่งผลให้พื้นที่สัมผัสลดลงตามไปด้วยจากการเปรียบเทียบผลลัพธ์ พบว่า มีความผิดพลาดร้อยละ 2 – 3 โดยการนำเสนอผลการวิเคราะห์ดังกล่าวจะช่วยให้การออกแบบรูปร่างของล้อและรางรถไฟต้องให้ความสำคัญกับพื้นที่สัมผัส ความเค้นสัมผัส และรูปร่างทางเรขาคณิตของล้อและรางรถไฟ รวมถึงความดันสัมผัสด้วย



รูปที่ 2.9 ความเค้นของสัมผัสระหว่างล้อและรางรถไฟ ซึ่งมีลักษณะเป็นรูปวงรี [12]

เอกสารนี้เป็นเอกสารที่สงวนไว้สำหรับการใช้งานเพื่อการศึกษาเท่านั้น ไม่อนุญาตให้นำไปใช้ประโยชน์ด้านการค้าไม่ว่ากรณีใดๆ ทั้งสิ้น อีกทั้งห้ามมิให้ตัดแปลงเนื้อหา และต้องอ้างอิงถึงเจ้าของเอกสารทุกครั้งที่มีการนำไปใช้

ในปี ค.ศ.2017 Ma และคณะได้ศึกษาการตรวจสอบความเค้นเฉือนและพื้นที่การลื่นไถลของแบบจำลองไฟไนต์เอลิเมนต์ของล้อและรางรถไฟ เพื่อเปรียบเทียบกับแบบจำลองที่ได้จากโปรแกรม CONTACT ซึ่งยังไม่มีผลการกล่าวถึงมากนัก โดยพิจารณาผลกระทบจากการเปลี่ยนแปลงสัมประสิทธิ์ความเสียดทานและแรงจุดที่เกิดขึ้นบริเวณผิวสัมผัสและบริเวณใต้ผิวสัมผัสเนื่องจากปฏิสัมพันธ์ระหว่างล้อและรางรถไฟ ซึ่งสามารถสรุปได้ว่า ผลลัพธ์ที่ได้จากแบบจำลองไฟไนต์เอลิเมนต์มีความสอดคล้องกับผลลัพธ์ของแบบจำลองที่ได้จากโปรแกรม CONTACT นอกจากนี้สัมประสิทธิ์ความเสียดทานและแรงจุดที่เพิ่มขึ้นจะส่งผลให้ตำแหน่งที่ความเค้นมีความเข้มข้นมีการเปลี่ยนแปลงจากบริเวณใต้ผิวไปยังบริเวณผิวสัมผัส



รูปที่ 2.10 การกระจายความเค้นเฉือนจากแบบจำลอง FEM (a, b) และแบบจำลอง CONTACT (c, d) [13]

โดยงานวิจัยนี้จะนำเสนอการศึกษาแนวโน้มของตำแหน่งการเกิดการลื่นไถลจากการสัมผัสของแบบจำลองสามมิติของล้อและรางรถไฟ ที่มีการใช้งานในโครงการรถไฟฟ้าสายสีม่วง ช่วงบางใหญ่ – บางซื่อ ซึ่งมีการเคลื่อนที่ด้วยความเร็ว 80 km/h โดยใช้ระบบเบรคไฟฟ้าไนต์เอลิเมนต์ ประกอบกับเกณฑ์การลื่นไถลของ Dang Van เพื่อเปรียบเทียบในกรณีที่ล้อมีการเปลี่ยนแปลงตามแนวขวางของรางรถไฟที่มีมุมเอียง 1/40 และรางรถไฟมีการเปลี่ยนแปลงมุมเอียง

บทที่ 3

ทฤษฎีที่เกี่ยวข้อง

3.1 บทนำ

การศึกษาทฤษฎีที่เกี่ยวข้องกับการล่าของล้อและรางรถไฟภายใต้การสัมผัสกำลังเป็นสิ่งที่มีความสำคัญก่อนการเริ่มดำเนินการวิจัย ซึ่งในบทนี้จะกล่าวถึง ความรู้เบื้องต้นเกี่ยวกับรถไฟและความเสียหายของล้อและรางรถไฟ ทฤษฎีการสัมผัสของเฮิร์ตซ์ ทฤษฎีความเสียหาย ทฤษฎีความเค้นเฉือนสูงสุดสำหรับวัสดุเหนียว ทฤษฎีพลังงานของการเปลี่ยนรูป ความเสียหายเนื่องจากการล่าเกณฑ์การล่าของ Dang Van รวมถึงหลักการพื้นฐานของระเบียบวิธีไฟไนต์เอลิเมนต์

3.2 ความรู้เบื้องต้นเกี่ยวกับรถไฟและความเสียหายของล้อและรางรถไฟ

3.2.1 ส่วนประกอบที่สำคัญของรถไฟ

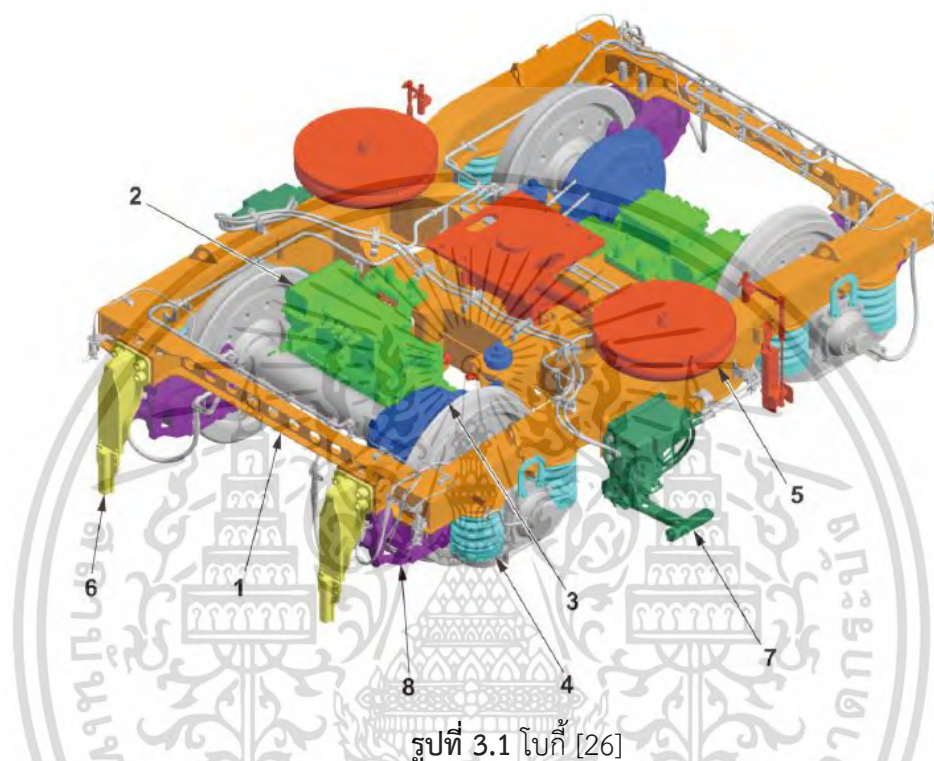
ในการเคลื่อนที่ของรถไฟ การสัมผัสระหว่างล้อและรางรถไฟถือปัจจัยหนึ่งที่มีความสำคัญ ซึ่งจะส่งผลกระทบต่อประสิทธิภาพในการขับเคลื่อน ความรู้สึกสบาย และความปลอดภัยของผู้โดยสาร โดยส่วนประกอบหลักที่มีความเกี่ยวข้อง คือ โบกี้ ล้อ และรางรถไฟ ซึ่งมีรายละเอียดดังนี้

3.2.1.1 โบกี้

โบกี้ (Bogie) หรือ แคร่ เป็นอุปกรณ์ที่ติดตั้งกับตัวรถไฟมีหน้าที่รับน้ำหนักของขบวนรถไฟ โดยจะช่วยให้ตัวรถไฟสามารถเคลื่อนที่ด้วยความมั่นคงนุ่มนวลทั้งในทางตรงและทางโค้ง โดยโบกี้จะรับภาระสั่นสะเทือนที่เกิดจากการเคลื่อนที่ของรถไฟทำให้ผู้โดยสารรู้สึกสบาย ในการออกแบบโบกีนั้นวิศวกรจะพยายามลดการสั่นสะเทือนจากล้อไม่ให้ขึ้นมาถึงตัวรถไฟ โดยโบกี้มีส่วนประกอบหลัก ดังนี้

1. Bogie frame
 2. Traction motor
 3. Driving gear
 4. Primary suspension
 5. Secondary suspension
 6. Stone guard
 7. Current collection device และ
 8. Brake caliper
- โดย Primary suspension อยู่ระหว่างเพลาล้อกับโบกี้และ Secondary suspension อยู่ระหว่างโบกี้กับตัวรถไฟ นอกจากนี้ยังมีการติดตั้งโช้คอัพ (Shock absorber) เพื่อลดการสั่นสะเทือนที่ผิดปกติให้หายไปโดยเร็วที่สุด ส่วนการออกแบบโบกี้สำหรับรถไฟที่เคลื่อนที่ด้วยความเร็วต่ำจะมีการใช้โช้คอัพแบบง่ายๆ เช่น รถสินค้า 4 ล้อ หรือรถโดยสารในสมัยเริ่มต้นซึ่งใช้สปริงแบบเหล็กแผ่น (Leaf spring) โดยไม่มีการติดตั้งโช้คอัพ แต่อาศัยแรงเสียดสีระหว่างแผ่นเหล็กสปริงเมื่อเกิดการสั่นในแนวตั้ง เพื่อช่วยลดการสั่นสะเทือนไปพร้อมกับการทำหน้าที่เป็นระบบรับน้ำหนักชั้นแรก รถเหล่านี้สามารถวิ่งด้วยความเร็ว 50-70 km/h เท่านั้น เพราะแรงเสียดสีระหว่างแผ่นเหล็กสปริงมีค่าไม่แน่นอนจึงไม่สามารถควบคุมการสั่นได้ตามความต้องการ การสั่นสะเทือนที่ไม่พึงประสงค์จะลดลงโดยใส่โบกี้เข้าไป เพื่อให้
- เอกสารนี้เป็นเอกสารที่สงวนไว้สำหรับการใช้งานเพื่อการศึกษาเท่านั้น ไม่อนุญาตให้นำไปใช้ประโยชน์ด้านการค้าไม่ว่ากรณีใดๆ ทั้งสิ้น อีกทั้งห้ามมิให้ตัดแปลงเนื้อหา และต้องอ้างอิงถึงเจ้าของเอกสารทุกครั้งที่มีการนำไปใช้

การสั่นสะเทือนพื้นฐานของรถ 4 ล้อไปปรากฏอยู่ที่ตัวโบกี้ แต่การสั่นสะเทือนที่ไม่ตรงกัน (Out of phase) ของโบกี้หน้าและหลังก็ยังเป็นเหตุให้ตัวรถเกิดการหมุนรอบจุดศูนย์กลาง (Center of Gravity; CG) เพียงแต่มีระดับความรุนแรงลดลง ในทางองเดียวกับการสั่นสะเทือนในแนวแกนอื่นของตัวรถก็ยังคงอยู่



รูปที่ 3.1 โบกี้ [26]

3.2.1.2 ล้อ

ล้อ (Wheel) เป็นอุปกรณ์ที่ทำหน้าที่ประคองตัวรถให้เคลื่อนที่ไปตามรางรถไฟ โดยมีบังใบ (Flange) ซึ่งอยู่ด้านในล้อทำหน้าที่บังคับไม่ให้ตกราง พื้นล้อหรือเทรต (Thread) คือ ส่วนที่ล้อสัมผัสกับหัวราง เส้นผ่านศูนย์กลาง ณ จุดสัมผัส (Diameter on thread) คือ เส้นผ่านศูนย์กลางล้อที่วัดจากจุดสัมผัส ระยะสายตัว (Wheel flange play) คือ ระยะห่างจากจุดที่พื้นล้อด้านบนสัมผัสหัวรางถึงจุดที่บังใบล้อสัมผัสหัวรางด้านข้าง ซึ่งการรถไฟแห่งประเทศไทยกำหนดระยะสายตัวออกด้านข้างล้อไว้ข้างละ 6.75 mm การศึกษาและปรับปรุงล้อรถไฟได้กระทำอย่างต่อเนื่อง ล้อรถไฟในปัจจุบันมีรูปร่างเป็นรูปทรงกรวย (Truncated-cone shape) พื้นล้อเป็นระนาบเอียงเนื่องจากต้องการให้ชุดล้อมีคุณสมบัติค้ำตัวเอง (Self steering) กล่าวคือ เมื่อผลึกให้ชุดล้อเคลื่อนที่ไปบนรางรถไฟ ล้อด้านที่วิ่งด้วยเส้นผ่านศูนย์กลางใหญ่กว่าจะวิ่งหน้าล้อที่วิ่งด้วยเส้นผ่านศูนย์กลางเล็กกว่าเพลาล้อก็จะเอียงไปในทางที่จะค้ำตัวเองให้ชุดล้อเคลื่อนกลับไปในทางตรงกันข้ามซึ่งล้อด้านที่เคยวิ่งด้วยเส้นผ่านศูนย์กลางเล็กกว่าจะเปลี่ยนเป็นวิ่งด้วยเส้นผ่านศูนย์กลางใหญ่กว่าและวิ่งออกหน้าล้อด้านตรงข้ามเป็น

เอกสารนี้เป็นเอกสารที่สงวนไว้สำหรับการใช้งานเพื่อการศึกษาเท่านั้น ไม่อนุญาตให้นำไปใช้ประโยชน์ด้านการค้า ไม่ว่ากรณีใดๆ ทั้งสิ้น อีกทั้งห้ามมิให้ดัดแปลงเนื้อหา และต้องอ้างอิงถึงเจ้าของเอกสารทุกครั้งที่มีการนำไปใช้

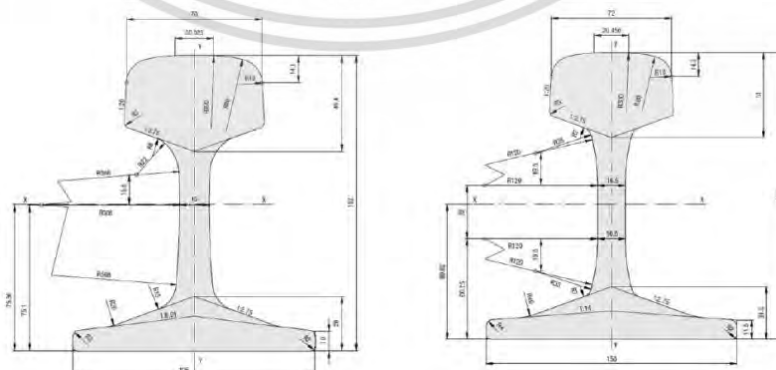
การตัดท้ายให้เกิดการส่ายตัวกลับสลับกันไปมา ดังนั้นหากเป็นการเคลื่อนที่ในสภาพปกติ แรงกระแทกระหว่างบั้งใบล้อกับหัวรางจะมีความรุนแรงน้อยกว่าล้อที่มีพื้นล้อเป็นรูปทรงกระบอก



รูปที่ 3.2 ล้อ (ซ้าย) และชุดล้อพร้อมเพลลา (ขวา)

3.2.1.3 รางรถไฟ

รางรถไฟ (Rail) ในปัจจุบันผลิตจากเหล็กที่ร้อนประกอบด้วยส่วนสำคัญ 3 ส่วนคือ หัวราง เอรราง และฐานราง ในอดีตจะมีการยึดรางรถไฟเข้ากับไม้หมอนแล้วใช้ตะปูวางต่อยึดฐานรางไว้กับไม้หมอน ปัจจุบันมีการพัฒนาเทคโนโลยีการยึดรางรถไฟอย่างหลากหลาย และพบว่ามีการใช้หมอนคอนกรีตมากขึ้นเนื่องจากหมอนไม้ต้องใช้ไม้เนื้อแข็งซึ่งหายากและมีราคาแพง ในขณะที่หมอนคอนกรีตอัดแรงจะมีอายุการใช้งานนานถึง 60 ปี แต่ข้อเสียคือเมื่อเกิดอุบัติเหตุรถตกราง ทางรถไฟที่ใช้หมอนคอนกรีตจะซ่อมยากกว่าหมอนไม้ ขนาดของรางรถไฟจะมีผลกับความเร็วของขบวนรถและน้ำหนักกดเพลลาเนื่องจากรางรถไฟจะรับแรงกดที่ส่งผ่านจากเพลลาล้อลงไปที่โครงสร้างทางรถไฟ การกำหนดขนาดของรางรถไฟจะกำหนดเป็นน้ำหนักต่อหน่วยความยาว เช่น ตามมาตรฐาน UIC จะกำหนดเป็นกิโลกรัมต่อเมตร ตามมาตรฐานอังกฤษจะกำหนดเป็นปอนด์ต่อฟุต ซึ่งในโครงการรถไฟฟ้าสายสีม่วง ช่วงบางใหญ่ – บางซื่อ ใช้รางรถไฟแบบ UIC 60



รูปที่ 3.3 แสดงขนาดและมิติของรางรถไฟตามมาตรฐาน UIC 50 (ซ้าย) และ UIC 60 (ขวา) [25]

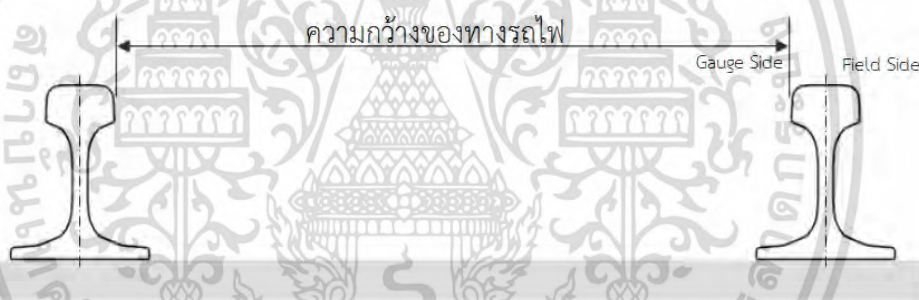
เอกสารนี้เป็นเอกสารที่สงวนไว้สำหรับการใช้งานเพื่อการศึกษาเท่านั้น ไม่อนุญาตให้นำไปใช้ประโยชน์ด้านการค้าไม่ว่ากรณีใดๆ ทั้งสิ้น อีกทั้งห้ามมิให้ตัดแปลงเนื้อหา และต้องอ้างอิงถึงเจ้าของเอกสารทุกครั้งที่มีการนำไปใช้

หน้าที่หลักสคัญของรางรถไฟ คือ รับน้ำหนักขบวนรถไฟ และประคองรถไฟให้วิ่งไปตามทาง โดยหน้าที่ในการรับน้ำหนักขบวนรถไฟนั้น จะเป็นตัวกหนดความสามารถของการรับน้ำหนักของทางรถไฟให้เป็นไปตามมาตรฐานที่กำหนด เรียกว่า น้ำหนักกดเพลลา (Axle load) และการกระจายของน้ำหนักบนทาง (Load concentration) โดยมีตัวเลขเป็นข้อกำหนดในการออกแบบทางรถไฟและขบวนรถไฟ ความกว้างของทางรถไฟ (Track gauge) คือ ระยะห่างระหว่างหัวรางด้านในทั้งสองด้าน มีหลายแบบขึ้นอยู่กับขนาด ดังนี้

ขนาดความกว้างมากกว่า	1,600 mm	เรียกว่า บอร์ดเกจ (Broad gauge)
ขนาดความกว้าง	1,435 mm	เรียกว่า สแตนดาร์ดเกจ (Standard gauge)
ขนาดความกว้าง	1,067 mm	เรียกว่า แค็ปเกจ (Cape gauge)
ขนาดความกว้าง	1,000 mm	เรียกว่า มิเตอร์เกจ (Meter gauge)

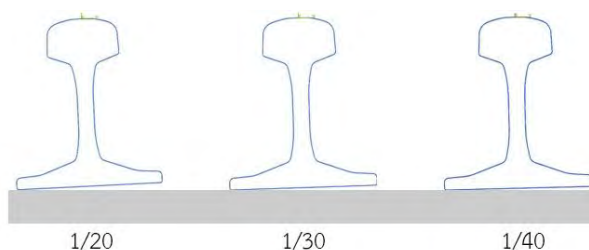
โดยหัวรางด้านในทั้งสองด้านซึ่งใช้วัดระยะห่างตามที่กล่าวไปข้างต้น จะเรียกว่าด้าน Gauge side ส่วนหัวรางด้านนอกซึ่งอยู่ตรงข้ามกับด้าน Gauge side จะเรียกว่าด้าน Field side ดังแสดงในรูปที่

3.4



รูปที่ 3.4 แสดงความกว้างของทางรถไฟ

นอกจากนี้ในการออกแบบและติดตั้งรางรถไฟจะมีการกำหนดให้มีมุมเอียงราง (Rail inclination) ดังแสดงในรูปที่ 3.5 โดยรางรถไฟในประเทศเยอรมนีและประเทศออสเตรเลียจะมีมุมเอียง 1/40 รางรถไฟในประเทศสวีเดนจะมีมุมเอียง 1/30 และรางรถไฟในประเทศฝรั่งเศสและประเทศโรมาเนียจะมีมุมเอียง 1/20



รูปที่ 3.5 ลักษณะมุมเอียงของรางรถไฟ

เอกสารนี้เป็นเอกสารที่สงวนไว้สำหรับการใช้งานเพื่อการศึกษาเท่านั้น ไม่อนุญาตให้นำไปใช้ประโยชน์ด้านการค้า ไม่ว่ากรณีใดๆ ทั้งสิ้น อีกทั้งห้ามมิให้ดัดแปลงเนื้อหา และต้องอ้างอิงถึงเจ้าของเอกสารทุกครั้งที่มีการนำไปใช้

3.2.2 ความเสียหายของล้อและรางรถไฟ

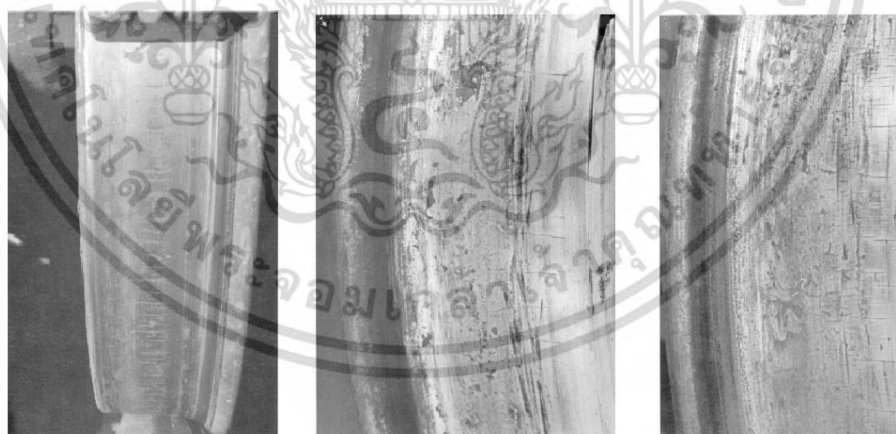
เนื่องจากสภาวะกดดันทางเศรษฐกิจส่งผลให้ต้องมีการลดต้นทุนและเพิ่มประสิทธิภาพในการขนส่ง จึงมีการเพิ่มน้ำหนักบรรทุก เพิ่มความหนาแน่นของการจราจรรวมถึงความเร็วในการขนส่ง โดยในช่วง 10 ปีที่ผ่านมาได้มีการเพิ่มน้ำหนักดเพลจาก 22.5 ถึง 32.5 ตัน ส่งผลให้อัตราการเกิดความเสียหายของล้อและรางรถไฟเพิ่มขึ้นตามไปด้วย โดยความเสียหายที่เกิดขึ้นสามารถแบ่งเป็นกลุ่มใหญ่ ๆ ได้ 2 กลุ่ม คือ ความเสียหายที่เกิดขึ้นกับล้อ และความเสียหายที่เกิดขึ้นกับรางรถไฟ โดยมีรายละเอียดดังนี้

3.2.2.1 ความเสียหายที่เกิดขึ้นกับล้อ

รอยแตกร้าวจากความร้อน (Thermal cracks)

ความเสียหายจากความร้อนเป็นประเภทความเสียหายของล้อที่รุนแรงที่สุด ซึ่งเกิดจากกระบวนการเปลี่ยนแปลงอุณหภูมิร้อนเย็นสลับไปมาในบริเวณพื้นล้อ รวมถึงส่วนของขอบล้อที่มีการเบรค ซึ่งจะส่งผลให้เกิดจากการเปลี่ยนแปลงทางโลหะของล้อทำให้เกิดรอยแตกร้าวในที่สุด รอยแตกร้าวที่เกิดจากความร้อนส่วนใหญ่จะเกิดขึ้นบริเวณขอบของล้อและสามารถแก้ไขได้ด้วยการกลึงล้อ แต่หากไม่มีการดเนินการใด ๆ เพื่อเป็นการป้องกัน รอยแตกร้าวจากความร้อนจะสามารถทำให้ล้อแตกหักได้ โดยรอยแตกร้าวจากความร้อนในล้อที่สามารถพบได้ทั่วไปจะมีลักษณะดังแสดงในรูปที่

3.6



รูปที่ 3.6 รอยแตกร้าวของล้อจากความร้อน [14]

การล้าจากการสัมผัสสกลิ่ง (Rolling contact fatigue)

การล้าจากการสัมผัสสกลิ่งจะเกิดขึ้นเมื่อล้อได้รับความเค้นสัมผัสซ้ำ ๆ เนื่องจากการเคลื่อนที่แบบกลิ้ง โดยจะเกิดขึ้นบริเวณผิวสัมผัสของพื้นล้อ และมีลักษณะเป็นบั้งและมีแนวการวางตัวไม่ตั้งฉากกับทิศทางการเคลื่อนที่ของล้อ ซึ่งการล้าจากการสัมผัสสกลิ่งเป็นสาเหตุหลักที่ทำให้เกิดรอยแตกร้าวในลักษณะที่มีการแตกเป็นเศษเล็ก ๆ (Spalling) ดังแสดงในรูปที่ 3.7

เอกสารนี้เป็นเอกสารลิขสิทธิ์ในไว้สำหรับการใช้งานเพื่อการศึกษาเท่านั้น ไม่นำไปใช้ประโยชน์ด้านการค้าไม่ว่ากรณีใดๆ ทั้งสิ้น อีกทั้งห้ามมิให้ตัดแปลงเนื้อหา และต้องอ้างอิงถึงเจ้าของเอกสารทุกครั้งที่มีการนำไปใช้



รูปที่ 3.7 รอยแตกร้าวเนื่องจากการล้าของการสัมผัสสีกิ่ง [14]

การล้าใต้ผิว (Subsurface fatigue)

รอยแตกร้าวจากการล้าใต้ผิวจะเกิดขึ้น 3 – 25 mm ใต้พื้นผิว เนื่องจากความเค้นเฉือนจากการสัมผัสระหว่างล้อและรางรถไฟมีค่าสูงสุด จึงส่งผลให้เกิดการเปลี่ยนแปลงทางโลหะ โดยทั่วไปจะใช้อุปกรณ์อัลตราโซนิกในการตรวจสอบและระบุตำแหน่งรอยแตกร้าวใต้ผิว ซึ่งในรูปที่ 3.8 แสดงให้เห็นถึงรอยแตกร้าวที่ผิวของล้อซึ่งมีสาเหตุจากการแพร่กระจายของรอยแตกร้าวจากการล้าใต้ผิว



รูปที่ 3.8 รอยแตกร้าวที่ผิวซึ่งแพร่กระจายจากรอยแตกร้าวจากการล้าใต้ผิว [14]

เอกสารนี้เป็นเอกสารที่สงวนไว้สำหรับการใช้งานเพื่อการศึกษาเท่านั้น ไม่นิยมนำไปเผยแพร่บนสื่อออนไลน์ การค้า
ไม่ว่ากรณีใดๆ ทั้งสิ้น อีกทั้งห้ามมิให้ตัดแปลงเนื้อหา และต้องอ้างอิงถึงเจ้าของเอกสารทุกครั้งที่มีการนำไปใช้

รอยแตกร้าวจากการล้า (Fatigue cracks)

รอยแตกร้าวจากการล้ามีสาเหตุจากปัจจัยภายนอกหรือความผิดพลาดในการผลิต ซึ่งรอยแตกร้าวดังกล่าว ส่วนใหญ่จะเกิดขึ้นเพียงลวด พังดังแสดงในรูปที่ 3.9



รูปที่ 3.9 รอยแตกร้าวจากการล้า [14]

การแตกเป็นเศษเล็ก ๆ หรือพื้นลื้อหลุดล่อน (Spalling or Shelled tread)

การแตกเป็นเศษเล็ก ๆ เป็นกระบวนการที่ขึ้นส่วนของวัสดุแตกและหลุดออกจากผิวของพื้นลื้อในหลายตำแหน่ง มากหรือน้อยอย่างต่อเนื่องบริเวณรอบ ๆ ขอบนอกสุด ความเสียหายนี้จะปรากฏขึ้นเนื่องจากความเสียหายจากความร้อน การสั่นไหวหรือการเกิดความเค้นที่มากเกินไปในบริเวณจุดสัมผัส การแตกเป็นเศษเล็ก ๆ เกิดจากการรวมกันของปัจจัยอย่างน้อยสองอย่าง ได้แก่ สภาพทางรถไฟที่แฉะและความเร็วที่มากเกินไปจะส่งผลให้เกิดความเค้นสูงจากการกระแทก แรงในแนวตั้งที่มากเกินไป การเบรคที่มากเกินไป (ความเสียหายจากความร้อนและ/หรือการสั่นไหว) หรือความแข็งของลื้อไม่เพียงพอ โดยในรูปที่ 3.10 จะแสดงการการแตกเป็นเศษเล็ก ๆ ของพื้นลื้อที่สามารถมองเห็นได้



รูปที่ 3.10 การการแตกเป็นเศษเล็ก ๆ ของพื้นล้อ [14]

ล้อลื่นไถล (ล้อแบน) (Skidded wheels (Wheel flattening))

เมื่อล้อหยุดหมุนในขณะที่รถไฟยังมีการเคลื่อนที่อยู่จะส่งผลให้ล้อได้รับความเสียหาย โดยจะเรียกว่า ล้อลื่นไถล หรือล้อแบน (Skidded wheels (Wheel flattening)) ซึ่งเป็นสาเหตุให้เกิดการแตกเป็นเศษเล็ก ๆ ของพื้นล้อ รวมถึงความเสียหายอื่น ๆ ที่เกิดขึ้นกับล้อ นอกจากนี้ล้อลื่นไถลหรือล้อแบนจะส่งผลให้เกิดแรงกระแทกที่รุนแรงระหว่างล้อและรางรถไฟ ทำให้อายุการใช้งานของส่วนประกอบต่าง ๆ ของโบกี้ลดลง รวมถึงเป็นอันตรายต่อโครงสร้างของทางรถไฟด้วย โดยล้อลื่นไถล (ล้อแบน) จะมีลักษณะดังแสดงในรูปที่ 3.11



รูปที่ 3.11 พื้นของล้อลื่นไถล [14]

เอกสารนี้เป็นเอกสารที่สงวนไว้สำหรับการใช้งานเพื่อการศึกษาเท่านั้น ไม่อนุญาตให้นำไปใช้ประโยชน์ด้านการค้า ไม่ว่าจะกรณีใดๆ ทั้งสิ้น อีกทั้งห้ามมิให้ตัดแปลงเนื้อหา และต้องอ้างอิงถึงเจ้าของเอกสารทุกครั้งที่มีการนำไปใช้

บังใบล้อเป็นสันคม (Arrises)

บังใบล้อเป็นสันคมจะเกิดขึ้นล้อมีการลั้งไปทางมุมเอียงของบังใบ ทำให้เกิดการสึกหรอและทำให้บังใบล้อมีรูปร่างเป็นสันคม ซึ่งจะส่งผลกระทบต่อการใช้งานที่ล้อ ดังแสดงในรูปที่ 3.12



รูปที่ 3.12 ล้อที่มีสันคม [14]

การสึกหรอของพื้นและบังใบล้อ (Tread/flange wear)

การสึกหรอของพื้นและบังใบล้อสามารถแบ่งเป็นประเภทต่าง ๆ ตามลักษณะของการสึกหรอ รวมถึงพื้นล้อมีลักษณะกลาง ดังแสดงในรูปที่ 3.13

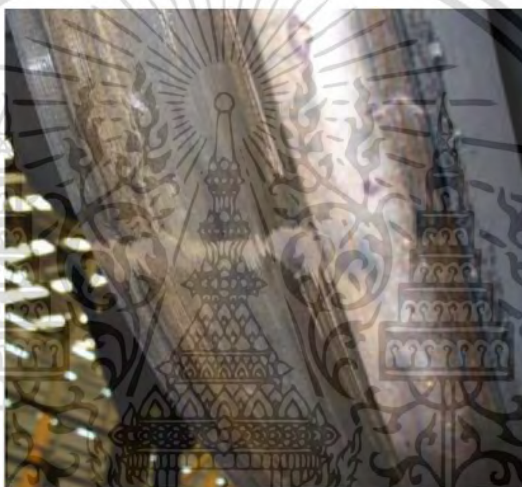


รูปที่ 3.13 พื้นล้อมีลักษณะกลาง [14]

เอกสารนี้เป็นเอกสารที่สงวนไว้สำหรับการใช้งานเพื่อการศึกษาเท่านั้น ไม่อนุญาตให้นำไปใช้ประโยชน์ด้านการค้าไม่ว่ากรณีใดๆ ทั้งสิ้น อีกทั้งห้ามมิให้ตัดแปลงเนื้อหา และต้องอ้างอิงถึงเจ้าของเอกสารทุกครั้งที่มีการนำไปใช้

ล้อเสียหาย (Damaged wheels)

ความเสียหายในกลุ่มนี้ประกอบด้วยความเสียหายที่เกิดจากความผิดพลาดในการผลิตรูปทรงของล้อไม่กลม รวมถึงล้อได้รับความร้อนมากเกินไป ซึ่งในกรณีที่ความเสียหายมีสาเหตุจากความผิดพลาดในการผลิตจะส่งผลให้รอยแตกร้าวที่เกิดจากการล้า มีการแพร่กระจายและปรากฏในบริเวณก้านล้อ นอกจากนี้ในกรณีที่พื้นล้อหมุนไม่กลมซึ่งอาจมีสาเหตุจากใบมีดเครื่องกัดทำงานผิดพลาดหรือศูนย์กลางการหมุนของล้อไม่ตรงกับศูนย์กลางของเพลลา จะทำให้เกิดแรงกระแทกที่รุนแรงจากภายนอกหรืออาจเรียกว่า ความเสียหายของล้อจากภายนอก ซึ่งแรงกระแทกจากภายนอกดังกล่าวจะทำให้เกิดรอยแตกร้าวจากการล้า โดยจะมีการแพร่กระจายอย่างรวดเร็วในทุกส่วนของล้อ โดยในรูปที่ 3.14 และรูปที่ 3.15 จะแสดงความเสียหายที่เกิดจากความผิดพลาดในการผลิตแบบต่าง ๆ



รูปที่ 3.14 ล้อที่มีการหมุนที่ไม่ดีเนื่องจากเครื่องกัด [14]



รูปที่ 3.15 ล้อที่มีการหมุนที่ไม่ดีเนื่องด้วยวัตถุภายนอก [14]

เอกสารนี้เป็นเอกสารที่สงวนไว้สำหรับการใช้งานเพื่อการศึกษาเท่านั้น ไม่อนุญาตให้นำไปใช้ประโยชน์ด้านการค้าไม่ว่ากรณีใดๆ ทั้งสิ้น อีกทั้งห้ามมิให้ตัดแปลงเนื้อหา และต้องอ้างอิงถึงเจ้าของเอกสารทุกครั้งที่มีการนำไปใช้

3.2.2.2 ความเสียหายที่เกิดขึ้นกับรางรถไฟ

ผิวรางหลุดล่อน (Shelling)

ผิวรางหลุดล่อนเป็นความเสียหายที่เกิดจากการสูญเสียวัสดุเนื่องจากการล่าใต้ผิว โดยการหลุดล่อนจะเกิดขึ้นที่มุมของหัวรางด้านที่อยู่สูงกว่าในบริเวณทางโค้ง โดยผิวรางที่หลุดล่อนจะมีลักษณะเป็นรูปวงรีและมีการกระจายตัวเช่นเดียวกับรอยแตกกร้าวใต้ผิว ซึ่งขนานกับผิวของรางรถไฟ เมื่อรอยแตกกร้าวเหล่านี้เกิดขึ้นบนพื้นผิวจะท ให้โลหะหลุดออกมาจากบริเวณดังกล่าว ในบางครั้งรอยแตกอาจมีการแพร่กระจายตัวในทิศทางพุ่งลงด้านล่างซึ่งจะเป็นสาเหตุทำให้รางรถไฟมีการแตกหักตามแนวขวาง โดยคุณสมบัติทางโลหะเป็นปัจจัยที่มีความสำคัญในการเริ่มต้นเกิดรอยแตกกร้าวใต้ผิวนอกจากนี้ออกไซด์ฝังในและความเค้นตึงในระหว่างการผลิต มีส่วนทำให้ผิวรางเกิดการหลุดล่อน โดยในรูปที่ 3.16 จะแสดงการหลุดล่อนที่ผิวในบริเวณมุมของหัวราง ซึ่งความเสียหายดังกล่าวสามารถแก้ไขได้ด้วยการเจียรรางรถไฟ

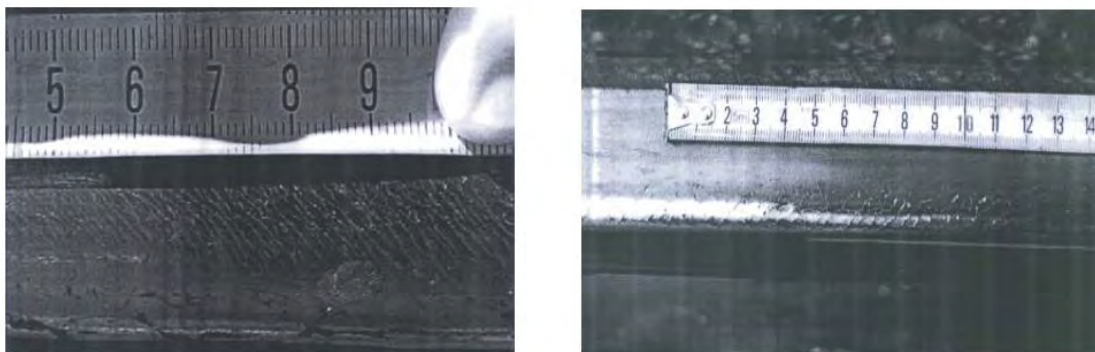


รูปที่ 3.16 การหลุดล่อนที่ผิวของหัวราง [15]

รอยร้าวที่หัวราง (Head checks)

โดยทั่วไปแล้วความเค้นสัมผัสที่เกิดขึ้นในบริเวณด้านบนบนของรางรถไฟจะมีค่าต่ำเมื่อเปรียบเทียบกับบริเวณด้านข้างของรางรถไฟ อย่างไรก็ตามความเค้นสัมผัสจะมีค่าสูงในบริเวณมุมของรางด้านที่อยู่สูงกว่าในบริเวณที่มีรัศมีความโค้ง 1000 เมตร ถึง 1500 เมตร โดยรอยร้าวที่หัวรางจะเกิดขึ้นในบริเวณทางรถไฟที่มีรัศมีความโค้งแคบ (น้อยกว่า 1000 เมตร) ที่มุมของหัวรางด้านที่อยู่สูง

รอยร้าวที่หัวรางจะสามารถพบได้ในบริเวณที่มีการเชื่อม ซึ่งทำให้บริเวณดังกล่าวมีรูปร่างแตกต่างจากรางรถไฟในบริเวณอื่นเล็กน้อย โดยรูปร่างที่แตกต่างกันเป็นปัจจัยสำคัญที่ส่งผลกระทบต่อความเค้นสัมผัส รอยร้าวที่หัวรางเป็นความเสียหายที่เริ่มเกิดขึ้นที่ผิว โดยจะเกิดขึ้นที่มุม 30 – 60 องศา เมื่อเทียบกับรางรถไฟตามแนวยาว ดังแสดงในรูปที่ 3.17 หากไม่สามารถควบคุมรอยร้าวที่หัวรางได้ ความเสียหายดังกล่าวจะเป็นสาเหตุให้รางรถไฟแตก โดยทั่วไปจะแก้ไขด้วยการเจียรรางรถไฟ แต่หากรอยร้าวที่หัวรางรถไฟมีความรุนแรงก็จะท ากเปลี่ยนรางรถไฟในบริเวณนั้น ๆ



รูปที่ 3.17 รอยร้าวที่หัวราง [15]

การแตกหักเป็นเศษเล็ก ๆ (Spalling)

เมื่อแนวการแพร่กระจายของรอยแตกร้าวที่เกิดที่ผิวถูกตัดด้วยรอยแตกร้าวอื่นที่มีลักษณะใกล้เคียงกันในบริเวณหัวราง จะส่งผลให้วัสดุของรางรถไฟหลุดออกมาเป็นเศษเล็ก ๆ ซึ่งความเสียหายดังกล่าวเรียกว่า การแตกหักเป็นเศษเล็ก ๆ ดังแสดงในรูปที่ 3.18 โดยการแตกหักเป็นเศษเล็ก ๆ จะเกิดขึ้นในระยะหลังการแพร่กระจายตัวของรอยแตกร้าว การแตกหักเป็นเศษเล็ก ๆ มักพบได้บ่อยในสภาพอากาศหนาวเย็น เนื่องจากค่าความตึงของวัสดุของทางรถไฟเพิ่มขึ้น



รูปที่ 3.18 การแตกหักเป็นเศษเล็ก ๆ [15]

Squats

ความเสียหายแบบ Squats จะเกิดขึ้นที่ด้านบนของรางรถไฟในบริเวณทางตรง ซึ่งแตกต่างจากความเสียหายแบบผิวหลุดล่อน (Shelling) โดยรอยแตกร้าวจะเริ่มเกิดขึ้นที่ผิวเนื่องจากการล่าจากการสัมผัสสกลิ่ง (RCF) ความเสียหายแบบ Squats จะเกิดขึ้นจากรอยแตกร้าวสองชนิด คือ รอยแตกร้าวแนวและรอยแตกร้าวตามซึ่งมีทิศทางตรงกันข้าม โดยรอยแตกร้าวแนวจะเกิดขึ้นในทิศทางเอกสารนี้เป็นเอกสารที่สงวนไว้สำหรับการใช้งานเพื่อการศึกษาเท่านั้น ไม่อนุญาตให้นำไปใช้ประโยชน์ในการคำนวณว่ากรณีใดๆ ทั้งสิ้น อีกทั้งห้ามมิให้ดัดแปลงเนื้อหา และต้องอ้างอิงถึงเจ้าของเอกสารทุกครั้งที่มีการนำไปใช้

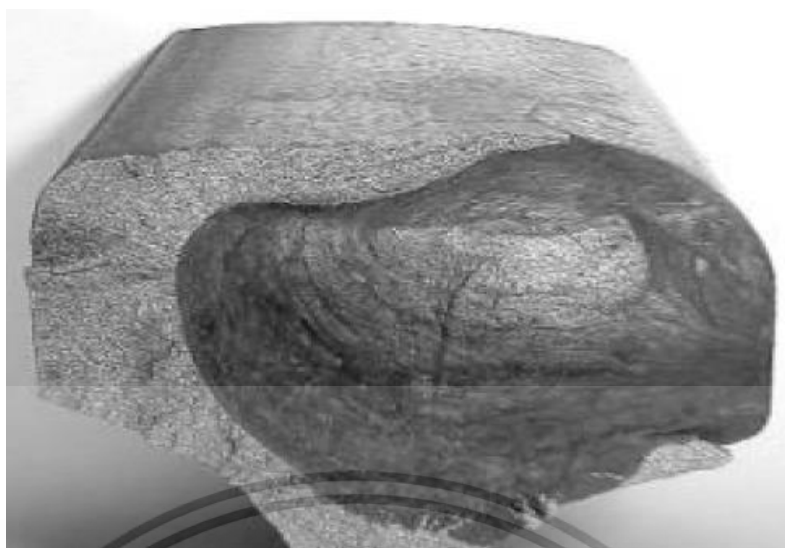
เกี่ยวกับการจรรยา แต่รอยแตกร้าวมักจะมีการแพร่กระจายที่เร็วกว่า หากไม่มีการป้องกันอย่าง
 ทันท่วงที รอยแตกร้าวมักจะมีการแตกแขนงและอาจจะมีการขยายตัวไปยังบริเวณเอวของราง (Rail
 web) ความเสียหายแบบ Squats ในเบื้องต้นจะมีลักษณะเหมือนรอยยุบที่บริเวณด้านบนของราง
 รถไฟ ซึ่งการยุบตัวคือผลลัพธ์ที่เกิดจากรอยแตกร้าวมักจะมีการแพร่กระจายและขยายตัวไปตาม
 แนวราบใต้ผิวทางวิ่งและแยกออกจากตัวรางรถไฟ ความเสียหายนี้สามารถป้องกันได้โดยการเจียรราง
 รถไฟ จากการวิจัยแสดงให้เห็นว่าการเจียรรางรถไฟมีบทบาทสำคัญในการลดความเสียหายที่ทำให้
 รางรถไฟแตก การเปลี่ยนรางรถไฟที่เร็วเกินไป รวมถึงการตกราง



รูปที่ 3.19 Squats [15]

ตำหนิรูปไข่ (Tache ovale)

ตำหนิรูปไข่ (Tache ovale) คือ ความเสียหายที่เกิดขึ้นใต้ผิวที่มีความลึกประมาณ 10 – 15
 mm ใต้ผิวของหัวรางดังแสดงในรูปที่ 3.20 ซึ่งมีสาเหตุจากการสะสมของไฮโดรเจนในระหว่าง
 กระบวนการผลิตรางรถไฟ หรือความผิดพลาดในขั้นตอนการเชื่อมราง นอกจากนี้ความร้อนและความ
 แค้นสะสมยังเป็นสาเหตุของความเสียหายดังกล่าวด้วย



รูปที่ 3.20 ตาหิรูปไข่ [15]

การไหลของพลาสติกและ Tongue lipping (Plastic flow and Tongue lipping)

การไหลของพลาสติกจะเกิดขึ้นในบริเวณหัวราง อาจมีความลึกถึง 15 mm ในบริเวณด้านข้างของรางรถไฟ (Field side) รวมถึงรางรถไฟที่อยู่ในช่วงทางโค้งในด้านที่อยู่ต่ำ เนื่องจากมีการบรรทุกเกินพิกัด สำหรับ Tongue lipping เป็นรูปแบบของการเสียรูปแบบพลาสติก แต่มีการเริ่มต้นเกิดการแตกร้าวที่ผิว โดยรอยแตกร้าวเหล่านี้จะทำให้วัสดุของรางรถไฟมีการแยกชั้น และเมื่อได้รับภาระจากน้ำหนักกดเพลลาที่มีค่าสูง จะส่งผลให้เนื้อวัสดุที่มีการแยกชั้นออกมามีการเปลี่ยนรูปแบบพลาสติกดังแสดงในรูปที่ 3.21 ทั้งนี้ความเสียหายดังกล่าวสามารถแก้ไขได้ด้วยการเจียรรางรถไฟเพื่อให้รูปร่างมีลักษณะตามที่กำหนดไว้



รูปที่ 3.21 Tongue lipping [15]

เอกสารนี้เป็นเอกสารที่สงวนไว้สำหรับการใช้งานเพื่อการศึกษาเท่านั้น ไม่อนุญาตให้นำไปใช้ประโยชน์ด้านการค้าไม่ว่ากรณีใดๆ ทั้งสิ้น อีกทั้งห้ามมิให้ตัดแปลงเนื้อหา และต้องอ้างอิงถึงเจ้าของเอกสารทุกครั้งที่มีการนำไปใช้

รอยแตกร้าวจากรูสลักเกลียว (Bolt hole crack)

รูสลักเกลียวจะปรากฏที่บริเวณเอวของรางมักจะเริ่มจากจุดที่ใช้ในการยึดประกับราง (Fishplate) ซึ่งเป็นจุดที่มีความอ่อนแอในการต่อต้านการเกิดรอยแตกร้าว เมื่อต้องเผชิญกับความเค้นที่มีความเข้มข้นและความเค้นเฉือนในบริเวณเอวของราง โดยรอยแตกร้าวที่เกิดขึ้นส่วนใหญ่จะมีการแพร่กระจายในลักษณะเป็นรัศมีที่ ามุม 45 องศา ตลอดระนาบของเอวราง ซึ่งรอยแตกร้าวนี้มีโอกาสที่จะทำให้เกิดการแตกหักของรางรถไฟสูงมาก จึงมีความจำเป็นต้องเปลี่ยนรางรถไฟในช่วงดังกล่าวอย่างเร่งด่วน

รอยแตกร้าวแนวตั้งตามยาว (Longitudinal vertical crack)

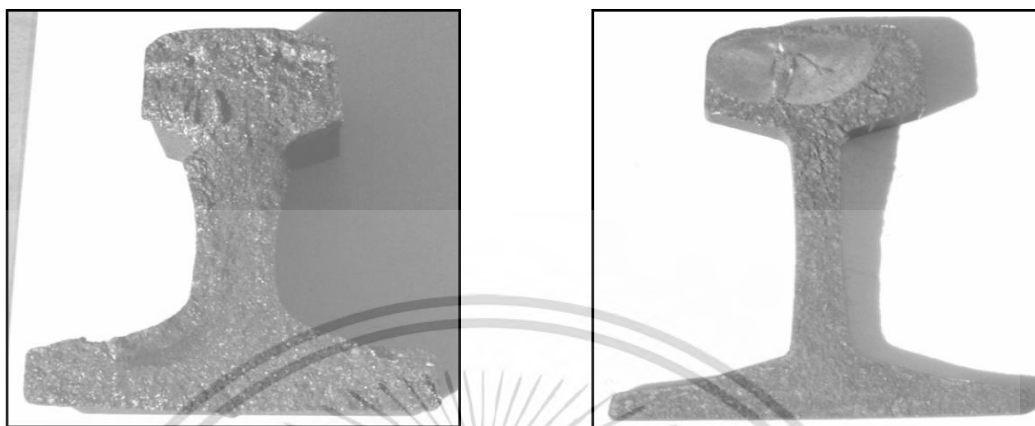
รอยแตกร้าวแนวตั้งตามยาว เกิดจากความบกพร่องในกระบวนการผลิต สามารถพบได้มากในบริเวณเอวรางและอาจมีการขยายตัวไปจนถึงหัวรางด้วย หากรอยแตกร้าวนี้ถูกตัดด้วยรอยแตกร้าวอื่น อาจทำให้รางรถไฟเกิดการแตกหัก โดยในสถานะที่มีอากาศหนาวเย็นจะมีโอกาสทำให้เกิดการแตกหักในลักษณะนี้ในทันทีทันใด

รูปที่ 3.22 รอยแตกร้าวแนวตั้งตามยาว [15]

รอยแตกร้าวทแยงมุม (Transverse crack)

รอยแตกร้าวทแยงมุมส่วนใหญ่จะมีการพัฒนาจากพื้นที่ตัดขวางของรอยเชื่อมรางรถไฟที่มีความบกพร่อง โดยความบกพร่องของรอยเชื่อมจะมีสาเหตุจากการเปลี่ยนแปลงของวัสดุที่ใช้เชื่อมหรือรางรถไฟที่มีความบกพร่องจากกระบวนการผลิต ซึ่งรอยแตกร้าวทแยงมุมในบริเวณรอยเชื่อมจะมีสาเหตุจากความบกพร่องจากกระบวนการเชื่อม เช่น รูพรุน สารฝังใน แนวของรางรถไฟไม่ตรงกัน เป็นต้น ดังแสดงในรูปที่ 3.23 รอยร้าวทแยงมุมที่เกิดขึ้นจากบริเวณกึ่งกลางของหัวรางหรือตีนราง อาจจะมีสาเหตุจากตาหิรูปไข่ (Tache ovale) โดยรอยแตกร้าวนี้จะเริ่มเกิดขึ้นที่ใต้ผิวและเมื่อเวลา

ผ่านไปจะมีการแพร่กระจายไปจนถึงผิวของหัวรางจะส่งผลให้รางรถไฟแตก ทั้งนี้การใช้โลหะที่มีความสะอาดและการทำให้หัวรางมีความแข็งลึกขึ้นจะสามารถหลีกเลี่ยงรอยแตกคร่าวในลักษณะนี้ได้



รูปที่ 3.23 รอยแตกคร่าวที่แข็งแรง [15]

การโก่งของรางรถไฟ (Buckling)

การโก่งของรางรถไฟมีสาเหตุจากการขยายตัวของรางรถไฟตามแนวยาวเนื่องจากอุณหภูมิที่สูงขึ้น เป็นความเสียหายหนึ่งที่สามารถพบได้บ่อย โดยรางรถไฟที่มีการใช้งานในปัจจุบันจะมี 2 แบบ คือ รางรถไฟแบบเชื่อมต่อเนื่อง และรางรถไฟแบบไม่เชื่อมต่อเนื่อง ซึ่งรางรถไฟทั้งสองแบบมีข้อดีและข้อเสียต่างกัน โดยรางรถไฟแบบไม่เชื่อมต่อเนื่องจะมีพื้นที่บริเวณรอยต่อของรางที่สามารถรองรับการขยายตัวทำให้ไม่เกิดการโก่ง เหมาะแก่การใช้งานในบริเวณที่มีอุณหภูมิสูงกว่า 25° อย่างไรก็ตามรางรถไฟแบบไม่เชื่อมต่อเนื่องจะมีการสะสมความเค้นที่มีความเข้มข้นสูงในบริเวณรอยต่อซึ่งจะมีค่าสูงมากในรางรถไฟความเร็วสูง ในขณะที่รางรถไฟแบบเชื่อมต่อเนื่องจะมีการกระจายตัวของความเค้นอย่างสม่ำเสมอ และไม่ต้องการการซ่อมบำรุงมากนักจึงทำให้สามารถช่วยลดต้นทุนได้ แต่เนื่องจากรางรถไฟแบบเชื่อมต่อเนื่องไม่มีพื้นที่สำหรับการขยายตัวตามแนวยาว ทำให้มีข้อจำกัดเรื่องอุณหภูมิในการใช้งาน นอกจากนี้การโก่งของรางรถไฟเป็นความเสี่ยงที่อาจส่งผลให้รถไฟตกราง จึงมีความจำเป็นต้องวิเคราะห์หาสาเหตุเพื่อวางแผนการซ่อมบำรุงต่อไป

ผิวรางเป็นลูกฟูก (Corrugation)

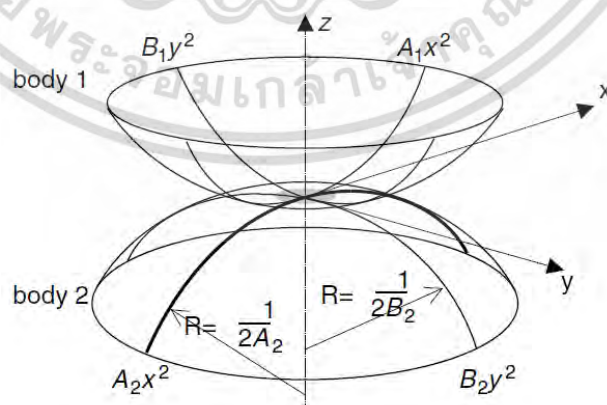
เป็นความบกร่อง ของรางรถไฟที่มีลักษณะเป็นคลื่น เช่นเดียวกับการสึกหรอของรางรถไฟ ดังแสดงในรูปที่ 3.24 โดยผิวรางเป็นลูกฟูกมีสาเหตุจากการสึกหรอ การล้าหรือการไหลของพลาสติก ซึ่งความเสียหายดังกล่าวไม่ส่งผลให้เกิดการตกรางในทันที แต่อาจส่งผลให้เครื่องยึดเหนี่ยวมีการคลายตัว หินโรยทางรถไฟเสื่อมสภาพ ระดับเสียงและการสั่นสะเทือนเพิ่มขึ้นทำให้ผู้โดยสารรู้สึกไม่สบาย



รูปที่ 3.24 ผีวรางเป็นลูกฟูก [15]

3.3 ทฤษฎีการสัมผัสของเฮิร์ตซ์

ทฤษฎีการสัมผัสของเฮิร์ตซ์ (Hertz contact theory) ถูกเผยแพร่ในปี ค.ศ. 1882 โดยนักวิทยาศาสตร์ชาวเยอรมัน ชื่อ Heinrich Hertz ได้ทำการศึกษาการสัมผัสของของแข็งยืดหยุ่น โดยได้อธิบายคุณสมบัติการสัมผัสกันของเลนส์ โดยความเค้นสัมผัสของเฮิร์ตซ์ (Hertzian stress contact) คือความเค้นที่เกิดจากการสัมผัสระหว่างพื้นผิวโค้งของเลนส์ภายใต้แรงกระทำในแนวตั้งฉาก ดังแสดงในรูปที่ 3.25



รูปที่ 3.25 แบบจำลองการสัมผัสตามทฤษฎีของเฮิร์ตซ์ [1]

เอกสารนี้เป็นเอกสารที่สงวนไว้สำหรับการใช้งานเพื่อการศึกษาเท่านั้น ไม่อนุญาตให้นำไปใช้ประโยชน์ด้านการค้าไม่ว่ากรณีใดๆ ทั้งสิ้น อีกทั้งห้ามมิให้ตัดแปลงเนื้อหา และต้องอ้างอิงถึงเจ้าของเอกสารทุกครั้งที่มีการนำไปใช้

ซึ่งทฤษฎีดังกล่าวได้ถูกนำมาประยุกต์ใช้ในการศึกษาการสัมผัสของล้อและรางรถไฟ กล่าวคือ เมื่อล้อกดลงบนรางรถไฟจะส่งผลให้พื้นที่สัมผัสระหว่างล้อและรางรถไฟมีลักษณะเป็นรูปร่างรี โดยมีที่ระยะครึ่งของวงรีสัมผัสตามแนวแกนหลัก (Major semi-axes of contact ellipse) คือ a และระยะครึ่งของวงรีสัมผัสตามแนวแกนรอง (Minor semi-axes of contact ellipse) คือ b ซึ่งสามารถคำนวณได้จากสมการต่อไปนี้

$$a = m \left[\frac{3\pi P (K_1 + K_2)}{4K_3} \right]^{\frac{1}{3}} \quad (3.1)$$

$$b = n \left[\frac{3\pi P (K_1 + K_2)}{4K_3} \right]^{\frac{1}{3}} \quad (3.2)$$

โดย P คือ แรงกระทำในแนวตั้งฉากทั้งหมด และ

$$K_1 = \frac{1 - \nu_w^2}{\pi E_w} \quad (3.3)$$

$$K_2 = \frac{1 - \nu_r^2}{\pi E_r} \quad (3.4)$$

$$K_3 = \frac{1}{2} \left[\frac{1}{R_1} + \frac{1}{R'_1} + \frac{1}{R_2} + \frac{1}{R'_2} \right] \quad (3.5)$$

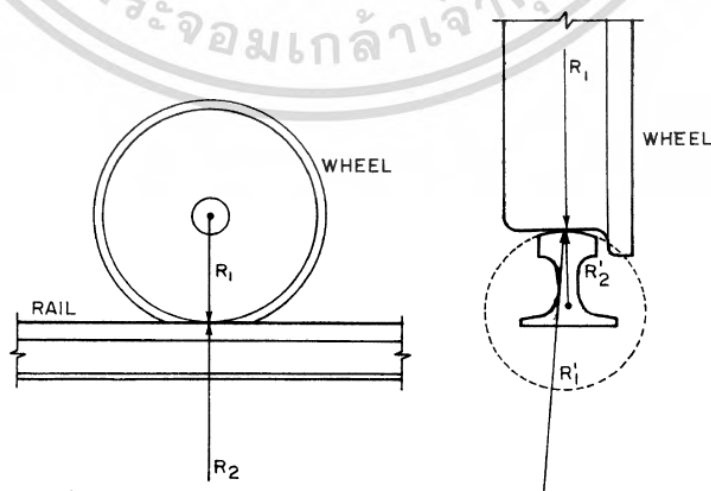
โดย R_1 คือ รัศมีการกลิ้งหลักของล้อ

R'_1 คือ รัศมีความโค้งของล้อที่จุดสัมผัสตามแนวขวาง

R_2 คือ รัศมีการกลิ้งหลักของรางรถไฟที่จุดสัมผัส ($R_2 = \infty$)

R'_2 คือ รัศมีความโค้งของรางรถไฟที่จุดสัมผัสตามแนวขวาง

ดังแสดงในรูปที่ 3.26



รูปที่ 3.26 รัศมีความโค้งหลักของล้อและรางรถไฟ [1]

เอกสารนี้เป็นเอกสารที่สงวนไว้สำหรับการใช้งานเพื่อการศึกษาเท่านั้น ไม่อนุญาตให้นำไปใช้ประโยชน์ด้านการค้า ไม่ว่ากรณีใดๆ ทั้งสิ้น อีกทั้งห้ามมิให้ตัดแปลงเนื้อหา และต้องอ้างอิงถึงเจ้าของเอกสารทุกครั้งที่มีการนำไปใช้

นอกจากนี้ V_W, V_R คือ อัตราส่วนพหุของของวัสดุของล่อและรางรถไฟตามล าดับ
 E_W, E_R คือ ค่าโมดูลัสความยืดหยุ่นของวัสดุของล่อและรางรถไฟตามล าดับ
 ทั้งนี้ รัศมีความโค้งของวัตถุจะมีค่าเป็นบวกถ้าจุดศูนย์กลางของรัศมีความโค้งอยู่ภายในวัตถุ และใน
 สมการ (3.1) และ (3.2) ขึ้นอยู่กับอัตราส่วน $\frac{K_4}{K_3}$ โดย K_4 สามารถค านวณได้จากสมการต่อไปนี้

$$K_4 = \frac{1}{2} \left[\left(\frac{1}{R_1} + \frac{1}{R'_1} \right)^2 + \left(\frac{1}{R_2} + \frac{1}{R'_2} \right)^2 + 2 \left(\frac{1}{R_1} - \frac{1}{R'_1} \right) \left(\frac{1}{R_2} - \frac{1}{R'_2} \right) \cos 2\psi \right] \quad (3.6)$$

โดยที่ ψ คือมุมระหว่างระนาบหลักซึ่งประกอบด้วยรัศมีความโค้ง $\frac{1}{R_1}$ และ $\frac{1}{R_2}$
 สัมประสิทธิ์ m และ n แสดงในตารางที่ 1 ในรูปของ θ ซึ่ง θ สามารถคานวณได้จากสมการ
 ต่อไปนี้

$$\theta = \cos^{-1} \left(\frac{K_4}{K_3} \right) \quad (3.7)$$

ตารางที่ 3.1 แสดงสัมประสิทธิ์ m และ n

θ (deg)	m	n	θ (deg)	m	n	θ (deg)	m	n
0.5	61.40	0.1018	10	6.604	0.3112	60	1.4860	0.7170
1	36.89	0.1314	20	3.813	1.4123	65	1.3780	0.7590
1.5	27.48	0.1522	30	2.731	0.493	70	1.2840	0.8020
2	22.26	0.1691	35	2.397	0.530	75	1.2020	0.8460
3	16.50	0.1964	40	2.136	0.567	80	1.1280	0.8930
4	13.31	0.2188	45	1.926	0.604	85	1.0610	0.9440
6	9.79	0.2552	50	1.754	0.641	90	1.0000	1.0000
8	7.86	0.285	55	1.611	0.678			

ความดันสัมผัสในแนวตั้งฉากที่ตำแหน่งต่าง ๆ ภายในพื้นที่สัมผัสระหว่างล่อและรางรถไฟ
 สามารถค านวณได้จากสมการต่อไปนี้

$$p(x, y) = p_0 \left\{ 1 - \left(\frac{x}{a} \right)^2 - \left(\frac{y}{b} \right)^2 \right\}^{\frac{1}{2}} \quad (3.8)$$

$$p_0 = \frac{3P}{2\pi ab} \quad (3.9)$$

โดย $p(x, y)$ คือ ความดันสัมผัสในแนวตั้งฉากที่ตำแหน่งต่าง ๆ

p_0 คือ ความดันสัมผัสในแนวตั้งฉากสูงสุดที่ตำแหน่งกึ่งกลางของพื้นที่สัมผัสระหว่างล่อและ
 รางรถไฟ

เอกสารนี้เป็นเอกสารที่สงวนไว้สำหรับการใช้งานเพื่อการศึกษาเท่านั้น ไม่อนุญาตให้นำไปใช้ประโยชน์ด้านการค้า
 ไม่ว่ากรณีใดๆ ทั้งสิ้น อีกทั้งห้ามมิให้ดัดแปลงเนื้อหา และต้องอ้างอิงถึงเจ้าของเอกสารทุกครั้งที่มีการนำไปใช้

ความเค้น (Stress) ในแนวตั้งฉากที่ความลึกต่าง ๆ ใต้ผิวสัมผัสที่จุดกึ่งกลางของพื้นที่สัมผัสระหว่างล้อและรางรถไฟสามารถคำนวณได้จากสมการดังต่อไปนี้

$$\frac{\sigma_z}{p_0} = -\frac{b}{e^2 a} \left(\frac{1-T^2}{T} \right) \quad (3.10)$$

$$T = \left(\frac{b^2 + z^2}{a^2 + z^2} \right)^{\frac{1}{2}} \quad (3.11)$$

$$e = \left(1 - \frac{b^2}{a^2} \right)^{\frac{1}{2}} \quad (3.12)$$

โดย e คือ ค่าความเยื้องศูนย์กลางของรูปวงรี

3.4 ทฤษฎีความเสียหาย

ความเสียหายที่เกิดขึ้นกับวัสดุในรูปแบบต่าง ๆ ไม่ว่าจะเป็นการหลุดตัว การบิดเบี้ยวรูปร่างอย่างถาวร การเกิดรอยร้าว และการแตกหัก คือ ความเสียหายซึ่งทำให้เครื่องจักรกลไม่สามารถทำงานได้ตามที่ออกแบบไว้ เครื่องมือสำหรับทดสอบเครื่องจักรกลเพิ่งจะมีในปี 1970 และมีการนำชิ้นงานทดสอบมาดึง ดัด และบิด พร้อมทั้งรวบรวมข้อมูลผลการทดลอง เพื่อศึกษาแนวคิดเกี่ยวกับความเครียดในชิ้นงาน ความสัมพันธ์ระหว่างความเค้น ความเครียด และขีดจำกัดความยืดหยุ่นของวัสดุและสร้างเป็นทฤษฎีความยืดหยุ่นของวัสดุ

ถ้าความเสียหายของชิ้นส่วนเครื่องจักรเป็นความเสียหายอย่างง่าย การทดสอบอย่างง่ายก็จะสามารถบอกข้อเท็จจริงของความเสียหายได้ อย่างไรก็ตามยังไม่มีทฤษฎีความเสียหายสากลที่ใช้ได้กับวัสดุโดยทั่วไป สำหรับวัสดุที่มีคุณสมบัติแตกต่างกันในสภาวะความเค้นต่าง ๆ แต่ได้มีการตั้งสมมติฐานโดยการพิจารณาโครงสร้างของวัสดุ และมีการจำแนกวัสดุตามพฤติกรรมความยืดหยุ่นของวัสดุออกเป็นวัสดุเหนียว วัสดุเปราะ และวัสดุเหนียวที่จะเสียหายในรูปแบบความเปราะ

วัสดุจะมีความยืดหยุ่นก็ต่อเมื่อวัสดุนั้นมีการกลับคืนรูปทรง หรือมีความยาวเท่ากับความยาวเริ่มต้น เมื่อแรงที่กระทำต่อวัสดุตัวอย่างถูกเคลื่อนย้ายออกไปแล้ว พฤติกรรมความยืดหยุ่นนี้จะเกิดขึ้นในขณะที่ความเค้นยังเป็นสัดส่วนโดยตรงกับความเครียด หรือพูดได้ว่าวัสดุจะมีความยืดหยุ่นเชิงเส้น (Linear elastic) ถ้าความเค้นมีมากเกินขีดจำกัดของสัดส่วน (Proportional limit) วัสดุจะยังคงมีการตอบสนองต่อความยืดหยุ่น แต่จะก่อให้เกิดการเพิ่มขึ้นของความเครียดอย่างต่อเนื่อง เมื่อเพิ่มความเค้นอย่างต่อเนื่อง จนกระทั่งถึงขีดจำกัดของความยืดหยุ่น (Elastic limit) ซึ่งเป็นจุดสุดท้ายที่เมื่อแรงภายนอกออกแล้ววัสดุตัวอย่างจะกลับมามีขนาดตามเดิม

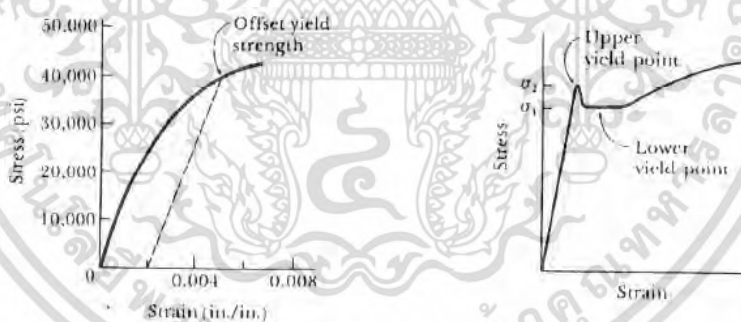
การเพิ่มความเค้นขึ้นอีกเพียงเล็กน้อย จะทำให้เกิดจุดตัดของความยืดหยุ่นมีค่าต่ำลงและส่งผลให้เกิดการเปลี่ยนแปลงรูปร่างอย่างถาวร พฤติกรรมนี้เรียกว่า “การคราก (Yielding)” ความเค้นที่ก่อให้เกิดการครากนี้เรียกว่า “ความเค้นคราก หรือจุดคราก (Yield stress or Yield point) – σ_y ”

เอกสารนี้เป็นเอกสารที่สงวนไว้สำหรับการใช้งานเพื่อการศึกษาเท่านั้น ไม่อนุญาตให้นำไปใช้ประโยชน์ด้านการค้า ไม่ว่ากรณีใดๆ ทั้งสิ้น อีกทั้งห้ามมิให้ตัดแปลงเนื้อหา และต้องอ้างอิงถึงเจ้าของเอกสารทุกครั้งที่มีการนำไปใช้

ความเค้น ณ จุดนี้ถือเป็นหลักในการออกแบบโดยทั่วไป การเปลี่ยนแปลงรูปร่างที่เกิดขึ้นนี้ เรียกว่า การเปลี่ยนแปลงรูปร่างอย่างถาวร หรือการเปลี่ยนแปลงรูปร่างแบบพลาสติก (Plastic deformation) สำหรับวัสดุที่ไม่มีจุดคราก เช่น เหล็กหล่อ ซึ่งถือว่าเป็นวัสดุเปราะ ก็อาจใช้ความต้านแรงดึง (Ultimate stress) - σ_u เป็นหลักในการออกแบบ

วัสดุใด ๆ ที่ถูกแรงกระทำ แล้วเกิดความเครียดที่มีค่ามาก ๆ ก่อนที่จะเกิดการแตกหัก เรียกว่า “วัสดุเหนียว” เช่น เหล็กเหนียว (Mild steel) โดยทั่วไปวิศวกรจะเลือกวัสดุเหนียวในการออกแบบ เนื่องจากวัสดุสามารถดูดซับพลังงานหรือแรงที่เกิดขึ้นอย่างฉับพลันได้ และถ้าวัสดุถูกกระทำด้วยแรงมากเกินไปจะทำให้เกิดการเปลี่ยนแปลงรูปร่างไปอย่างมากก่อนที่จะเกิดการแตกหัก วัสดุเหนียวจะมีค่า $\epsilon_f \geq 0.05$ และมีค่าความต้านแรงครากอย่างชัดเจน ซึ่งมักจะมีค่าเดียวกันสำหรับแรงดึงและการอัด ($S_{yt} = S_{yc} = S_y$)

สำหรับวัสดุที่มีจุดครากต่ำมาก หรือไม่มีจุดครากก่อนเกิดการแตกหัก และ $\epsilon_f < 0.05$ จะเรียกว่า “วัสดุเปราะ” เช่น อะลูมิเนียม โดยมาก $\sigma - \epsilon$ diagram จะแสดงเป็นรูปโค้งที่ไม่มีจุดครากที่แน่ชัด ดังนั้น จึงนิยามความต้านแรงคราก (Yield strength) จากวิธีทางกราฟฟิกที่เรียกว่า Offset method โดยเลือกใช้จุดที่มีค่าความเครียดเท่ากับ 0.2% (0.002) และวัดจากจุดนี้ที่อยู่บนแกน ϵ แล้วลากเส้นขนานกับส่วนที่เป็นเส้นตรงไปจนตัดกับส่วนโค้งของกราฟ ก็จะได้ค่าความเค้นที่เป็นความต้านแรงคราก ดังแสดงในรูปที่ 3.27



(a) $\sigma - \epsilon$ diagram ของวัสดุเหนียว

(b) $\sigma - \epsilon$ diagram ของวัสดุเปราะ

รูปที่ 3.27 แสดงค่าความเค้นที่เป็นจุดต้านแรงคราก [22]

เมื่อชิ้นงานที่ออกแบบไม่สามารถทำงานได้ตามที่ออกแบบไว้ เราเรียกว่า เกิดความเสียหาย ต้องทำการซ่อมแซมหรือทิ้งไป ค่าเสียหายในที่นี้มีความหมายกว้างมาก เช่น ชิ้นงานอาจจะได้รับแรงมากจนเกินไปจนเกิดการครากขึ้น การเกิดรอยร้าวหรือรอยแตกหัก เกิดการโค้งงอมากกว่าปกติ จนเสียรูป หรือเกิดการล้าจนหักพังในที่สุด สภาพการใช้งานที่ไม่ตรงเงื่อนไขในการออกแบบ เช่น ลักษณะและขนาดของแรงที่กระทำ ลักษณะผิวของชิ้นงาน หรือสภาวะแวดล้อมในการใช้งานที่แตกต่างไปจากเงื่อนไขในการออกแบบ อาจเป็นสาเหตุของความเสียหายเหล่านี้ อย่างไรก็ตามในการเลือกใช้ทฤษฎีต่าง ๆ วิศวกรผู้ออกแบบจะต้องระลึกไว้เสมอว่าวัสดุส่วนใหญ่จะมีพฤติกรรมเป็นเหล็ก อักษรนี้เป็นเอกสารที่สงวนไว้สำหรับการใช้งานเพื่อการศึกษาเท่านั้น ไม่อนุญาตให้นำไปใช้ประโยชน์ด้านการค้า ไม่ว่ากรณีใดๆ ทั้งสิ้น อีกทั้งห้ามมิให้ตัดแปลงเนื้อหา และต้องอ้างอิงถึงเจ้าของเอกสารทุกครั้งที่มีการนำไปใช้

เพราะเมื่อมีคาร์บอนผสมอยู่สูง และจะมีพฤติกรรมเป็นเหล็กเหนียวเมื่อมีปริมาณคาร์บอนน้อยลง นอกจากนั้นที่อุณหภูมิต่ำ วัสดุจะแข็งแต่เปราะง่าย ในขณะที่เมื่ออุณหภูมิสูงขึ้น วัสดุจะมีสภาพอ่อนตัวแต่เหนียวขึ้น และเพื่อป้องกันไม่ให้เกิดความเสียหายขึ้น วิศวกรผู้ออกแบบจะต้องกำหนดค่าตัวแปรที่ใช้ในการออกแบบ เช่น แรง ความเค้น การยึดตัว อายุการใช้งาน อุณหภูมิการใช้งาน และอื่น ๆ ให้มีค่าต่ำกว่าค่าสูงสุดที่ได้จากการคำนวณโดยใช้ทฤษฎีต่าง ๆ ในอัตราส่วนของค่าสูงสุดที่ขึ้นงานสามารถรองรับได้ ต่อค่าที่ใช้ในการออกแบบนี้ เรียกว่า แฟกเตอร์ในการออกแบบ หรือค่าความปลอดภัย ใช้สัญลักษณ์ n สำหรับการออกแบบที่ใช้ความเค้นเป็นหลัก

$$\text{ค่าความปลอดภัย} = \frac{\text{ความเค้นสูงสุดที่ขึ้นงานจะรองรับได้}}{\text{ความเค้นที่ยอมรับได้ในการใช้งาน}} \quad \text{หรือ} \quad n = \frac{\sigma_{\max}}{\sigma_{\text{allow}}} \quad (3.13)$$

มีทฤษฎีต่าง ๆ ที่ใช้เป็นหลักเกณฑ์ในการป้องกันความเสียหายที่อาจเกิดขึ้นกับชิ้นงานที่ออกแบบซึ่งเกี่ยวข้องกับงานวิจัย ดังนี้

3.4.1 ทฤษฎีความเค้นเฉือนสูงสุดสำหรับวัสดุเหนียว

ทฤษฎีนี้ได้ถูกนำเสนอโดย เฮนรี เทสคา (Henri Tresca) ในปี ค.ศ.1868 ซึ่งเกิดจากการสังเกตว่า วัสดุเหนียวจะเกิดการคราก เนื่องจากผลของการเลื่อน หรือเฉือนในระนาบของผลึก โดยทฤษฎีนี้กล่าวว่า “วัสดุจะเริ่มคราก เมื่อความเค้นเฉือนสูงสุดที่เกิดขึ้น มีค่ามากกว่าหรือเท่ากับความเค้นเฉือนสูงสุดขณะที่เริ่มครากของชิ้นทดสอบด้วยการดึงอย่างง่าย”

สำหรับการทดสอบแรงดึงอย่างง่าย $\sigma = \frac{P}{A}$ ความเค้นเฉือนสูงสุดจะเกิดขึ้นบนระนาบที่ทำมุม 45° กับระนาบของแนวดึง โดยมีขนาด $\tau_{\max} = \frac{\sigma}{2}$ ดังนั้น ความเค้นเฉือนสูงสุดที่จุดครากจึงมีค่า $\tau_{\max} = \frac{S_y}{2}$ สำหรับสภาวะความเค้นใน 3 มิติ ความเค้นหลักในแต่ละระนาบจะมีขนาดเรียงตามลำดับ คือ $\sigma_1 > \sigma_2 > \sigma_3$ นั่นคือ ความเค้นเฉือนสูงสุดจะมีค่าเท่ากับ $\tau_{\max} = \frac{\sigma_1 - \sigma_3}{2}$ ดังนั้น สำหรับสภาวะความเค้นโดยทั่วไปจะได้

$$\tau_{\max} = \frac{\sigma_1 - \sigma_3}{2} \geq \frac{S_y}{2} \quad \text{เมื่อ} \quad \sigma_1 > \sigma_2 > \sigma_3 \quad (3.14)$$

หรือ

$$\sigma_1 - \sigma_3 \geq S_y \quad (3.15)$$

ให้สังเกตว่า สมการนี้บอกให้ทราบว่า ความต้านแรงครากในการเฉือนจะมีค่าดังนี้

$$S_{sy} = 0.5S_y \quad (3.16)$$

เพื่อวัตถุประสงค์ในการออกแบบ เราสามารถปรับปรุงสมการที่ (3.14) ให้มีค่าแฟกเตอร์ในการออกแบบรวมอยู่ด้วย คือ

$$\sigma_1 - \sigma_3 = \frac{S_y}{n} \quad (3.17)$$

เอกสารนี้เป็นเอกสารที่สงวนไว้สำหรับการใช้งานเพื่อการศึกษาเท่านั้น ไม่อนุญาตให้นำไปใช้ประโยชน์ด้านการค้า ไม่ว่ากรณีใดๆ ทั้งสิ้น อีกทั้งห้ามมิให้ดัดแปลงเนื้อหา และต้องอ้างอิงถึงเจ้าของเอกสารทุกครั้งที่มีการนำไปใช้

สำหรับปัญหาความเค้นในระนาบสามารถวิเคราะห์ได้ง่าย โดยกำหนดให้ความเค้นหลักในระนาบใดระนาบหนึ่งมีค่าเท่ากับศูนย์ และหาความเค้นที่เหลือ σ_A และ σ_B จากสมการ

$$\sigma_1, \sigma_2 = \frac{\sigma_x + \sigma_y}{2} \pm \sqrt{\left(\frac{\sigma_x - \sigma_y}{2}\right)^2 + \tau_{xy}^2} \quad (3.18)$$

โดย $\sigma_A \geq \sigma_B$ ดังนั้น สำหรับความเค้นใน 3 มิติ การใช้สมการ (3.14) ในการพิจารณาความเค้นในระนาบจึงมี 3 กรณีที่ต้องพิจารณา

กรณีที่ 1 : $\sigma_A \geq \sigma_B \geq 0$ สำหรับกรณีนี้ $\sigma_1 = \sigma_A$ และ $\sigma_3 = 0$ ดังนั้นเงื่อนไขของสมการที่ (3.14) จึงเป็น

$$\sigma_A = S_y \quad (3.19)$$

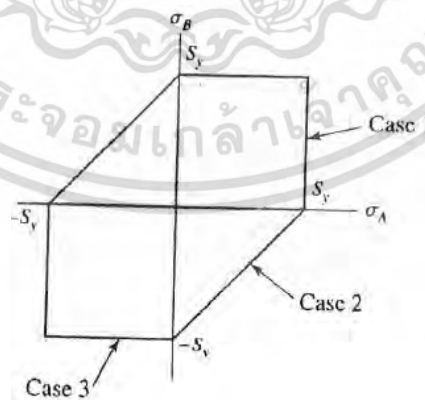
กรณีที่ 2 : $\sigma_A \geq 0 \geq \sigma_B$ สำหรับกรณีนี้ $\sigma_1 = \sigma_A$ และ $\sigma_3 = \sigma_B$ ดังนั้นเงื่อนไขของสมการที่ (3.14) จึงเป็น

$$\sigma_A - \sigma_B = S_y \quad (3.20)$$

กรณีที่ 3 : $0 \geq \sigma_A \geq \sigma_B$ สำหรับกรณีนี้ $\sigma_1 = 0$ และ $\sigma_3 = \sigma_B$ ดังนั้นเงื่อนไขของสมการที่ (3.14) จึงเป็น

$$\sigma_B = -S_y \quad (3.21)$$

สมการที่ (3.19) ถึง (3.21) แสดงให้เห็นโดยเส้น 3 เส้นในระนาบ σ_A, σ_B ตามรูปที่ 3.28 สำหรับเส้นที่เหลือซึ่งไม่มีเครื่องหมายแสดงไว้เป็นกรณีที่ $\sigma_B \geq \sigma_A$ ซึ่งจะไม่ถูกนำไปใช้ตามปกติ ส่วนการแปลงสมการที่ (3.19) ถึง (3.21) ให้เป็นสมการที่ใช้ในการออกแบบ แค่ว่าเพียงแทนค่า S_y ด้วย $\frac{S_y}{n}$



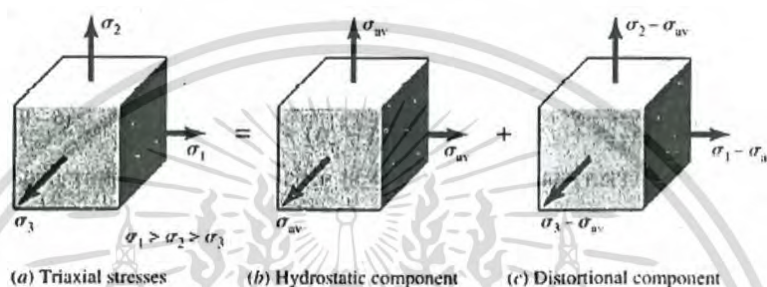
รูปที่ 3.28 สมการที่ (3.19) - (3.21) ในระนาบ σ_A, σ_B [22]

เอกสารนี้เป็นเอกสารที่สงวนไว้สำหรับการใช้งานเพื่อการศึกษาเท่านั้น ไม่อนุญาตให้นำไปใช้ประโยชน์ด้านการค้า ไม่ว่ากรณีใดๆ ทั้งสิ้น อีกทั้งห้ามมิให้ดัดแปลงเนื้อหา และต้องอ้างอิงถึงเจ้าของเอกสารทุกครั้งที่มีการนำไปใช้

3.4.2 ทฤษฎีพลังงานของการเปลี่ยนรูป

ทฤษฎีพลังงานของการเปลี่ยนรูป (Distortion – Energy Theory) นี้เกิดจากการสังเกตพลังงานที่เกิดจากการเปลี่ยนรูปของวัสดุเหนียว โดยทฤษฎีนี้กล่าวว่า “วัสดุจะเริ่มแตก เมื่อพลังงานของการเปลี่ยนรูปต่อหน่วยปริมาตรของชิ้นงานที่อยู่ภายใต้ความเค้นรวม มีค่ามากกว่าหรือเท่ากับพลังงานของการเปลี่ยนรูปเนื่องจากการแตกที่เกิดขึ้นในการทดสอบด้วยการดึงอย่างง่าย”

ในการพัฒนาสมการสำหรับทฤษฎีนี้ ให้พิจารณาพลังงานของการเปลี่ยนรูปในชิ้นส่วนรูปทรงสี่เหลี่ยมลูกบาศก์เล็ก ๆ ที่อยู่ภายใต้ความเค้นใน 3 มิติ σ_1 , σ_2 และ σ_3 ดังรูปที่ 3.29



รูปที่ 3.29 แสดงพลังงานของการเปลี่ยนรูปลูกบาศก์ภายใต้ความเค้น 3 มิติ [22]

โดย

$$\sigma_{av} = \frac{\sigma_1 + \sigma_2 + \sigma_3}{3} \quad (3.22)$$

ดังนั้น ชิ้นส่วนในรูปที่ 3.29 (b) จะมีปริมาตรเปลี่ยนแปลงไปโดยไม่มีการบิดเบือนรูปร่างเชิงมุม ถ้าเราถือว่า σ_{av} เป็นองค์ประกอบของ σ_1 , σ_2 และ σ_3 องค์ประกอบนี้ก็จะนำไปลบออกได้ ซึ่งจะได้ผลลัพธ์ดังรูปที่ 3.29 (c) ซึ่งองค์ประกอบนี้จะเป็นองค์ประกอบที่อยู่ภายใต้การบิดเบือนรูปร่างเชิงมุม โดยที่ปริมาตรไม่มีการเปลี่ยนแปลง

พลังงานความเครียดต่อหน่วยปริมาตรภายใต้ความเค้นใน 3 มิติ คือ

$$u = \frac{1}{2} (\epsilon_1 \sigma_1 + \epsilon_2 \sigma_2 + \epsilon_3 \sigma_3) \quad (3.23)$$

$$= \frac{1}{2E} [\sigma_1^2 + \sigma_2^2 + \sigma_3^2 - 2\nu(\sigma_1\sigma_2 + \sigma_2\sigma_3 + \sigma_3\sigma_1)] \quad (3.24)$$

พลังงานความเครียดที่ทำให้เกิดการเปลี่ยนแปลงเฉพาะปริมาตร u_v จึงหาได้โดยแทนค่า σ_{av} สำหรับ σ_1 , σ_2 และ σ_3 ในสมการ (3.24) ซึ่งจะได้

$$u_v = \frac{3\sigma_{av}^2}{2E} (1 - 2\nu) \quad (3.25)$$

ถ้าแทนค่าสมการ (3.22) ยกกำลังสอง ลงในสมการ (3.25) และจัดให้อยู่ในรูปอย่างง่ายจะได้

$$u_v = \frac{1 - 2\nu}{6E} (\sigma_1^2 + \sigma_2^2 + \sigma_3^2 + 2\sigma_1\sigma_2 + 2\sigma_2\sigma_3 + 2\sigma_3\sigma_1) \quad (3.26)$$

เอกสารนี้เป็นเอกสารที่สงวนไว้สำหรับการใช้งานเพื่อการศึกษาเท่านั้น ไม่อนุญาตให้นำไปใช้ประโยชน์ด้านการค้า ไม่ว่ากรณีใดๆ ทั้งสิ้น อีกทั้งห้ามมิให้ตัดแปลงเนื้อหา และต้องอ้างอิงถึงเจ้าของเอกสารทุกครั้งที่มีการนำไปใช้

ดังนั้น จะสามารถหาพลังงานของการเปลี่ยนรูปได้จากการนาสมการที่ (3.26) ไปลบออกจากสมการ (3.24) จะได้

$$u_d = u - u_v = \frac{1+\nu}{3E} \left[\frac{(\sigma_1 - \sigma_2)^2 + (\sigma_2 - \sigma_3)^2 + (\sigma_3 - \sigma_1)^2}{2} \right] \quad (3.27)$$

ให้สังเกตว่า พลังงานของการเปลี่ยนรูปจะมีค่าเท่ากับศูนย์ เมื่อ $\sigma_1 = \sigma_2 = \sigma_3$

สำหรับการทดลองแรงดึงอย่างง่าย ที่จุดคราก $\sigma_1 = S_y$ และ $\sigma_2 = \sigma_3 = 0$ ดังนั้นพลังงานของการเปลี่ยนรูปจะมีค่าเท่ากับ

$$u_d = \frac{1+\nu}{3E} S_y^2 \quad (3.28)$$

ดังนั้น สำหรับสภาวะความเค้นในสมการที่ (3.27) จะทำให้สามารถหานายจุดครากของชิ้นงานได้ ถ้าสมการที่ (3.27) มีค่ามากกว่าหรือเท่ากับสมการที่ (3.28) ซึ่งจะได้

$$\left[\frac{(\sigma_1 - \sigma_2)^2 + (\sigma_2 - \sigma_3)^2 + (\sigma_3 - \sigma_1)^2}{2} \right]^{\frac{1}{2}} \geq S_y \quad (3.29)$$

ในการทดสอบแรงดึงอย่างง่าย จะเกิดความเค้น σ จากการครากของชิ้นงานจะเกิดขึ้นเมื่อ $\sigma \geq S_y$ ดังนั้น เทอมทางซ้ายมือของสมการที่ (3.29) จะเป็นค่าความเค้นที่มีผลต่อพลังงานของการเปลี่ยนรูป (Effective stress) ซึ่งนิยมเรียกว่า “von Mises stress” ตามชื่อของผู้คิดค้นทฤษฎีนี้ โดยใช้สัญลักษณ์ σ' ดังนั้น จึงสามารถเขียนสมการที่ (3.29) ได้เป็น

$$\sigma' \geq S_y \quad (3.30)$$

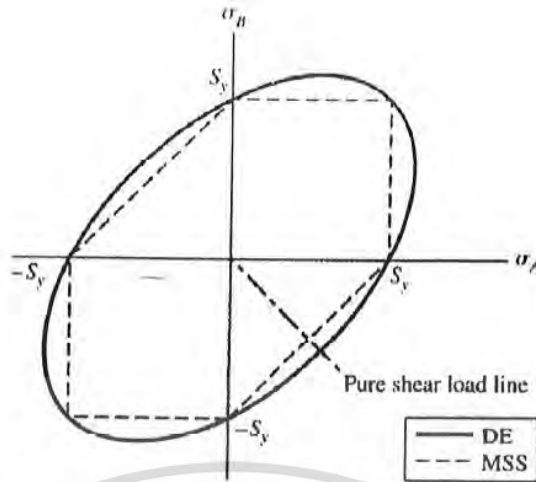
เมื่อ

$$\sigma' = \left[\frac{(\sigma_1 - \sigma_2)^2 + (\sigma_2 - \sigma_3)^2 + (\sigma_3 - \sigma_1)^2}{2} \right]^{\frac{1}{2}} \quad (3.31)$$

สำหรับความเค้นในระนาบ ก กำหนดให้ σ_A และ σ_B เป็นความเค้นหลักซึ่งมีค่าไม่เท่ากับศูนย์ ดังนั้น

$$\sigma' = (\sigma_A^2 - \sigma_A \sigma_B + \sigma_B^2)^{\frac{1}{2}} \quad (3.32)$$

สมการที่ (3.32) นี้เป็นสมการของวงรีบนระนาบ $\sigma_A \sigma_B$ ดังแสดงตามรูปที่ 3.30 โดย $\sigma' = S_y$ เส้นประในรูป คือ ทฤษฎีความเค้นเฉือนสูงสุด (MSS) ซึ่งจะเห็นได้ว่ามีขีดจำกัดมากกว่า



รูปที่ 3.30 แสดงสมการ σ' บนระนาบ $\sigma_A \sigma_B$ [22]

การใช้องค์ประกอบของความเค้นใน 3 มิติ xyz จะสามารถเขียน von Mises stress ได้ดังนี้

$$\sigma' = \frac{1}{\sqrt{2}} \left[(\sigma_x - \sigma_y)^2 + (\sigma_y - \sigma_z)^2 + (\sigma_z - \sigma_x)^2 + 6(\tau_{xy}^2 + \tau_{yz}^2 + \tau_{zx}^2) \right]^{1/2} \quad (3.33)$$

ดังนั้น สำหรับความเค้นในระนาบ $\sigma_z = 0$

$$\sigma' = \frac{1}{\sqrt{2}} \left[(\sigma_x - \sigma_y)^2 + (\sigma_y - \sigma_z)^2 + (\sigma_z - \sigma_x)^2 + 6(\tau_{xy}^2 + \tau_{yz}^2 + \tau_{zx}^2) \right]^{1/2} \quad (3.34)$$

$$\sigma' = (\sigma_x^2 - \sigma_x \sigma_y + \sigma_y^2 + 3\tau_{xy}^2)^{1/2} \quad (3.35)$$

ทฤษฎีพลังงานของการเปลี่ยนรูป มีชื่อเรียกอย่างอื่นว่า

ทฤษฎี von Mises หรือ von Mises – Hencky

ทฤษฎีพลังงานความเค้นเฉือน (Shear – energy theory)

ทฤษฎีความเค้นเฉือนออกตะฮีดรัล (Octahedral – shear – stress theory)

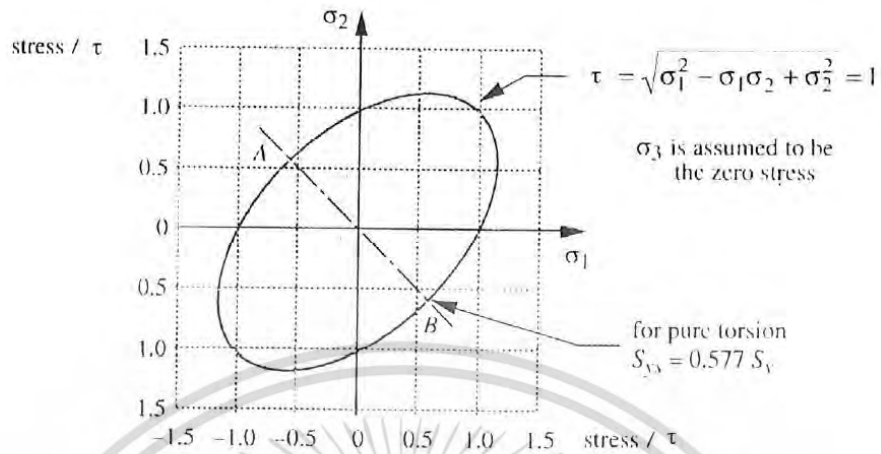
โมเดลสำหรับทฤษฎีความเค้นเฉือนสูงสุด จะไม่สนใจความเค้นหลักบนระนาบที่เอียงตามมุม 45° กับระนาบของการดึง ซึ่งมีค่า $\frac{P}{2A}$ และไม่สนใจ Hydrostatic stress ซึ่งมีค่า $\frac{P}{3A}$ และนี่คือเหตุผลที่ทำให้ทฤษฎีความเค้นเฉือนสูงสุด แตกต่างไปจากทฤษฎีพลังงานของการเปลี่ยนรูป หรือทฤษฎีความเค้นเฉือนออกตะฮีดรัล

ในการออกแบบชิ้นส่วนเครื่องจักรกลโดยทั่วไป จะพิจารณาความเค้นในระนาบ ซึ่ง $\sigma_3 = 0$ เมื่อใช้ค่าความปลอดภัย n และกำหนดค่าความเค้นที่เกิดขึ้นจริง (von Mises stress), σ' คือ

$$\sigma' = \frac{S_y}{n} \quad (3.36)$$

เอกสารนี้เป็นเอกสารที่สงวนไว้สำหรับการใช้งานเพื่อการศึกษาเท่านั้น ไม่อนุญาตให้นำไปใช้ประโยชน์ด้านการค้า ไม่ว่ากรณีใดๆ ทั้งสิ้น อีกทั้งห้ามมิให้ดัดแปลงเนื้อหา และต้องอ้างอิงถึงเจ้าของเอกสารทุกครั้งที่มีการนำไปใช้

จะได้ $(\sigma')^2 = \sigma_1^2 - \sigma_1\sigma_2 + \sigma_2^2$ ซึ่งเป็นสมการวงรี ดังรูปเช่นเดียวกับรูปที่ 3.30



รูปที่ 3.31 แสดงสมการ σ' บนระนาบ $\sigma_1\sigma_2$ [22]

หากพิจารณากรณีที่มีการครากเกิดจากความเค้นเฉือนเพียงอย่างเดียว นั่นคือ $\sigma_x = \sigma_y = 0$

จะได้

$$\sqrt{3\tau_{xy}^2} = S_y \text{ หรือ } \tau_{xy} = \frac{S_y}{\sqrt{3}} = 0.577S_y \quad (3.37)$$

ดังนั้น เมื่อใช้ทฤษฎีพลังงานของการเปลี่ยนรูป จะสามารถทำนายค่าความเค้นต้านแรงเฉือน

ได้ คือ

$$S_{xy} = 0.577S_y \quad (3.38)$$

ซึ่งมีค่ามากกว่าค่าความต้านแรงเฉือนครากที่ านขยจากทฤษฎีความเค้นเฉือนสูงสุดประมาณ

15%

3.5 ความเสียหายเนื่องจากการล้า

สาเหตุของการล้าจะเริ่มจากมีรอยร้าวหรือรอยต หนิเล็ก ๆ (ซึ่งอาจจะไม่สามารถมองเห็นได้ด้วยตาเปล่า) เกิดขึ้นบริเวณที่วัสดุไม่ต่อเนื่องกัน เช่น บริเวณที่มีการเปลี่ยนขนาดของพื้นที่หน้าตัด ร่องลิ้ม รูเจาะ รอยประทับตราจากการตรวจสอบ หรือรอยร้าวภายในชิ้นงานที่เกิดจากกระบวนการผลิต เมื่อมีแรงกระทำแบบวัฏจักรเกิดขึ้น ค่าความเค้นหนาแน่นบริเวณรอยต หนิต่าง ๆ จะสูงขึ้น และเป็นสาเหตุทำให้รอยต หนิขยายตัวขึ้นจนกลายเป็นรอยร้าวที่เห็นได้ชัดเจน และในที่สุดชิ้นงานก็จะเกิดการแตกหักอย่างรวดเร็ว

ความเสียหายเนื่องจากการล้าจะปรากฏให้เห็นคล้ายกับการแตกร้าวของวัสดุเปราะ โดยพื้นผิวของรอยแตกหักจะค่อนข้างเรียบปราศจากรอยคอด และมีทิศทางตั้งฉากกับแนวแกนของความเค้นดึง เป็นเอกสารนี้เป็นเอกสารที่สงวนไว้สำหรับการใช้งานเพื่อการศึกษาเท่านั้น ไม่อนุญาตให้นำไปใช้ประโยชน์ด้านการค้า ไม่ว่ากรณีใดๆ ทั้งสิ้น อีกทั้งห้ามมิให้ดัดแปลงเนื้อหา และต้องอ้างอิงถึงเจ้าของเอกสารทุกครั้งที่มีการนำไปใช้

เค้น แต่อย่างไรก็ตามลักษณะการแตกหักเนื่องจากการล้าจะแตกต่างจากการแตกร้าวของวัสดุเปราะ โดยจะมีระยะการล้าอยู่ 3 ขั้นตอน

ขั้นที่ 1 การเริ่มเกิดรอยร้าวในโครงสร้างของเนื้อวัสดุ เนื่องจากการใช้งานแบบวัฏจักร รอยร้าวนี้อาจไม่สามารถมองเห็นได้ด้วยตาเปล่า ขั้นที่ 2 เมื่อมีแรงกระทำ แบบวัฏจักรเกิดขึ้นอย่างต่อเนื่อง ค่าความเค้นหนาแน่นบริเวณรอยร้าวจะสูงขึ้น และเป็นสาเหตุที่ทำให้รอยร้าวขยายตัวขึ้น ซึ่งจะเป็นรอยเหมือนคลื่น เรียกว่า Bench-marks ในขั้นนี้ความเสียหายจะเกิดขึ้นอย่างช้า ๆ และขั้นที่ 3 เมื่อวัสดุไม่สามารถรองรับโหลดได้อีกต่อไป จะเกิดการแตกหักอย่างทันทีทันใด สำหรับรูปแบบของความเสียหายในขั้นตอนนี้เรียกว่า Chevron line โดยมีทิศทางพุ่งออกจากจุดที่เกิดรอยร้าวในครั้งแรก และมีลักษณะเหมือนกับความเสียหายของวัสดุเปราะ

สำหรับเงื่อนไขต่าง ๆ ที่จะเป็นตัวเร่งให้รอยร้าวหรือรอยแตกขนาดเล็ก ๆ เกิดการแตกหักเนื่องจากการล้า จะประกอบไปด้วยความเค้นตกค้างที่สะสมอยู่ในชิ้นงาน อุณหภูมิการใช้งานที่เพิ่มขึ้น สภาพแวดล้อมที่เกิดการกัดกร่อน และความถี่ของวงรอบการใช้งานแบบวัฏจักร ในเบื้องต้นเราสามารถควบคุมอัตราส่วนและทิศทางของการขยายตัวของรอยร้าวได้โดยระบุความเค้นใช้งาน แต่อย่างไรก็ตามเมื่อมีรอยร้าวเกิดขึ้นจะมีปัจจัยอื่นเข้ามามีอิทธิพลต่อการแตกหัก ดังที่กล่าวมาในข้างต้น โดยรอยร้าวจะขยายออกตามระนาบที่ตั้งฉากกับระนาบที่เกิดความเค้นเฉือนสูงสุด

3.5.1 การคำนวณอายุการล้า

วิธีการหลัก 3 วิธีที่ถูกนำมาใช้ในการวิเคราะห์และออกแบบชิ้นงานที่อาจเกิดความเสียหายเนื่องจากการล้าประกอบด้วย Stress-life method, Strain life method และ Linear – elastic fracture mechanics ซึ่งวิธีการเหล่านี้ เป็นวิธีการที่จะพยายามทำนายอายุการล้าของชิ้นงานเป็นวงรอบการรับโหลดที่จะเกิดความเสียหาย N โดยทั่วไปจะแบ่งเป็นวงรอบการใช้งานต่ำ (Low-cycle fatigue) จะหมายถึงชิ้นงานที่มีอายุการใช้งานในช่วงวงรอบ $1 \leq N \leq 10^3$ รอบ และวงรอบการใช้งานสูง (High-cycle fatigue) จะหมายถึงชิ้นงานที่มีอายุการใช้งานในช่วงวงรอบ $N > 10^3$ รอบ

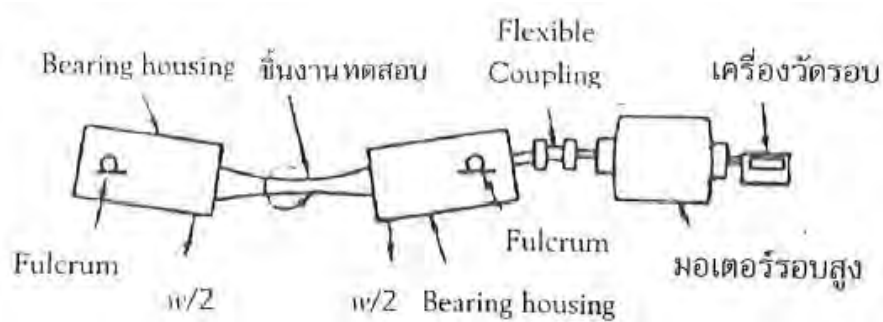
3.5.1.1 วิธีการหาอายุการล้าจากความเค้นใช้งาน

วิธีหาอายุการล้าจากความเค้นใช้งาน (Stress – life method) จะคำนวณอายุการล้าบนพื้นฐานของระดับความเค้นเพียงอย่างเดียว ดังนั้น จึงมีความเที่ยงตรงค่อนข้างต่ำ โดยเฉพาะอย่างยิ่งสำหรับชิ้นงานที่มีวงรอบการใช้งานต่ำ อย่างไรก็ตามวิธีการนี้ก็จะเป็นที่นิยมใช้กันมากที่สุดในการออกแบบชิ้นงานที่ทราบวงรอบการนำไปใช้งานที่แน่นอน และใช้สำหรับทำนายอายุการใช้งานสูงที่มีข้อมูลสนับสนุนเพียงพอ ทั้งนี้เนื่องจากวิธีการนี้สามารถนำไปใช้ได้ง่าย

การพิจารณาความต้านแรงของวัสดุภายใต้การกระทำของโหลดแบบวัฏจักร ชิ้นงานทดสอบจะต้องถูกนำไปรับแรงกระทำซ้ำ ๆ ที่มีขนาดแน่นอน แล้วนับวงรอบการใช้งานที่ชิ้นงานทดสอบถูกทำลาย R.R. Moore ได้สร้างเครื่องมือสำหรับทดสอบ เพื่อหาอายุการล้าของชิ้นงาน ดังแสดงตามรูป

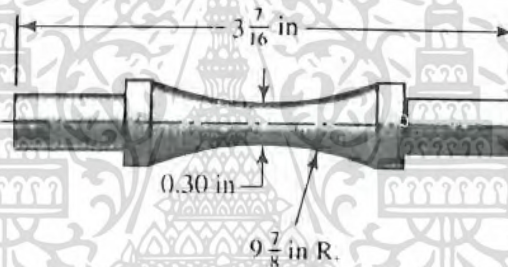
ที่ 3.32

เอกสารนี้เป็นเอกสารที่สงวนไว้สำหรับการใช้งานเพื่อการศึกษาเท่านั้น ไม่อนุญาตให้นำไปใช้ประโยชน์ด้านการค้า ไม่ว่ากรณีใดๆ ทั้งสิ้น อีกทั้งห้ามมิให้ตัดแปลงเนื้อหา และต้องอ้างอิงถึงเจ้าของเอกสารทุกครั้งที่มีการนำไปใช้



รูปที่ 3.32 เครื่องมือสำหรับทดสอบเพื่อหาอายุการล้าของชิ้นงานของ Moore [22]

ชิ้นงานทดสอบถูกนำไปรับแรงดัดเพียงอย่างเดียว โดยนำก้อนน้ำหนักมาถ่วง สำหรับตัวชิ้นงานทดสอบจะถูกนำมาขัดมันในทิศทางตามแนวแกน เพื่อป้องกันไม่ให้เกิดการยึดตัวตามแนวเส้นรอบวง โดยมีรูปร่างและขนาดมาตรฐาน ดังแสดงในรูปที่ 3.33



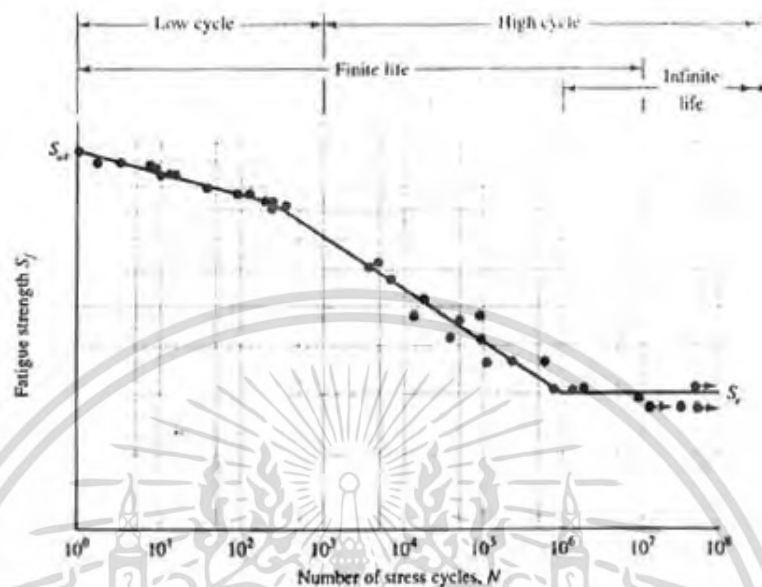
รูปที่ 3.33 ชิ้นงานทดสอบมาตรฐานสำหรับเครื่องทดสอบของ Moore [22]

ในการหาความต้านทานการล้าของวัสดุ จะเป็นที่จะต้องทำการทดสอบชิ้นงานที่เป็นวัสดุชนิดเดียวกันหลาย ๆ ครั้ง ภายใต้โหลดการดัดขนาดเดียวกัน ในขณะที่ทำการทดสอบ ชิ้นงานตามรูปที่ 3.33 จะอยู่ภายใต้โมเมนต์ดัดคงที่ค่าหนึ่ง ซึ่งทำให้เกิดความเค้นดัดแบบวัฏจักรที่ผิวนอกของเพลลาอยู่ตลอดเวลาที่เพลลาหมุน โดยความเค้นดัดที่จุดใด ๆ บนผิวของเพลลา จะเป็นความเค้นแบบกระพริบสองทิศทาง และมีค่าอัตราส่วนความเค้น $R = -1$ ผลการทดสอบเพื่อหาค่าความต้านทานการล้าของวัสดุ นิยมเขียนเป็นกราฟ ค่าความต้านทานการล้า (Fatigue strength) หรือความทนทาน (Endurance strength) เทียบกับอายุของชิ้นงาน N รอบ ($S-N$ diagram) ในสเกล Semilog หรือสเกล $\log - \log$ ซึ่งจากผลการทดสอบกับวัสดุชนิดต่าง ๆ ปรากฏว่ากราฟ $S-N$ มีอยู่ 2 ลักษณะ ดังนี้

(1) โลหะจากพวกเหล็ก กราฟ $S-N$ ประกอบด้วยเส้นตรง 2 เส้น ตัดกันเป็นมุม ที่อายุการหมุน $N \approx 10^6$ รอบ ดังแสดงตามรูปที่ 3.34 ซึ่งหมายความว่า ค่า S_f ต่ำสุดนี้ เป็นค่าที่ไม่ทำให้เกิดชิ้นงานเกิดการแตกหัก หรือเป็นค่าที่ทำให้ชิ้นงานมีอายุการใช้งานมากกว่า 10^6 รอบขึ้นไป ค่านี้

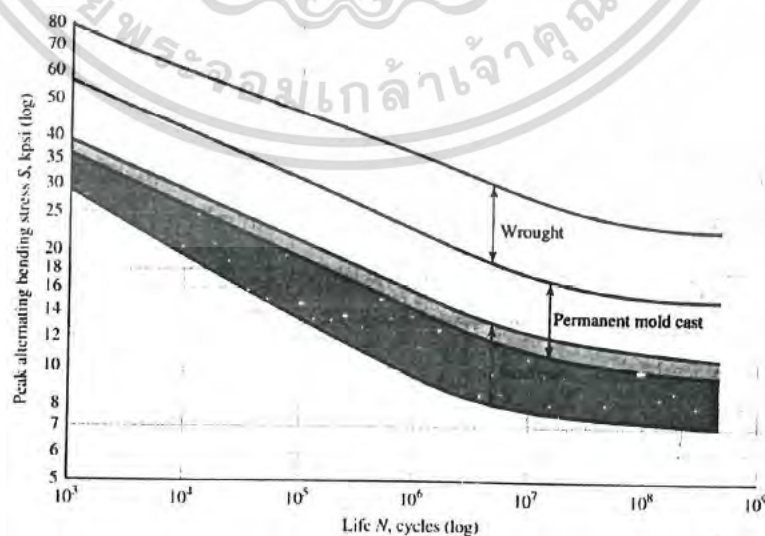
เอกสารนี้เป็นเอกสารที่สงวนไว้สำหรับการใช้งานเพื่อการศึกษาเท่านั้น ไม่อนุญาตให้นำไปใช้ประโยชน์ด้านการค้าไม่ว่ากรณีใดๆ ทั้งสิ้น อีกทั้งห้ามมิให้ดัดแปลงเนื้อหา และต้องอ้างอิงถึงเจ้าของเอกสารทุกครั้งที่มีการนำไปใช้

เรียกว่า “พิกัดการล้า (Fatigue limit) หรือพิกัดความทนทาน (Endurance limit)” สำหรับชิ้นงานทั่ว ๆ ไปใช้สัญลักษณ์ S_e



รูปที่ 3.34 $S-N$ Diagram ของเหล็กกล้า UNS G41300 โดย $S_{ut} = 116$ ksi [22]

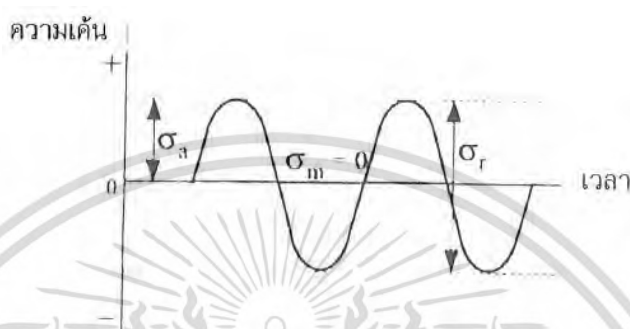
(ข) โลหะที่ไม่ใช่เหล็ก กราฟ $S-N$ จะเป็นเส้นตรงเส้นเดียวและมีส่วนโค้งที่ไม่เป็นมุมเล็กน้อย ดังรูปที่ 3.35 ซึ่งกราฟ $S-N$ ของอะลูมิเนียมอัลลอยด์ จะเห็นได้ว่าสำหรับโลหะที่ไม่ใช่เหล็ก จะมีเพียงค่าความต้านทานการล้า S_f เท่านั้น ไม่มีค่าพิกัดการล้า S_e และเนื่องจากโลหะที่ไม่ใช่เหล็ก ไม่มีค่าพิกัดการล้าโดยทั่วไปจึงแสดงค่าความต้านทานการล้าที่อายุการใช้งานที่แน่นอนค่าหนึ่ง คือ $N = 5 \times 10^8$ รอบ



รูปที่ 3.35 $S-N$ Diagram ของอะลูมิเนียมอัลลอยด์ [22]

เอกสารนี้เป็นเอกสารที่สงวนไว้สำหรับการใช้งานเพื่อการศึกษาเท่านั้น ไม่อนุญาตให้นำไปใช้ประโยชน์ด้านการค้าไม่ว่ากรณีใดๆ ทั้งสิ้น อีกทั้งห้ามมิให้ตัดแปลงเนื้อหา และต้องอ้างอิงถึงเจ้าของเอกสารทุกครั้งที่มีการนำไปใช้

ให้สังเกตว่าการรับโหลดแบบวัฏจักร 1 รอบ ($N=1$) จะประกอบด้วยการใส่โหลดซึ่งเป็นการความเค้นเข้าไป 1 ครั้งจากนั้นก็นำโหลดออก แล้วใส่โหลดเข้าไปในทิศทางตรงกันข้ามอีก 1 ครั้งแล้วนำโหลดออกดังแสดงตามรูปที่ 3.36 ดังนั้น ในกรณีที่ $N = 1/2$ จะหมายถึงการใส่โหลดซึ่งเป็นการความเค้นเข้าไป 1 ครั้ง จากนั้นก็นำโหลดออก ซึ่งเป็นกรณีเดียวกับการทดลองดึงขึ้นงานทดสอบอย่างง่าย



รูปที่ 3.36 ความเค้นสลับตรงกัน กระแส ชู สองทิศทาง ($R = -1$) [22]

นอกจากนั้นรูปที่ 3.34 ยังแสดงให้เห็นว่ามีการจำแนกการล้าออกเป็นวงรอบการใช้งานต่ำ (Low – cycle fatigue) จะหมายถึงชิ้นงานที่มีอายุการใช้งานตั้งแต่ 1 – 1000 รอบ และวงรอบการใช้งานสูง (High – cycle fatigue) จะหมายถึงชิ้นงานที่มีอายุการใช้งานมากกว่า 10^3 รอบ และแบ่งอายุที่ใช้ในการออกแบบชิ้นส่วนเครื่องจักรกลสำหรับความล้าตามช่วงอายุการใช้งาน คือ ชิ้นงานที่มีอายุจำกัด (Finite life) และชิ้นงานที่มีอายุไม่จำกัด (Infinite life) บริเวณระหว่างช่วงทั้งสองนี้จะไม่สามารถระบุได้ชัดเจน โดยจะขึ้นอยู่กับวัสดุแต่ละชนิดโดยเฉพาะ ซึ่งสำหรับเหล็กจะมีค่าอยู่ระหว่าง $10^6 - 10^7$ รอบ

3.5.1.2 วิธีการหาอายุการล้าจากความเครียด

วิธีการหาอายุการล้าจากความเครียด (Strain life method) จะวิเคราะห์เจาะลึกไปที่รายละเอียดในย่านที่เกิดการเปลี่ยนแปลงรูปร่างอย่างถาวร และคำนวณอายุการล้าบนพื้นฐานของความเค้นและความเครียดที่เกี่ยวข้อง วิธีการนี้จะเหมาะสมสำหรับคำนวณอายุการล้าสำหรับชิ้นงานที่มีวงรอบการทงานต่ำ การาน วิธีการนี้มาประยุกต์ใช้จะต้องนำแนวความคิดต่าง ๆ ในการออกแบบมาประกอบกัน รวมทั้งเรื่องของความไม่แน่นอนที่จะส่งผลกระทบต่อการใช้งาน

ส่วนใหญ่แล้วการล้ามักจะเริ่มต้นเกิดขึ้นจากบริเวณที่เนื้อวัสดุที่ใช้ทำชิ้นงานมีความไม่ต่อเนื่อง เช่น มีรอยบาก หรือรอยร้าว หรือเกิดความเค้นหนาแน่นขึ้นที่จุดใดจุดหนึ่ง เมื่อความเค้นบริเวณดังกล่าวมีค่าสูงเกินขีดจำกัดของความยืดหยุ่น ก็จะทำให้เกิดความเครียดขึ้นในชิ้นงาน และการล้าจะเกิดขึ้นเมื่อความเครียดมีค่ามากเกินกว่าวัฏจักรความเครียดในการเปลี่ยนแปลงรูปร่างอย่างถาวร ดังนั้น เราจึงต้องศึกษาพฤติกรรมของวัสดุเมื่อถูกนำไปใช้รับโหลดแบบวัฏจักร

เอกสารนี้เป็นเอกสารที่สงวนไว้สำหรับการใช้งานเพื่อการศึกษาเท่านั้น ไม่อนุญาตให้นำไปใช้ประโยชน์ด้านการค้าไม่ว่ากรณีใดๆ ทั้งสิ้น อีกทั้งห้ามมิให้ดัดแปลงเนื้อหา และต้องอ้างอิงถึงเจ้าของเอกสารทุกครั้งที่มีการนำไปใช้

3.5.1.3 วิธีการหาอายุการล้าจากความยืดหยุ่นเชิงเส้นตามหลักกลศาสตร์การแตกร้าว

วิธีการหาอายุการล้าจากความยืดหยุ่นเชิงเส้นตามหลักกลศาสตร์การแตกร้าว (Linear – elastic fracture mechanics) จะสมมติว่ามีรอยร้าวเกิดขึ้นในชิ้นงาน และทำนายอัตราการขยายตัวของรอยร้าวที่เกิดจากความเค้นเข้มข้น วิธีการนี้จะมีประโยชน์สำหรับวิเคราะห์โครงสร้างขนาดใหญ่ โดยใช้โปรแกรมคอมพิวเตอร์ช่วยในการคำนวณ

ขั้นตอนแรกของการล้า (Stage I fatigue) จะเริ่มจากการแตกร้าว โดยโครงสร้างผลึกจะเกิดการเคลื่อนตัวผ่านเกรนในเนื้อโลหะที่ต่อเนื่องกันเป็นจำนวนมาก และหมายความรวมถึงรอยตาดานที่พื้นผิวของชิ้นงาน ซึ่งอาจจะไม่สามารถสังเกตเห็นได้ ในขั้นตอนแรกจึงกล่าวรวมในรูปแบบของผลึกโครงสร้าง ขั้นตอนที่สองของการล้า (Stage II fatigue) จะเกิดการขยายตัวของรอยร้าว นั่นคือ พื้นที่การร้าวจะเพิ่มขึ้น ในขั้นตอนนี้รอยร้าวเริ่มจะมีความชัดเจนขึ้น โดยสามารถสังเกตเห็นได้ด้วยกล้องจุลทรรศน์อิเล็กตรอน และขั้นตอนสุดท้ายของความเสียหายเนื่องจากการล้า จะเกิดขึ้นในขั้นตอนที่สามของการล้า (Stage III fatigue) ในขั้นตอนนี้ชิ้นงานจะเกิดการแตกหักอย่างทันทีทันใด ถึงแม้ว่าจะไม่มีความล้าเข้ามาเกี่ยวข้องก็ตาม นั่นคือ จะเกิดขึ้นเมื่อมีความเข้มข้นเกินกว่าค่าความเข้มข้นวิกฤติ

3.5.2 เกณฑ์การล้าของ Dang Van

เกณฑ์การล้าของ Dang Van ได้มีการนำเสนอในปี 1993 เพื่อใช้ในการทำนายการเริ่มต้นเกิดการล้าในเนื้อวัสดุเนื่องจากสภาวะความเค้นที่มีหลายแกน โดยเกณฑ์ดังกล่าวจะอยู่บนสมมติฐานที่ระดับ Mesoscopic scale ซึ่งพิจารณาการล้าและความเสียหายที่มีความรุนแรงที่เกิดขึ้นบริเวณขอบหรือภายในเกรน โดยการคราก (Yield) จะเกิดขึ้นในตำแหน่งวิกฤติที่มีการลื่นของระนาบที่ระดับดังกล่าว ถึงแม้ว่าขนาดของความเค้นที่ระดับ Macroscopic scale ซึ่งเป็นระดับที่พิจารณาโครงสร้างที่มีภาวะกระทำ จะอยู่ต่ำกว่าจุดคราก (Yield limit) ก็ตาม โดยเกณฑ์ดังกล่าวจะพิจารณาการล้าที่มีวงรอบการใช้งานสูง (High cycle fatigue) ซึ่งจะนำไปสู่ความล้มเหลวหลังจากเกินจำนวนวงรอบที่จำกัด ความเค้นจะมีความเข้มข้นเนื่องจากความล้มเหลวของ Mesoscopic จะเป็นจุดเริ่มต้นของรอยแตกร้าว Macroscopic ซึ่งเชื่อมโยงกับความล้มเหลวในระดับ Macroscopic scale ดังนั้น จึงสามารถสรุปได้ดังนี้

$$\max_t (\tau(t) + a\sigma^H(t)) < b \quad (3.39)$$

โดย

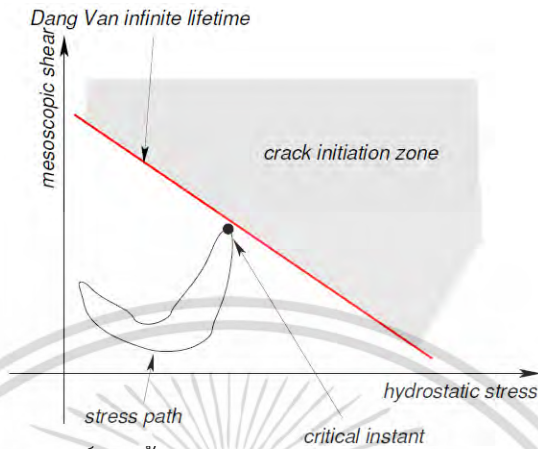
$$\sigma_{DV}(t) = \tau(t) + a\sigma^H(t) \quad (3.40)$$

ซึ่งสมการที่ (3.39) เป็นสูตรดั้งเดิมของเกณฑ์การล้าของ Dang Van โดย τ คือ ค่าเฉลี่ย Tresca ของความเค้นเฉือนในระดับ Mesoscopic และ $\sigma^H(t)$ คือ ความเค้น Hydrostatic สามารถคำนวณได้จาก

$$\sigma^H(t) = \frac{\sigma_x + \sigma_y + \sigma_z}{3} \quad (3.41)$$

เอกสารนี้เป็นเอกสารที่สงวนไว้สำหรับการใช้งานเพื่อการศึกษาเท่านั้น ไม่อนุญาตให้นำไปใช้ประโยชน์ด้านการค้า ไม่ว่ากรณีใดๆ ทั้งสิ้น อีกทั้งห้ามมิให้ตัดแปลงเนื้อหา และต้องอ้างอิงถึงเจ้าของเอกสารทุกครั้งที่มีการนำไปใช้

โดยทั่วไปจะแสดงเส้นทางของความเค้นในกราฟระหว่าง Mesoscopic shear กับ Mesoscopic hydrostatic ดังแสดงในรูปที่ 3.37



รูปที่ 3.37 เกล็ดการล้าของ Dang Van ในระนาบ τ และ P [16]

ซึ่งเส้นดังกล่าวจะถูกนิยามว่าเป็นเกณฑ์ของขอบเขตระหว่างอายุการใช้งานที่ไม่จำกัดกับการล้า ซึ่งถ้าจุดใด ๆ ของเส้นทางของภาระที่กระทำอยู่เหนือตำแหน่งของเส้นเกณฑ์การล้าของ Dang Van แสดงว่าการล้าจะเกิดขึ้นที่จุดนั้น

ตัวแปร a และ b สามารถคำนวณจากขีดจำกัดการล้าจากการบิด t_∞ และขีดจำกัดการล้าจากการตัด f_∞ ซึ่งได้จากการทดสอบการล้าของวัสดุด้วยการบิดและการตัด ตามลำดับ ดังแสดงในสมการต่อไปนี้

$$a = \frac{t_\infty - \frac{1}{2}f_\infty}{\frac{1}{3}f_\infty} \quad (3.42)$$

และ

$$b = t_\infty \quad (3.43)$$

ดังนั้น ในการพิจารณาตำแหน่งที่เกิดการล้าสามารถดำเนินการได้โดยการเปรียบเทียบความเค้นตามเกณฑ์การล้าของ Dang Van กับ ขีดจำกัดการล้าจากการบิด t_∞ ซึ่งเรียกว่า อัตราส่วนความเค้น Dang Van (Dang Van stress ratio) ดังแสดงในสมการที่ (3.44)

$$\text{Dang Van stress ratio} = \frac{\sigma_{DV}}{t_\infty} \quad (3.44)$$

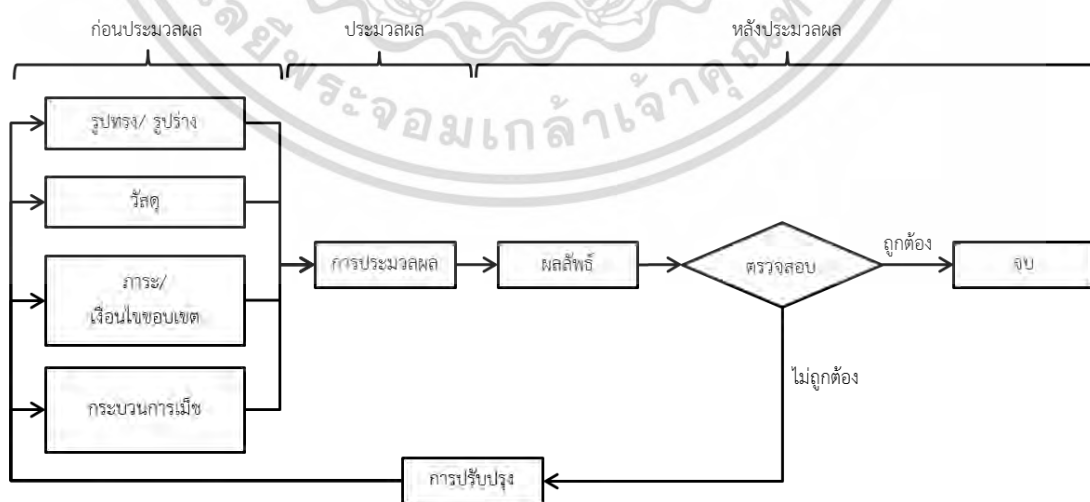
หาก อัตราส่วนความเค้น Dang Van ที่ตำแหน่งใด ๆ มีค่ามากกว่า 1 แสดงว่า ที่ตำแหน่งดังกล่าวจะมีการล้าเกิดขึ้น

จากการพิจารณาทฤษฎีการล้าที่ผ่านมาสามารถประยุกต์ใช้ได้เฉพาะสถานการณ์ที่มีเค้นแบบหนึ่งแกน (Uniaxial) เท่านั้น และการออกแบบโครงสร้างต่าง ๆ ที่ต้องมีการต้านทานการล้า เอกสารนี้เป็นเอกสารที่สงวนไว้สำหรับการใช้งานเพื่อการศึกษาเท่านั้น ไม่อนุญาตให้นำไปใช้ประโยชน์ด้านการค้าไม่ว่ากรณีใดๆ ทั้งสิ้น อีกทั้งห้ามมิให้ตัดแปลงเนื้อหา และต้องอ้างอิงถึงเจ้าของเอกสารทุกครั้งที่มีการนำไปใช้

โดยเฉพาะอย่างยิ่งการล้าที่มีวงรอบการใช้งานสูง จึงจำเป็นต้องมีการทดลองในแบบจำลองที่มีขนาดเท่าของจริง เพื่อหาขีดจำกัดของการล้าของส่วนประกอบต่าง ๆ จึงส่งผลให้เกิดความยุ่งยากและสิ้นเปลืองเวลา ดังนั้นการเลือกใช้เกณฑ์การล้าของ Dang Van ซึ่งอยู่บนพื้นฐานการพิจารณาการล้าแบบหลายแกน (Multiaxial) ในการวิเคราะห์การล้าที่เกิดจากการกลิ้งสัมผัส จึงเป็นแนวทางที่มีความเหมาะสม

3.6 ระเบียบวิธีไฟไนต์เอลิเมนต์

หลักการของระเบียบวิธีไฟไนต์เอลิเมนต์จะเริ่มต้นจากการนำเอาโดเมนของปัญหาที่สนใจมาแบ่งเป็นโดเมนย่อยหรือเอลิเมนต์ (Element) จากนั้น พิจารณาเอลิเมนต์ที่ละเอลิเมนต์ โดยทำการสร้างสมการสำหรับแต่ละเอลิเมนต์ซึ่งมีความสอดคล้องกับสมการเชิงอนุพันธ์ของปัญหาที่กำลังศึกษาอยู่ จากนั้นจึงนำสมการของแต่ละเอลิเมนต์ที่สร้างขึ้นมาประกอบกันเป็นระบบสมการชุดใหญ่ ในลักษณะเดียวกับการนำทุกเอลิเมนต์มาประกอบกันเข้าด้วยกันก่อให้เกิดรูปร่างลักษณะทั้งหมดของปัญหาที่แท้จริง จากนั้นจึงทำการกำหนดเงื่อนไขขอบเขตให้กับระบบสมการชุดใหญ่ แล้วจึงทำการแก้สมการดังกล่าว ซึ่งก่อให้เกิดผลเฉลยโดยประมาณที่ต้องการ ณ ตำแหน่งต่าง ๆ ของปัญหานั้น จากคำอธิบายจะเห็นได้ว่า ความแม่นยำของค่าผลเฉลยโดยประมาณที่คำนวณออกมาได้นั้นจะขึ้นอยู่กับขนาดและจำนวนของเอลิเมนต์ที่ใช้ในการแก้ปัญหานั้น และรูปแบบของฟังก์ชันในการประมาณค่า (Interpolation functions) ที่ใช้กับแต่ละเอลิเมนต์ ซึ่งในการแก้ปัญหาดังกล่าวด้วยระเบียบวิธีไฟไนต์เอลิเมนต์จะนิยมใช้โปรแกรมสำเร็จรูปโดยอาศัยหลักการตามที่ได้กล่าวมาข้างต้นเพื่อลดระยะเวลาในการคำนวณ โดยสามารถแบ่งขั้นตอนในการแก้ปัญหาดังกล่าวออกเป็น 3 ขั้นตอนหลัก คือ กระบวนการก่อนประมวลผล กระบวนการประมวลผล และกระบวนการหลังประมวลผล ดังแสดงในรูปที่ 3.38



รูปที่ 3.38 ขั้นตอนการแก้ปัญหาดังกล่าวด้วยระเบียบวิธีไฟไนต์เอลิเมนต์โดยทั่วไป

เอกสารนี้เป็นเอกสารที่สงวนไว้สำหรับการใช้งานเพื่อการศึกษาเท่านั้น ไม่อนุญาตให้นำไปใช้ประโยชน์ด้านการค้าไม่ว่ากรณีใดๆ ทั้งสิ้น อีกทั้งห้ามมิให้ตัดแปลงเนื้อหา และต้องอ้างอิงถึงเจ้าของเอกสารทุกครั้งที่มีการนำไปใช้

บทที่ 4

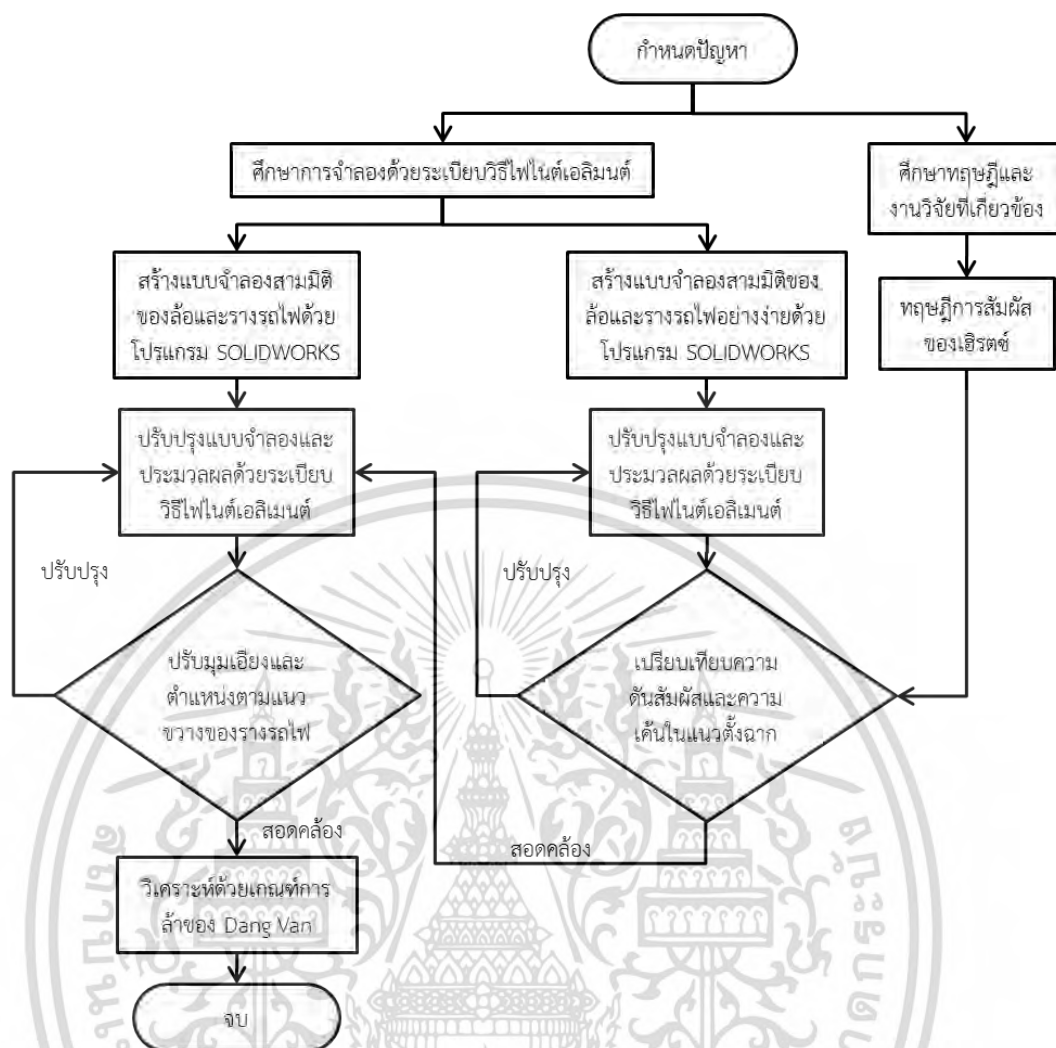
วิธีดำเนินการวิจัย

4.1 บทนำ

งานวิจัยนี้จะศึกษาแนวโน้มของตำแหน่งการเกิดการล้าของล้อและรางรถไฟภายใต้การสัมผัสกลิ้งด้วยระยะเบียดวิธีไฟไนต์เอลิเมนต์ ซึ่งใช้รูปร่างของล้อและรางรถไฟที่มีการใช้งานในโครงการรถไฟฟ้าสายสีม่วง ช่วงบางใหญ่ – บางซื่อ ในการสร้างแบบจำลองสามมิติ พร้อมทั้งกำหนดเงื่อนไขขอบเขตในการวิเคราะห์ เช่น คุณสมบัติทางวัสดุ น้ำหนักคดพลา มุมเอียงราง ให้มีลักษณะสอดคล้องกับสภาพความเป็นจริงมากที่สุด โดยจะพิจารณาและเปรียบเทียบผลกระทบที่เกิดขึ้นเมื่อล้อมีการเปลี่ยนแปลงตำแหน่งตามแนวขวางของรางรถไฟ

สำหรับขั้นตอนและรายละเอียดในการดำเนินการวิจัยจะเริ่มจากการสร้างแบบจำลองสามมิติของล้อและรางรถไฟอย่างง่ายด้วยโปรแกรม SOLIDWORKS แล้วทำการวิเคราะห์ด้วยระยะเบียดวิธีไฟไนต์เอลิเมนต์ เพื่อตรวจสอบความถูกต้องของแบบจำลอง โดยทำการเปรียบเทียบค่าความดันสัมผัสและความเค้นในแนวตั้งฉากที่ได้จากแบบจำลองกับผลลัพธ์ที่ได้จากการคำนวณตามทฤษฎีการสัมผัสของเฮิร์ตซ์ จากนั้นจึงทำการปรับปรุงรูปร่างของล้อและรางรถไฟให้สอดคล้องกับรูปร่างของล้อและรางรถไฟที่ใช้ในโครงการรถไฟฟ้าสายสีม่วง ช่วงบางใหญ่ – บางซื่อ พร้อมทั้งกำหนดให้ล้อมีการเปลี่ยนแปลงตำแหน่งตามแนวขวางของรางรถไฟ เพื่อศึกษาและเปรียบเทียบความเค้นต่าง ๆ ที่เกิดขึ้นจากการสัมผัสกลิ้งในแต่ละตำแหน่ง จากนั้นจึงนำความเค้นที่ได้ไปวิเคราะห์แนวโน้มการเกิดการล้าด้วยเกณฑ์การล้าของ Dang Van โดยขั้นตอนทั้งหมดของงานวิจัยนี้สามารถแสดงได้ดังรูปที่

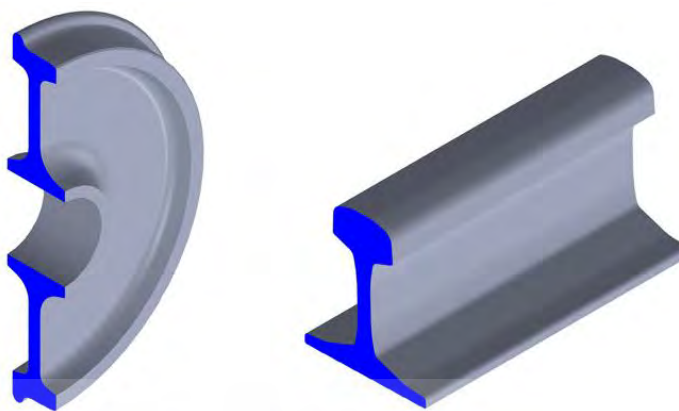
4.1



รูปที่ 4.1 แผนภาพแสดงขั้นตอนการดำเนินงาน

4.2 การตรวจสอบความถูกต้องของแบบจำลอง

ในการตรวจสอบความถูกต้องของแบบจำลอง การสัมผัสระหว่างล้อและรางรถไฟในงานวิจัยนี้จะเริ่มจากการสร้างแบบจำลองสามมิติของล้อและรางรถไฟอย่างง่าย กล่าวคือ รูปร่างของล้อจะมีการเปลี่ยนแปลงรัศมีความในบริเวณพื้นล้อที่มีการสัมผัสกับรางรถไฟไม่มากนัก โดยใช้โปรแกรม SOLIDWORKS ดังแสดงในรูปที่ 4.2



รูปที่ 4.2 แบบจำลองสามมิติของล้อและรางรถไฟอย่างง่าย

จากนั้นทำการวิเคราะห์แบบจำลองสามมิติดังกล่าวด้วยระเบียบวิธีไฟไนต์เอลิเมนต์ พร้อมทั้งกำหนดเงื่อนไขขอบเขตของแบบจำลองให้ใกล้เคียงกับแบบจ ส่องที่ใช้ในการทดลอง ที่ตำแหน่งที่มีแนวโน้มเกิดการล้า เช่น น้ำหนักกดเพลลาที่กระทบกับล้อ และตำแหน่งในการยึดรางรถไฟ เป็นต้น ดังแสดงในรูปที่ 4.3



รูปที่ 4.3 เงื่อนไขขอบเขตในการตรวจสอบแบบจำลอง

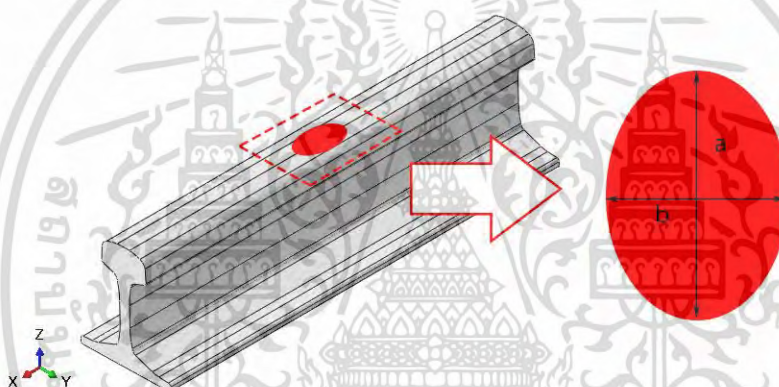
ทำการเปรียบเทียบระยะของพื้นที่สัมผัสตามแนวแกน x ระยะของพื้นที่สัมผัสตามแนวแกน y และค่าความดันสัมผัสสูงสุด ที่ได้จากการวิเคราะห์ด้วยระเบียบวิธีไฟไนต์เอลิเมนต์กับผลลัพธ์ที่ได้จากการคำนวณด้วยทฤษฎีการสัมผัสของเฮิร์ตซ์ ตามสมการที่ (3.1) สมการที่ (3.2) และสมการที่ (3.9) ตามลำดับ ดังแสดงในตารางที่ 4.1

เอกสารนี้เป็นเอกสารที่สงวนไว้สำหรับการใช้งานเพื่อการศึกษาเท่านั้น ไม่อนุญาตให้นำไปใช้ประโยชน์ด้านการค้าไม่ว่ากรณีใดๆ ทั้งสิ้น อีกทั้งห้ามมิให้ดัดแปลงเนื้อหา และต้องอ้างอิงถึงเจ้าของเอกสารทุกครั้งที่มีการนำไปใช้

ตารางที่ 4.1 ระยะของพื้นที่สัมผัสและความดันสัมผัสสูงสุดตามทฤษฎีการสัมผัสของเฮิร์ตซ์

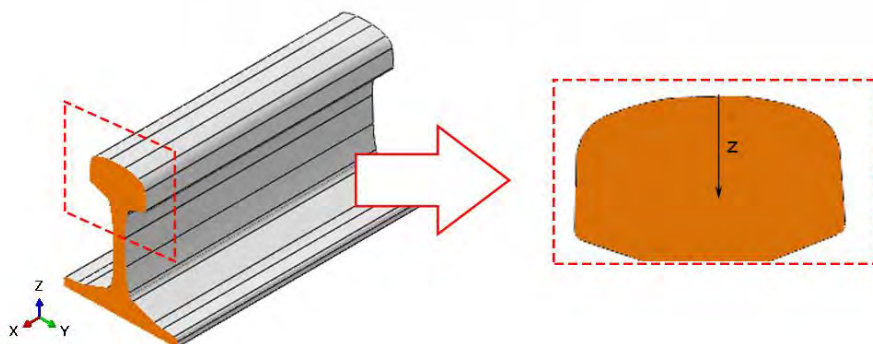
รายการคำนวณ	ผลลัพธ์ตามทฤษฎีการสัมผัสของเฮิร์ตซ์
ระยะของพื้นที่สัมผัสตามแนวแกน x (a)	6.53 mm
ระยะของพื้นที่สัมผัสตามแนวแกน y (b)	5.13 mm
ความดันสัมผัสสูงสุด (p_0)	1152.53 MPa

หากการเปรียบเทียบการกระจายตัวของความดันสัมผัสที่ได้จากการวิเคราะห์ด้วยระเบียบวิธีไฟไนต์เอลิเมนต์ของรางรถไฟที่ตำแหน่งต่าง ๆ ตามระยะของพื้นที่สัมผัสตามแนวแกน x และแนวแกน y ดังแสดงในรูปที่ 4.4 กับผลลัพธ์ที่ได้จากการคำนวณด้วยการประยุกต์ใช้ทฤษฎีการสัมผัสของเฮิร์ตซ์ตามสมการที่ (3.8) ดังแสดงในตารางที่ 4.2



รูปที่ 4.4 ความดันสัมผัสที่ใช้ในการตรวจสอบแบบจ สอง

นอกจากนี้ทำการเปรียบเทียบความเค้นในแนวแกน z ของรางรถไฟที่ระยะต่าง ๆ ที่ได้จาก การวิเคราะห์ด้วยระเบียบวิธีไฟไนต์เอลิเมนต์ ดังแสดงในรูปที่ 4.5 กับผลลัพธ์ที่ได้จากการคำนวณด้วยการประยุกต์ใช้ทฤษฎีการสัมผัสของเฮิร์ตซ์ตามสมการที่ (3.10) ดังแสดงในตารางที่ 4.3



รูปที่ 4.5 ความเค้นในแนวแกน z ที่ระยะต่าง ๆ

เอกสารนี้เป็นเอกสารที่สงวนไว้สำหรับการใช้งานเพื่อการศึกษาเท่านั้น ไม่นับญาติให้นำไปใช้ประโยชน์ด้านการค้า ไม่ว่ากรณีใดๆ ทั้งสิ้น อีกทั้งห้ามมิให้ตัดแปลงเนื้อหา และต้องอ้างอิงถึงเจ้าของเอกสารทุกครั้งที่มีการนำไปใช้

ตารางที่ 4.2 ความดันสัมผัสจากการคานตามทฤษฎีการสัมผัสของเฮิร์ตซ์

ระยะตามแนวแกน x (mm)	ความดันสัมผัสตามแนวแกน x (MPa)	ระยะตามแนวแกน y (mm)	ความดันสัมผัสตามแนวแกน y (MPa)
5	741.31	5	254.20
4	910.99	4	720.80
3	1023.70	3	934.55
2	1097.14	2	1061.19
1	1138.93	1	1130.39
0	1152.53	0	1152.53
-1	1138.93	-1	1130.39
-2	1097.14	-2	1061.19
-3	1023.70	-3	934.55
-4	910.99	-4	720.80
-5	741.31	-5	254.20

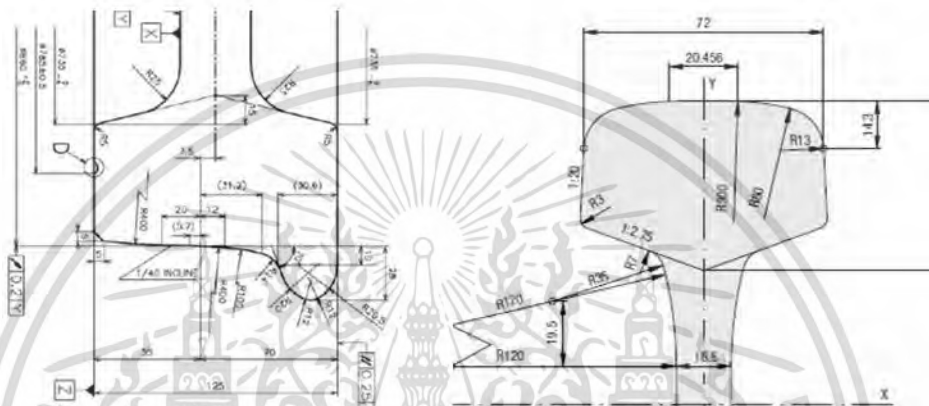
ตารางที่ 4.3 ความเค้นในแนวแกน z ที่ระยะต่าง ๆ

ระยะตามแนวแกน z (mm)	ความเค้นในแนวแกน z (MPa)
0	-1152.53
-1	-1118.17
-2	-1026.63
-3	-903.89
-4	-774.83
-5	-655.08
-6	-551.28
-7	-464.50
-8	-393.20
-9	-334.99
-10	-287.46

เอกสารนี้เป็นเอกสารที่สงวนไว้สำหรับการใช้งานเพื่อการศึกษาเท่านั้น ไม่อนุญาตให้นำไปใช้ประโยชน์ด้านการค้า
ไม่ว่ากรณีใดๆ ทั้งสิ้น อีกทั้งห้ามมิให้ตัดแปลงเนื้อหา และต้องอ้างอิงถึงเจ้าของเอกสารทุกครั้งที่มีการนำไปใช้

4.3 การสร้างแบบจำลองสามมิติของล้อและรางรถไฟ

การสร้างแบบจำลองสามมิติของล้อและรางรถไฟในงานวิจัยนี้จะอาศัยข้อมูลรูปร่างของล้อและรางรถไฟที่มีการใช้งานในโครงการรถไฟฟ้าสายสีม่วง ช่วงบางใหญ่ – บางซื่อ ดังแสดงในรูปที่ 4.6 ด้วยโปรแกรม SOLIDWORKS โดยกำหนดให้แกน x เป็นแนวที่รถไฟมีการเคลื่อนที่ แกน y เป็นแนวด้านข้างของรถไฟ และแกน z เป็นแนวตามความสูงของรถไฟ ซึ่งในการสร้างแบบจำลองสามมิติจะแบ่งเป็นขั้นตอนหลัก 2 ขั้นตอน ดังนี้



รูปที่ 4.6 รูปร่างของล้อและรางรถไฟในโครงการรถไฟฟ้าสายสีม่วง ช่วงบางใหญ่ – บางซื่อ [26]

4.3.1 การสร้างแบบจำลองสามมิติของล้อ

ในการสร้างแบบจำลองสามมิติของล้อจะเริ่มจากการสร้างรูปร่างสองมิติในระนาบ $y-z$ โดยกำหนดให้ล้อมีรัศมีวัดจากจุดกึ่งกลางของเพลจนถึงพื้นล้อเท่ากับ 430 mm และเนื่องจากรูปร่างของล้อมีความสมมาตร จึงสามารถใช้คำสั่ง Revolve หน้าตัด 360° รอบแกน y เพื่อสร้างแบบจำลองสามมิติของล้อ ดังแสดงในรูปที่ 4.7

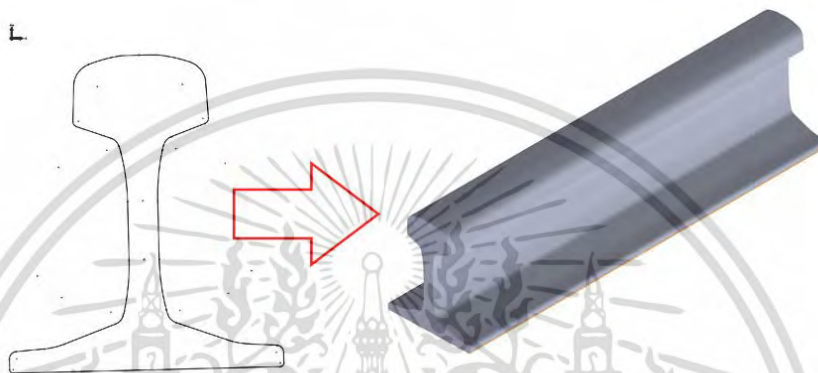


รูปที่ 4.7 การสร้างแบบจำลองสามมิติของล้อ

เอกสารนี้เป็นเอกสารที่สงวนไว้สำหรับการใช้งานเพื่อการศึกษาเท่านั้น ไม่อนุญาตให้นำไปใช้ประโยชน์ด้านการค้าไม่ว่ากรณีใดๆ ทั้งสิ้น อีกทั้งห้ามมิให้ตัดแปลงเนื้อหา และต้องอ้างอิงถึงเจ้าของเอกสารทุกครั้งที่มีการนำไปใช้

4.3.2 การสร้างแบบจำลองสามมิติของรางรถไฟ

ในการสร้างแบบจำลองสามมิติของรางรถไฟจะเริ่มจากการสร้างรูปร่างสองมิติในระนาบ $y-z$ เช่นเดียวกับการสร้างแบบจำลองสามมิติของล้อ โดยกำหนดให้รางรถไฟมีความยาว 650 mm ซึ่งเป็นระยะห่างระหว่างหมอนรองรางรถไฟ และเนื่องจากรูปร่างของรางรถไฟมีความสมมาตร จึงสามารถใช้คำสั่ง Extrude หน้าตัดในแนวแกน x เพื่อสร้างแบบจำลองสามมิติของรางรถไฟ ดังแสดงในรูปที่ 4.8



รูปที่ 4.8 การสร้างแบบจำลองสามมิติของรางรถไฟ

4.4 การจำลองการสัมผัสสลักลิ้งระหว่างล้อและรางรถไฟ

งานวิจัยนี้จะจำลองการสัมผัสสลักลิ้งระหว่างล้อและรางรถไฟด้วยระเบียบวิธีไฟไนต์เอลิเมนต์ โดยเริ่มจากการนำแบบจำลองสามมิติที่สร้างด้วยโปรแกรม SOLIDWORKS ตามข้อ 4.3 มาทำการวิเคราะห์ด้วยระเบียบวิธีไฟไนต์เอลิเมนต์ โดยกำหนดเงื่อนไขขอบเขตต่าง ๆ ให้กับแบบจำลองการสัมผัสของล้อและรางรถไฟ เพื่อวิเคราะห์ความเค้นต่าง ๆ ที่เกิดขึ้น ซึ่งมีรายละเอียดในแต่ละขั้นตอนดังนี้

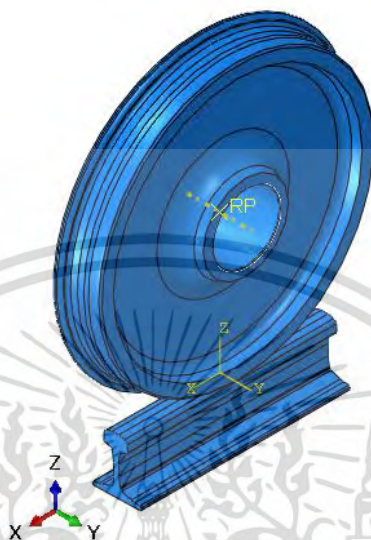
4.4.1 การนำแบบจำลองของล้อและรางรถไฟเข้าสู่กระบวนการวิเคราะห์ด้วยระเบียบวิธีไฟไนต์เอลิเมนต์

การนำแบบจำลองสามมิติของล้อและรางรถไฟสามมิติที่สร้างด้วยโปรแกรม SOLIDWORKS เข้าสู่กระบวนการวิเคราะห์ด้วยระเบียบวิธีไฟไนต์เอลิเมนต์ สามารถดำเนินการได้โดยใช้เครื่องมือภายในโปรแกรม ซึ่งช่วยให้มีความสะดวกในการทำงานมากยิ่งขึ้น

4.4.2 การปรับปรุงแบบจำลองและกำหนดคุณสมบัติทางวัสดุ

เมื่อนำแบบจำลองสามมิติของล้อและรางรถไฟที่ได้จากโปรแกรม SOLIDWORKS เข้าสู่กระบวนการวิเคราะห์ด้วยระเบียบวิธีไฟไนต์เอลิเมนต์เสร็จเรียบร้อยแล้ว จึงทำการสร้างแบบจำลองสามมิติของเพลมาเป็นแบบ 3D Analytic rigid shell ซึ่งมีลักษณะเป็นวัตถุแข็งเกร็ง และกำหนดเอกสารนี้เป็นเอกสารทศวงนวิสาสำหรับการใช้งานเพื่อการศึกษาเท่านั้น เมื่อนุญาตให้เนาไปใช้ประโยชน์ด้านการศึกษาไม่ว่ากรณีใดๆ ทั้งสิ้น อีกทั้งห้ามมิให้ตัดแปลงเนื้อหา และต้องอ้างอิงถึงเจ้าของเอกสารทุกครั้งที่มีการนำไปใช้

ตำแหน่งของแบบจำลองต่าง ๆ ให้มีลักษณะเช่นเดียวกับสภาพความเป็นจริง กล่าวคือ กำหนดให้เพลามีการยึดติดกับคูล้อ และพื้นล้อตั้งอยู่บนหัวราง พร้อมทั้งกำหนดให้ตำแหน่งกึ่งกลางของเพลาก็คือ ตำแหน่งอ้างอิง (RP) ดังแสดงในรูปที่ 4.9



รูปที่ 4.9 ตำแหน่งของแบบจำลองสามมิติของล้อและรางรถไฟ

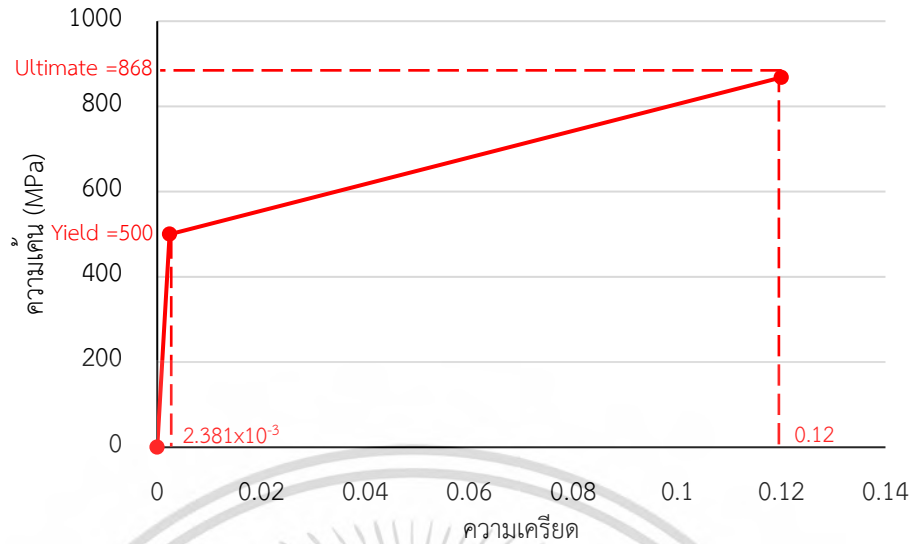
จากนั้นทำการกำหนดคุณสมบัติทางวัสดุของแบบจำลอง โดยกำหนดให้ล้อเป็นโลหะชนิด SSW-Q3S ตามมาตรฐาน JIS E 5402 และรางรถไฟเป็นโลหะชนิด R260 ตามมาตรฐาน EN 13674 ซึ่งมีการใช้งานในโครงการรถไฟฟ้าสายสีม่วง ช่วงบางใหญ่ – บางซื่อ ประกอบกับข้อมูลเพิ่มเติมจากงานวิจัยที่มีการศึกษาเกี่ยวข้องกับวัสดุดังกล่าว [5] โดยมีรายละเอียดดังแสดงในตารางที่ 4.4

ตารางที่ 4.4 แสดงคุณสมบัติทางวัสดุของล้อและรางรถไฟ

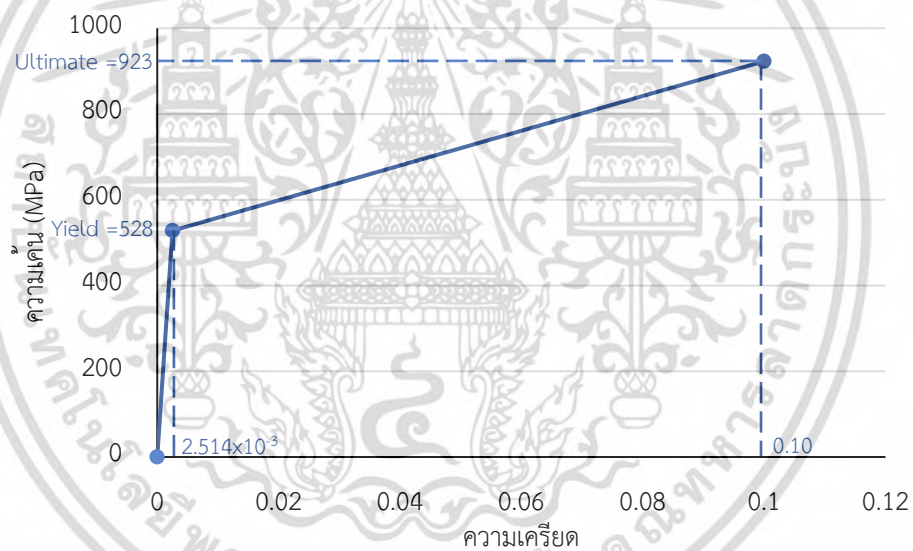
คุณสมบัติทางวัสดุ	ล้อ	รางรถไฟ
ชนิดโลหะ	SSW-Q3S	R260
มาตรฐาน	JIS E 5402	EN 13674
Young's modulus; E	210×10^3 MPa	210×10^3 MPa
Yield stress; σ_y	500 MPa	528 MPa
Poisson's ratio; ν	0.25	0.25

นอกจากนี้ กำหนดให้วัสดุของแบบจำลองมีคุณสมบัติการเปลี่ยนรูปแบบพลาสติก ดังแสดงในรูปที่ 4.10 และรูปที่ 4.11

เอกสารนี้เป็นเอกสารที่สงวนไว้สำหรับการใช้งานเพื่อการศึกษาเท่านั้น ไม่อนุญาตให้นำไปใช้ประโยชน์ด้านการค้าไม่ว่ากรณีใดๆ ทั้งสิ้น อีกทั้งห้ามมิให้ตัดแปลงเนื้อหา และต้องอ้างอิงถึงเจ้าของเอกสารทุกครั้งที่มีการนำไปใช้



รูปที่ 4.10 คุณสมบัติทางวัสดุของล้อยู



รูปที่ 4.11 คุณสมบัติทางวัสดุของรางรถไฟ

โดย

$$\varepsilon_{total} = \varepsilon_{elastic} + \varepsilon_{plastic} \quad (4.1)$$

$$\varepsilon_{total} = \left(\frac{\sigma}{E} \right)_{elastic} + \varepsilon_{plastic} \quad (4.2)$$

ดังนั้น

$$\varepsilon_{plastic} = \varepsilon_{total} - \left(\frac{\sigma}{E} \right)_{elastic} \quad (4.3)$$

เอกสารนี้เป็นเอกสารที่สงวนไว้สำหรับการใช้งานเพื่อการศึกษาเท่านั้น ไม่อนุญาตให้นำไปใช้ประโยชน์ด้านการค้า
ไม่ว่ากรณีใดๆ ทั้งสิ้น อีกทั้งห้ามมิให้ตัดแปลงเนื้อหา และต้องอ้างอิงถึงเจ้าของเอกสารทุกครั้งที่มีการนำไปใช้

จากการพิจารณาสมการที่ (4.3) ทำให้สามารถคำนวณความเครียดพลาสติกได้ ดังนั้น จึงกำหนดให้คุณสมบัติการเปลี่ยนรูปแบบพลาสติกของแบบจำลองเป็นแบบ Hardening ชนิด Isotropic โดยมีรายละเอียดดังแสดงในตารางที่ 4.5

ตารางที่ 4.5 แสดงคุณสมบัติการเปลี่ยนรูปแบบพลาสติกของล้อและรางรถไฟ

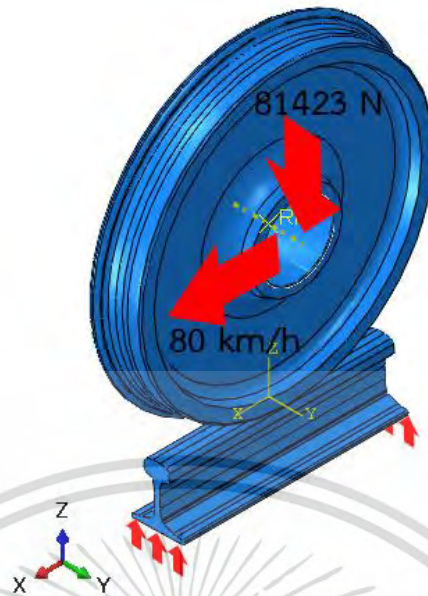
ล้อ		รางรถไฟ	
Stress	Plastic stain	Stress	Plastic stain
500 MPa	0	528 MPa	0
868 MPa	0.1176	923 MPa	0.0974

4.4.3 การกำหนดเงื่อนไขขอบเขตของแบบจำลอง

การกำหนดเงื่อนไขขอบเขตของแบบจำลองการสัมผัสกลิ้งระหว่างล้อและรางรถไฟในงานวิจัยนี้จะกำหนดให้แบบจำลองสามมิติของล้อถูกกระทำด้วยน้ำหนักดเพลลาขนาด 81,423 นิวตัน ในทิศทางตามแนวแกน z โดยอ้างอิงจากข้อกำหนดในการออกแบบขบวนรถไฟฟ้าในโครงการรถไฟฟ้าสายสีม่วง ช่วงบางใหญ่ – บางซื่อ ในขณะที่ผู้โดยสารมีความหนาแน่น 8 คน/m² (W4) พร้อมทั้งกำหนดให้มีการกลิ้งไปบนรางรถไฟตามแนวแกน x ด้วยอัตราเร็วคงที่ 80 km/h โดยล้อมีเส้นผ่านศูนย์กลาง 860 mm ดังนั้นจึงสามารถคำนวณความเร็วเชิงมุมได้เท่ากับ 51.68 rad/s ซึ่งเป็นความเร็วสูงสุดตามข้อกำหนดการออกแบบ ทั้งนี้ในการกลิ้งของล้อจะปราศจากแรงขับเคลื่อน และมีความเร่งเป็นศูนย์

กำหนดให้แบบจำลองสามมิติของรางรถไฟซึ่งมีความยาว 650 mm ถูกยึดติดบริเวณหัวและท้ายไม่ให้มีการเคลื่อนที่ทั้งในแนวแกน x แนวแกน y และแนวแกน z ในลักษณะเดียวกับการติดตั้งด้วยเครื่องยึดเหนี่ยวบนหมอนรองรางรถไฟ

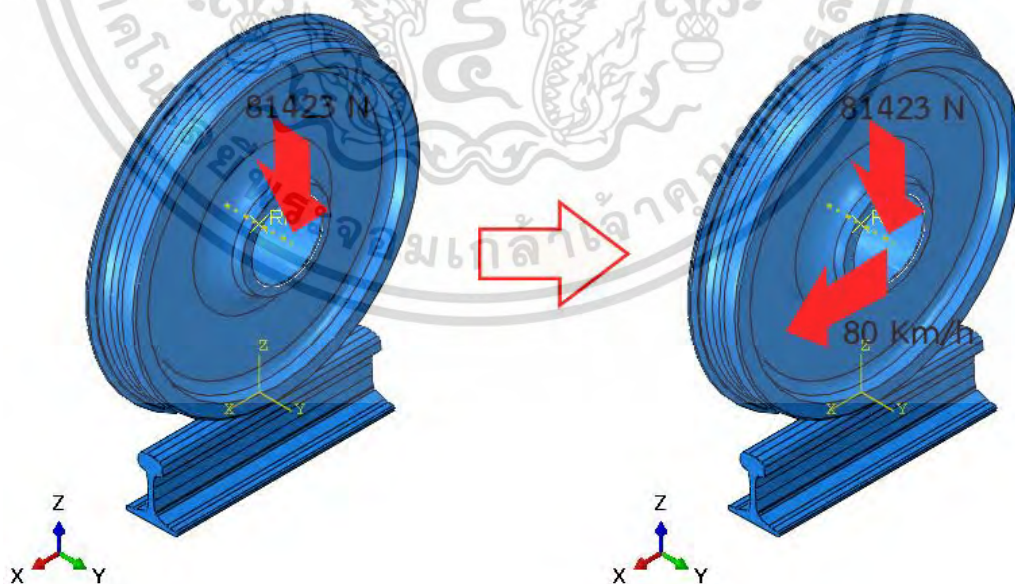
นอกจากนี้ กำหนดปฏิสัมพันธ์ระหว่างแบบจำลองสามมิติของล้อและรางรถไฟเป็นแบบ Surface to surface contact โดยล้อเป็น Slave surface และรางรถไฟเป็น Master surface พร้อมทั้งกำหนดคุณสมบัติในการสัมผัสเป็นแบบ Friction formulation ชนิด Penalty โดยมีสัมประสิทธิ์ความเสียดทานเท่ากับ 0.3 ซึ่งมีการอ้างอิงจากงานวิจัยที่มีการศึกษาการสัมผัสระหว่างล้อและรางรถไฟ [8] ทั้งนี้เงื่อนไขขอบเขตต่าง ๆ ที่กำหนดให้กับแบบจำลองการสัมผัสระหว่างล้อและรางรถไฟ จะแสดงในรูปที่ 4.12



รูปที่ 4.12 เส้นไขว้ขอบเขตของแบบจำลองล้อและรางรถไฟ

4.4.4 การกำหนดขั้นตอนการสัมผัสคลิ้งของแบบจำลอง

ในการกำหนดขั้นตอนการสัมผัสระหว่างแบบจำลองสามมิติของล้อและรางรถไฟ จะเริ่มจากแบบจำลองสามมิติของล้อมีการเคลื่อนที่ในแนวแกน z ในทิศทาง $-z$ ด้วยน้ำหนักกดเพลลาขนาด 81,423 นิวตัน จนสัมผัสกับแบบจำลองสามมิติของรางรถไฟ จากนั้นจึงมีการคลิ้งไปตามแนวแกน x ในทิศทาง $+x$ ด้วยความเร็วคงที่ 80 km/h (ความเร็วเชิงมุม 51.68 rad/s) ดังแสดงในรูปที่ 4.13

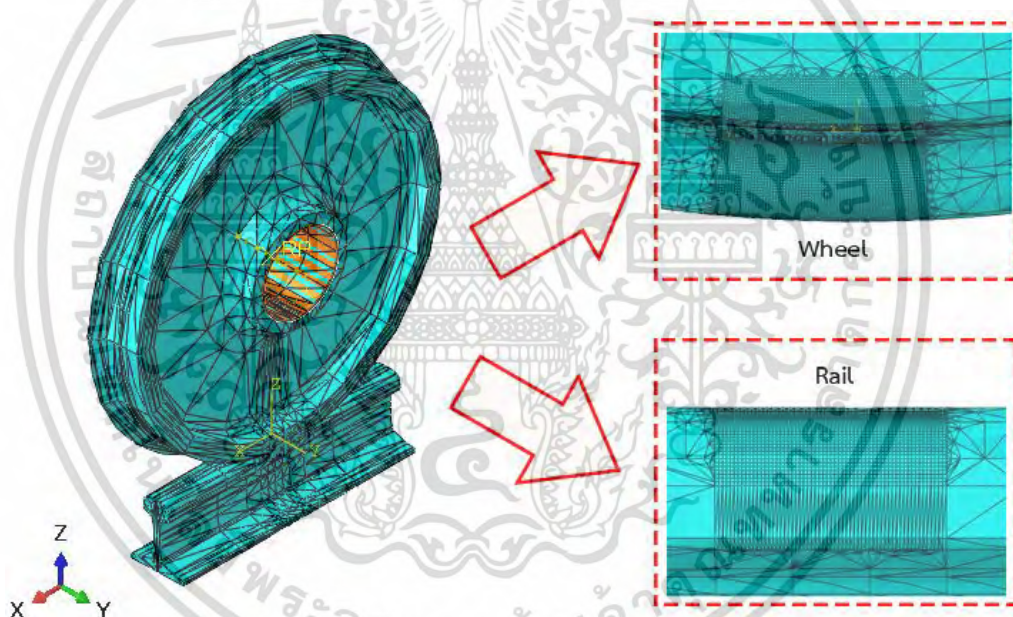


รูปที่ 4.13 ขั้นตอนการสัมผัสของแบบจำลอง

เอกสารนี้เป็นเอกสารที่สงวนไว้สำหรับการใช้งานเพื่อการศึกษาเท่านั้น ไม่อนุญาตให้นำไปใช้ประโยชน์ด้านการค้าไม่ว่ากรณีใดๆ ทั้งสิ้น อีกทั้งห้ามมิให้ตัดแปลงเนื้อหา และต้องอ้างอิงถึงเจ้าของเอกสารทุกครั้งที่มีการนำไปใช้

4.4.5 การกำหนดเอลิเมนต์ให้แบบจำลอง

การกำหนดเอลิเมนต์ให้กับแบบจำลองสามมิติของล้อและรางรถไฟจะเริ่มจากการแบ่งแบบจำลองออกเป็น ส่วน ๆ ในลักษณะที่มีความสมมาตรกันเพื่อให้สามารถกำหนดเอลิเมนต์ให้กับส่วนต่าง ๆ ของแบบจำลองได้อย่างเหมาะสม กล่าวคือ ในบริเวณที่ต้องการพิจารณาความเค้นที่เกิดจากการสัมผัสระหว่างล้อและรางรถไฟจะกำหนดเอลิเมนต์ให้มีความละเอียดกว่าบริเวณอื่น เพื่อความแม่นยำของผลลัพธ์ รวมถึงลดระยะเวลาในการการคำนวณ โดยจะกำหนดให้เอลิเมนต์ในบริเวณที่มีการสัมผัสกันเป็นแบบทรงหกหน้า (Hexahedron) ขนาด 1 mm ซึ่งเอลิเมนต์ชนิดดังกล่าวให้ผลลัพธ์จากการสัมผัสระหว่างล้อและรางรถไฟสอดคล้องกับทฤษฎีการสัมผัสของเฮิร์ตซ์ และในบริเวณอื่นที่ห่างจากบริเวณที่มีการสัมผัสซึ่งไม่ส่งผลกระทบต่อผลลัพธ์ที่ต้องการพิจารณาจะกำหนดให้เอลิเมนต์เป็นแบบทรงสี่หน้า (Tetrahedron) ขนาด 150 mm ดังแสดงในรูปที่ 4.14 ซึ่งมีรายละเอียดแสดงในตารางที่ 4.6



รูปที่ 4.14 เอลิเมนต์ของแบบจำลอง

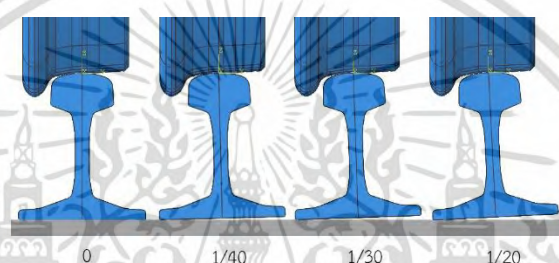
ตารางที่ 4.6 จำนวนเอลิเมนต์ในแต่ละแบบจำลอง

แบบจำลอง	จำนวนจุดต่อ	จำนวนเอลิเมนต์
ล้อ	174,947	129,042
รางรถไฟ	108,473	81,499
รวมทั้งหมด	283,420	210,541

เอกสารนี้เป็นเอกสารที่สงวนไว้สำหรับการใช้งานเพื่อการศึกษาเท่านั้น ไม่อนุญาตให้นำไปใช้ประโยชน์ด้านการค้าไม่ว่ากรณีใดๆ ทั้งสิ้น อีกทั้งห้ามมิให้ตัดแปลงเนื้อหา และต้องอ้างอิงถึงเจ้าของเอกสารทุกครั้งที่มีการนำไปใช้

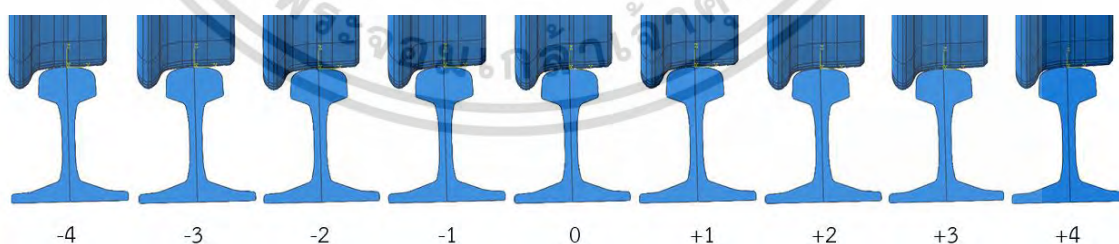
4.4.6 การกำหนดมุมเอียงและตำแหน่งของล้อตามแนวขวางของรางรถไฟ

การกำหนดมุมเอียง (Rail inclination) และตำแหน่งของล้อตามแนวขวางของรางรถไฟ (Lateral displacement) ในแบบจำลองสามมิติของล้อและรางรถไฟ เพื่อเปรียบเทียบผลกระทบจากมุมเอียงและการเปลี่ยนแปลงตำแหน่งตามแนวขวางของรางรถไฟต่อความเค้นที่เกิดขึ้นจากการสัมผัสกลิ้ง จะดำเนินการโดยการสร้างแบบจำลองของรางรถไฟที่มีมุมเอียงต่างกันจำนวน 4 แบบจำลอง ประกอบด้วยมุมเอียง 0, 1/40, 1/30 และ 1/20 ดังแสดงในรูปที่ 4.15 ซึ่งมุมเอียงเหล่านี้มีการใช้งานแตกต่างกันในแต่ละประเทศ แต่สำหรับในโครงการรถไฟสายสีม่วง ช่วงบางใหญ่ – บางซื่อ ใช้รางรถไฟที่มีมุมเอียง 1/40 ดังนั้น การเปรียบเทียบผลกระทบจากมุมเอียง จึงอาจใช้เป็นแนวทางในออกแบบรางรถไฟในโครงการระบบขนส่งทางรางอื่น ๆ ต่อไป



รูปที่ 4.15 แบบจำลองที่มีมุมเอียงของรางรถไฟต่าง ๆ

จากนั้นกำหนดให้แบบจำลองสามมิติของล้อมีการเปลี่ยนแปลงตำแหน่งตามแนวขวางของรางรถไฟโดยเริ่มจากกรณีที่ตำแหน่งกึ่งกลางของแบบจำลองสามมิติของล้อตรงกับตำแหน่งกึ่งกลางของรางรถไฟ จากนั้นจึงกำหนดให้แบบจำลองสามมิติของล้อมีการเปลี่ยนแปลงตำแหน่งตามแนวขวางของรางรถไฟ หรือตามแนวแกน y ไปยังตำแหน่งต่าง ๆ รวมทั้งสิ้น 9 ตำแหน่ง ได้แก่ -4, -3, -2, -1, 0, +1, +2, +3 และ +4 ดังแสดงในรูปที่ 4.16



รูปที่ 4.16 การเปลี่ยนแปลงตำแหน่งตามแนวขวางของรางรถไฟ

4.4.7 การพิจารณาผลลัพธ์จากแบบจำลอง

การพิจารณาผลลัพธ์จากแบบจำลองจะดำเนินการโดยการเปรียบเทียบความดันสัมผัส พื้นที่สัมผัส ความเค้น Tresca และความเค้น von - Mises ของแบบจำลองในแต่ละกรณี เพื่อศึกษาการเปลี่ยนแปลงที่เกิดขึ้นเนื่องจากการสัมผัสกลิ้งระหว่างแบบจำลองสามมิติของล้อและรางรถไฟในแต่ละเอกสารนี้เป็นเอกสารที่สงวนไว้สำหรับการใช้งานเพื่อการศึกษาเท่านั้น ไม่อนุญาตให้นำไปเผยแพร่โดยไม่ผ่านการพิจารณาไม่ว่ากรณีใดๆ ทั้งสิ้น อีกทั้งห้ามมิให้ตัดแปลงเนื้อหา และต้องอ้างอิงถึงเจ้าของเอกสารทุกครั้งที่มีการนำไปใช้

ตแหน่งตามแนวขวางของรางรถไฟ จากนั้นจะพิจารณาความเค้น Tresca และความเค้นในแนวแกน x , y และ z ที่เกิดขึ้นในแต่ละจุดต่อของแบบจำลอง เพื่อใช้เป็นข้อมูลในการวิเคราะห์ตแหน่งที่มีแนวโน้มเกิดการล้าด้วยเกณฑ์การล้าของ Dang Van ต่อไป

4.5 การวิเคราะห์ตแหน่งที่มีแนวโน้มเกิดการล้าด้วยเกณฑ์การล้าของ Dang Van

การวิเคราะห์ตแหน่งที่มีแนวโน้มเกิดการล้าด้วยเกณฑ์การล้าของ Dang Van จะดำเนินการโดยพิจารณาอัตราส่วนความเค้น Dang Van ตามสมการที่ (3.44) ซึ่งเป็นการเปรียบเทียบค่าความเค้นตามเกณฑ์การล้าของ Dang Van ซึ่งคำนวณจากสมการที่ (3.40) กับขีดจำกัดการล้าจากการบิด t_∞ หากอัตราส่วนความเค้น Dang Van ที่ตแหน่งใด ๆ มีค่ามากกว่า 1 แสดงว่า ตแหน่งดังกล่าวจะมีการล้าเกิดขึ้น

ในงานวิจัยนี้จะคำนวณค่าความเค้นไฮโดรสแตติก (σ^H) ของแต่ละจุดต่อในแบบจำลองตามสมการที่ (3.41) จากความเค้นในแนวแกน x , y และ z รวมถึงพิจารณาความเค้น Tresca ของแต่ละจุดต่อในแบบจำลองจากค่าความเค้น Tresca นอกจากนี้จะคำนวณค่าตัวแปร a ตามสมการที่ (3.42) โดยกำหนดให้ขีดจำกัดการล้าจากการบิด (The fatigue limit in alternating torsion) มีค่าเท่ากับ 270 MPa และขีดจำกัดการล้าจากการดัด (The fatigue limit in alternating bending) มีค่าเท่ากับ 460 MPa โดยอ้างอิงจากงานวิจัยที่เกี่ยวข้อง [4]

บทที่ 5

ผลการวิจัยและวิเคราะห์ผล

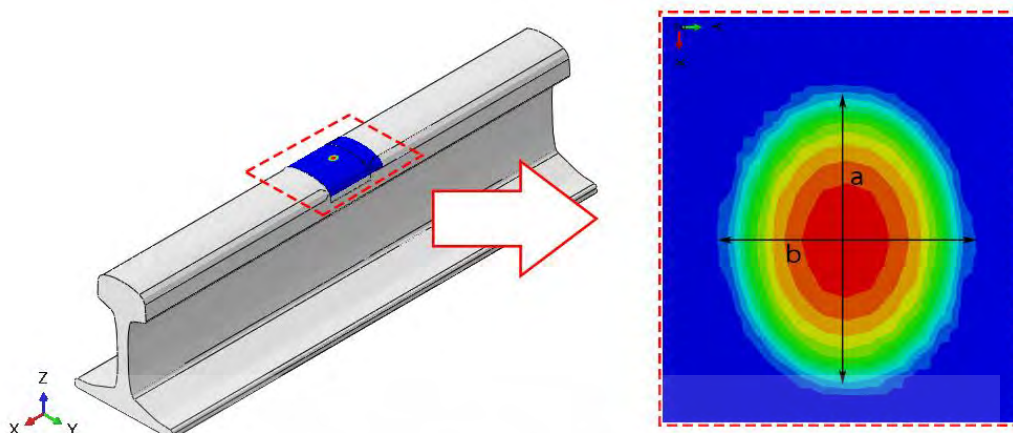
ในการศึกษาวิเคราะห์การล้าของล้อและรางรถไฟภายใต้การสัมผัสกับแรงเสียดทานด้วยวิธีไฟไนต์เอลิเมนต์ สามารถแบ่งผลลัพธ์ที่ได้ออกเป็นส่วนใหญ่ ๆ คือ ผลการตรวจสอบความถูกต้องของแบบจำลองการสัมผัสระหว่างล้อและรางรถไฟ ความเค้นที่เกิดขึ้นกับล้อและรางรถไฟภายใต้การสัมผัสกับแรงเสียดทาน เมื่อมีการเปลี่ยนแปลงตำแหน่งการสัมผัสตามแนวขวางของรางรถไฟ ความเค้นที่เกิดขึ้นกับล้อและรางรถไฟภายใต้การสัมผัสกับแรงเสียดทาน เมื่อมีการเปลี่ยนแปลงมุมเอียงราง และผลวิเคราะห์ตำแหน่งที่มีแนวโน้มเกิดการล้าตามเกณฑ์การล้าของ Dang Van ซึ่งจะมีการแสดงรายละเอียดในบทนี้

5.1 การศึกษาผลการตรวจสอบความถูกต้องของแบบจำลอง

การตรวจสอบความถูกต้องของแบบจำลองการสัมผัสระหว่างล้อและรางรถไฟ ด้วยค่าความดันสัมผัสสูงสุด ระยะของพื้นที่สัมผัส รูปแบบการกระจายตัวของความดันสัมผัส รวมถึงความเค้นในแนวแกน z ที่ระยะต่าง ๆ ที่ได้จากการวิเคราะห์ด้วยวิธีไฟไนต์เอลิเมนต์เปรียบเทียบกับผลลัพธ์ที่ได้จากการคำนวณตามทฤษฎีการสัมผัสของเฮิร์ตซ์ถือเป็นข้อมูลที่มีความสำคัญ จึงต้องมีการปรับแก้ไขทั้งการสร้างแบบจำลองสามมิติ วิธีการคำนวณ และการกำหนดคุณสมบัติทางวัสดุของแบบจำลองเพื่อให้ได้ผลลัพธ์ที่มีความสอดคล้องตามทฤษฎี ก่อนนำไปประยุกต์ใช้กับแบบจำลองที่มีความซับซ้อน โดยผลลัพธ์จากแบบจำลองดังกล่าวเมื่อนำไปเปรียบเทียบกับผลลัพธ์ที่ได้จากการคำนวณตามทฤษฎีการสัมผัสของเฮิร์ตซ์จะสามารถแสดงได้ดังนี้

5.1.1 ระยะของพื้นที่สัมผัสและความดันสัมผัสสูงสุด

จากการพิจารณาระยะของพื้นที่สัมผัสตามแนวแกน x ระยะของพื้นที่สัมผัสตามแนวแกน y และความดันสัมผัสสูงสุดที่ได้จากการวิเคราะห์ด้วยวิธีไฟไนต์เอลิเมนต์ ดังแสดงในรูปที่ 5.1 เปรียบเทียบผลลัพธ์ดังกล่าวกับผลลัพธ์ที่ได้จากการคำนวณตามทฤษฎีการสัมผัสของเฮิร์ตซ์ซึ่งแสดงในตารางที่ 4.1 จะพบว่า ระยะของพื้นที่สัมผัสตามแนวแกน x มีความคลาดเคลื่อนร้อยละ 6.8 ระยะของพื้นที่สัมผัสตามแนวแกน y มีความคลาดเคลื่อนร้อยละ 0.3 และความดันสัมผัสสูงสุดมีความคลาดเคลื่อนร้อยละ 0.1 ดังแสดงในตารางที่ 5.1



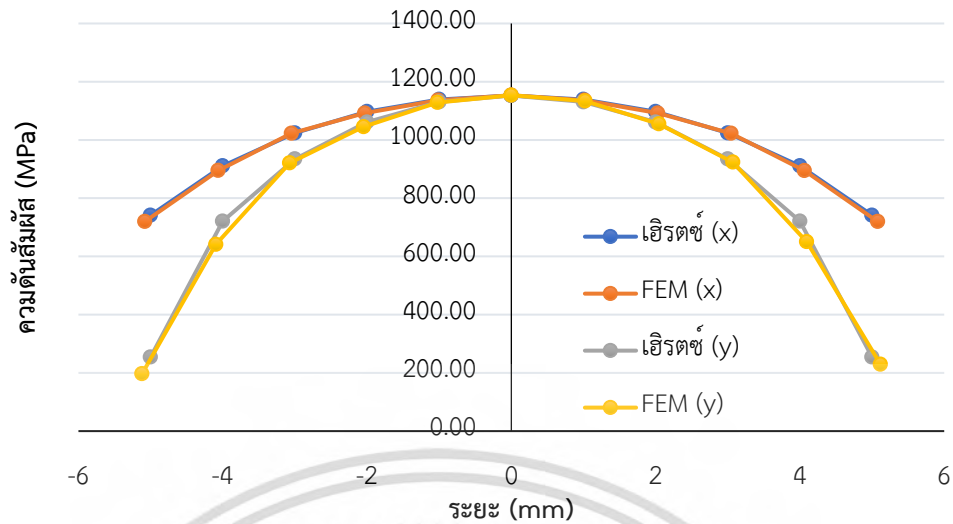
รูปที่ 5.1 ความดันสัมผัสที่ได้จากแบบจล ของที่ใช้ตรวจสอบ

ตารางที่ 5.1 การเปรียบเทียบระยะของพื้นที่สัมผัสและความดันสัมผัสสูงสุด

รายการคำนวณ	ทฤษฎีการสัมผัส ของเฮิร์ตซ์	ระเบียบวิธี ไฟไนต์เอลิเมนต์	ร้อยละ ความคลาด เคลื่อน
ระยะของพื้นที่สัมผัสตามแนวแกน x (a)	6.53 mm	6.09 mm	6.81
ระยะของพื้นที่สัมผัสตามแนวแกน y (b)	5.13 mm	5.11 mm	0.30
ความดันสัมผัสสูงสุด (p_0)	1152.53 MPa	1153.55 MPa	0.09

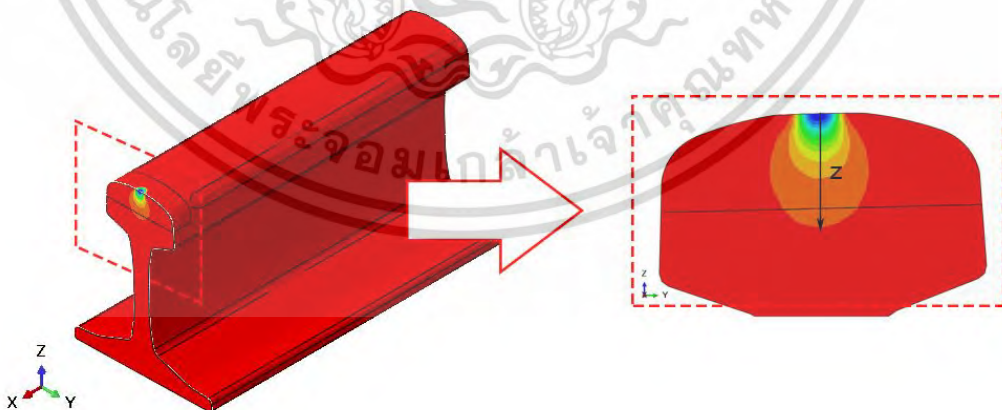
5.1.2 การกระจายตัวของความดันสัมผัสและความเค้นในแนวแกน z

จากการพิจารณาการกระจายตัวของความดันสัมผัสภายในบริเวณที่แบบจำลองสามมิติของล้อสัมผัสกับรางรถไฟที่ได้จากการวิเคราะห์ด้วยระเบียบวิธีไฟไนต์เอลิเมนต์ พบว่า ความดันสัมผัสจะมีค่าสูงสุดในบริเวณกึ่งกลางของพื้นที่สัมผัสซึ่งมีค่าเท่ากับ 1153.55 MPa และจะมีค่าลดลงตามระยะของพื้นที่สัมผัสทั้งในแนวแกน x และแนวแกน y ที่เพิ่มขึ้น หากเปรียบเทียบผลลัพธ์ที่ได้จากการวิเคราะห์ด้วยระเบียบวิธีไฟไนต์เอลิเมนต์ กับผลลัพธ์ที่ได้จากการคำนวณตามทฤษฎีการสัมผัสของเฮิร์ตซ์ในตารางที่ 4.2 จะพบว่า การกระจายตัวของความดันสัมผัสมีรูปแบบที่ใกล้เคียงกัน ดังแสดงในรูปที่ 5.2

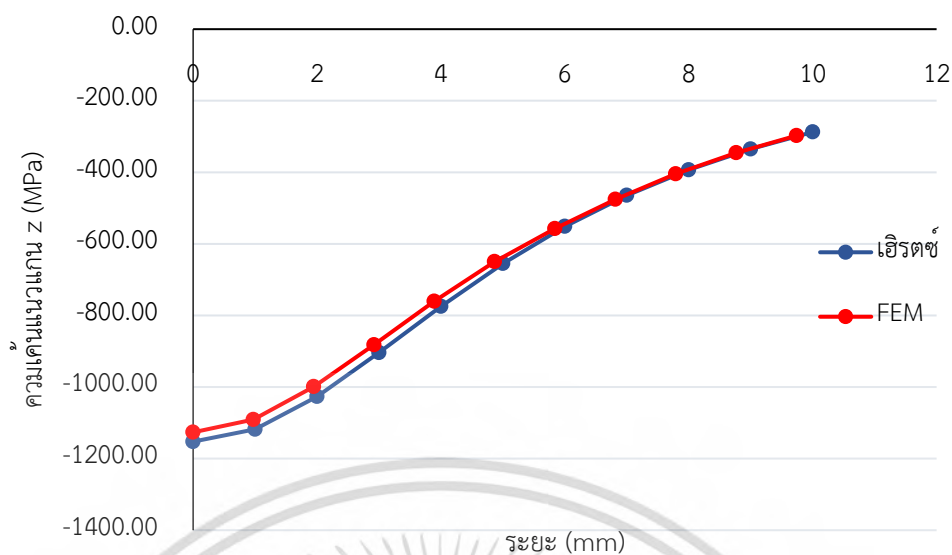


รูปที่ 5.2 กราฟเปรียบเทียบการกระจายตัวของความดันสัมผัส

นอกจากนี้หากพิจารณาการกระจายตัวของความเค้นในแนวแกน z ที่เกิดขึ้นในแบบจำลองสามมิติของรางรถไฟใต้บริเวณพื้นที่สัมผัส ที่ได้จากการวิเคราะห์ด้วยระเบียบวิธีไฟไนต์เอลิเมนต์ พบว่า ความเค้นในแนวแกน z จะมีค่าลดลงเมื่อระยะความลึกในแนวแกน z เพิ่มขึ้น โดยจะมีค่าสูงสุดเท่ากับ 1126.49 MPa ที่ผิวแบบจำลองสามมิติของรางรถไฟ ($z = 0$) ดังแสดงในรูปที่ 5.3 และเมื่อนำผลลัพธ์ดังกล่าวเปรียบเทียบกับผลลัพธ์ที่ได้จากการคำนวณตามทฤษฎีการสัมผัสของเอิร์ตซ์ดังแสดงในตารางที่ 4.3 พบว่า การกระจายตัวของความเค้นในแนวแกน z มีรูปแบบที่ใกล้เคียงกัน ดังแสดงในรูปที่ 5.4

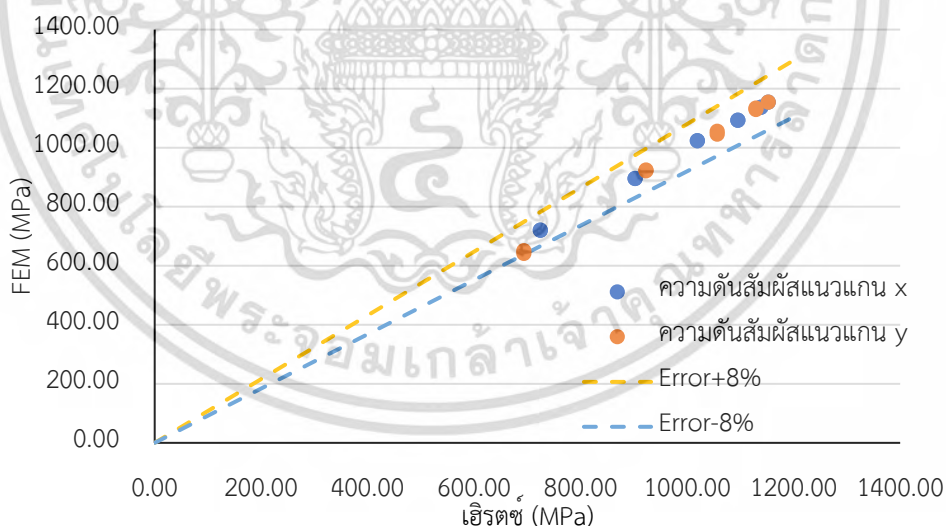


รูปที่ 5.3 ความเค้นในแนวแกน z ได้จากแบบจำลองที่ใช้ตรวจสอบ



รูปที่ 5.4 กราฟเปรียบเทียบการกระจายตัวของความเค้นในแนวแกน z

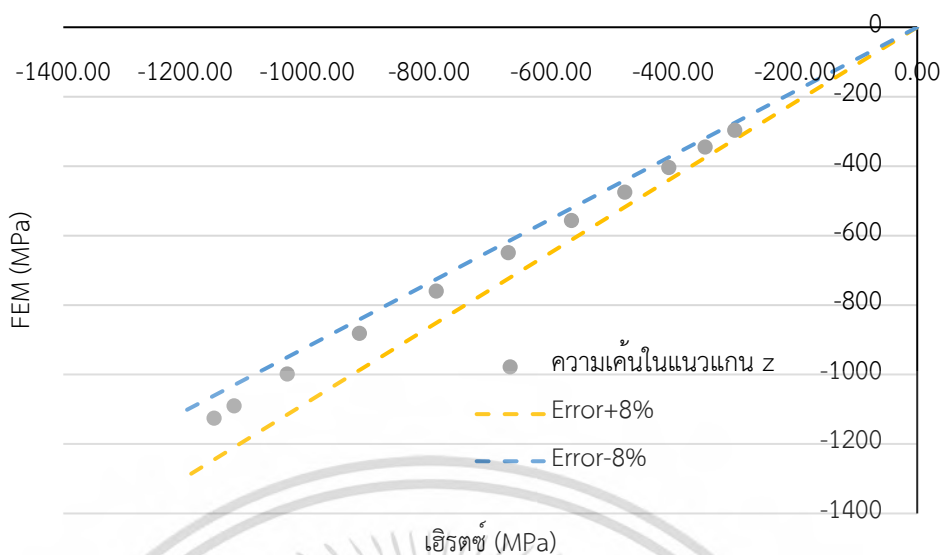
หากพิจารณาความคลาดเคลื่อนของความตึงสัมผัสในแนวแกน x และ y ที่ได้จากการคำนวณตามทฤษฎีการสัมผัสของเฮิร์ตซ์กับการวิเคราะห์ด้วยระเบียบวิธีไฟไนต์เอลิเมนต์ พบว่าผลลัพธ์มีความคลาดเคลื่อนไม่เกินร้อยละ 8 ดังแสดงในรูปที่ 5.5



รูปที่ 5.5 กราฟเปรียบเทียบความคลาดเคลื่อนความตึงสัมผัสจากทฤษฎีการสัมผัสของเฮิร์ตซ์กับการวิเคราะห์ด้วยระเบียบวิธีไฟไนต์เอลิเมนต์

นอกจากนี้ หากพิจารณาความคลาดเคลื่อนของความเค้นในแนวแกน z ที่ได้จากการคำนวณตามทฤษฎีการสัมผัสของเฮิร์ตซ์กับการวิเคราะห์ด้วยระเบียบวิธีไฟไนต์เอลิเมนต์ พบว่าผลลัพธ์มีความคลาดเคลื่อนไม่เกินร้อยละ 8 ดังแสดงในรูปที่ 5.6

เอกสารนี้เป็นเอกสารที่สงวนไว้สำหรับการใช้งานเพื่อการศึกษาเท่านั้น ไม่นอนุญาตให้นำไปใช้ประโยชน์ด้านการค้า ไม่ว่ากรณีใดๆ ทั้งสิ้น อีกทั้งห้ามมิให้ตัดแปลงเนื้อหา และต้องอ้างอิงถึงเจ้าของเอกสารทุกครั้งที่มีการนำไปใช้



รูปที่ 5.6 กราฟเปรียบเทียบความคลาดเคลื่อนความเค้นในแนวแกน z จากทฤษฎีการสัมผัสของเฮิร์ตซ์กับการวิเคราะห์ด้วยระเบียบวิธีไฟไนต์เอลิเมนต์

จากการพิจารณาผลการเปรียบเทียบระหว่างผลลัพธ์ที่ได้จากการวิเคราะห์ด้วยระเบียบวิธีไฟไนต์เอลิเมนต์ และผลลัพธ์ที่ได้จากการคำนวณตามทฤษฎีการสัมผัสของเฮิร์ตซ์ทั้งระยะของพื้นที่สัมผัสและความดันสัมผัสสูงสุด รวมถึงการกระจายตัวของความดันสัมผัสและความเค้นในแนวแกน z พบว่า ผลลัพธ์ของทั้งสองวิธีมีค่าและรูปแบบการกระจายตัวที่สอดคล้องกัน ดังนั้นหลักการในการจำลองการสัมผัสระหว่างล้อและรางรถไฟในหัวข้อนี้จึงสามารถใช้เป็นแนวทางในการสร้างแบบจำลองสามมิติสำหรับวิเคราะห์การล้าของล้อและรางรถไฟภายใต้การสัมผัสสกลิ่งด้วยระเบียบวิธีไฟไนต์เอลิเมนต์ได้

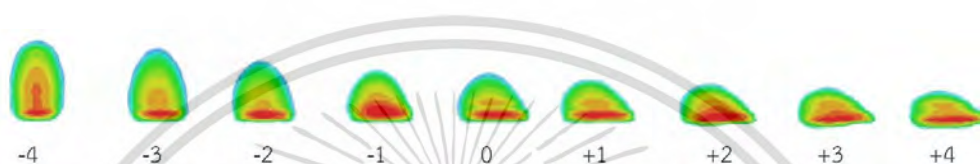
5.2 การศึกษาความเค้นจากการสัมผัสสกลิ่งของแบบจำลอง

การศึกษาความเค้นจากการสัมผัสสกลิ่งระหว่างแบบจำลองสามมิติของล้อและรางรถไฟที่ได้จากการวิเคราะห์ด้วยระเบียบวิธีไฟไนต์เอลิเมนต์ จะพิจารณาความดันสัมผัส ขนาดพื้นที่สัมผัส ความเค้น von Mises และความเค้น Tresca เพื่อเปรียบเทียบผลกระทบที่เกิดขึ้นเมื่อแบบจำลองสามมิติของล้อมีการเปลี่ยนแปลงตำแหน่งตามแนวขวางของรางรถไฟที่มีมุมเอียง $1/40$ จากนั้นจึงเปรียบเทียบผลกระทบที่เกิดขึ้นเมื่อแบบจำลองสามมิติของรางรถไฟมีการเปลี่ยนแปลงมุมเอียง โดยมีรายละเอียดดังนี้

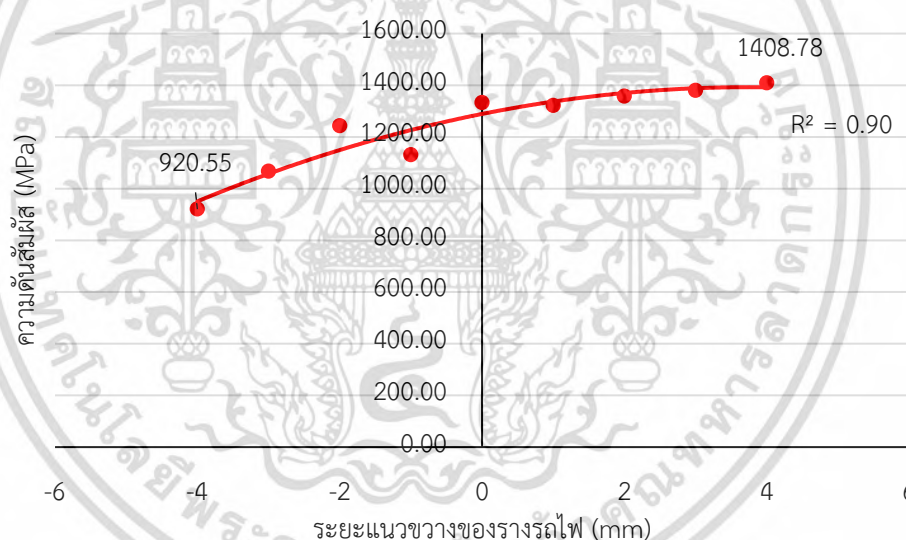
5.2.1 กรณีเปลี่ยนแปลงตำแหน่งตามแนวขวางของรางรถไฟที่มีมุมเอียง 1/40

5.2.1.1 ความดันสัมผัส

จากการพิจารณาความดันสัมผัสบริเวณผิวของแบบจาลองสามมิติของล้อและรางรถไฟที่มีมุมเอียง 1/40 พบว่า ความดันสัมผัสมีแนวโน้มเพิ่มขึ้นเมื่อแบบจาลองสามมิติของล้อมีการเปลี่ยนแปลงตำแหน่งจากด้าน Gauge side ไปยังด้าน Field side กล่าวคือ ความดันสัมผัสจะมีค่าต่ำสุดเท่ากับ 920.55 MPa เมื่อล้ออยู่ที่ตำแหน่ง -4 mm และจะมีค่าสูงสุดเท่ากับ 1408.78 MPa เมื่อล้ออยู่ที่ตำแหน่ง +4 mm ดังแสดงในรูปที่ 5.7 และรูปที่ 5.8



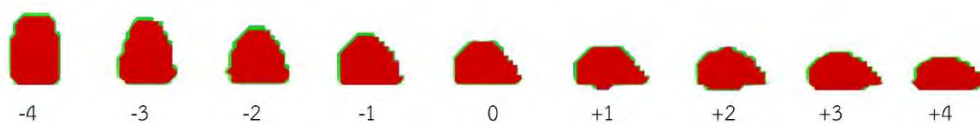
รูปที่ 5.7 ความดันสัมผัสที่ตำแหน่งต่าง ๆ ในกรณีที่รางรถไฟมีมุมเอียง 1/40



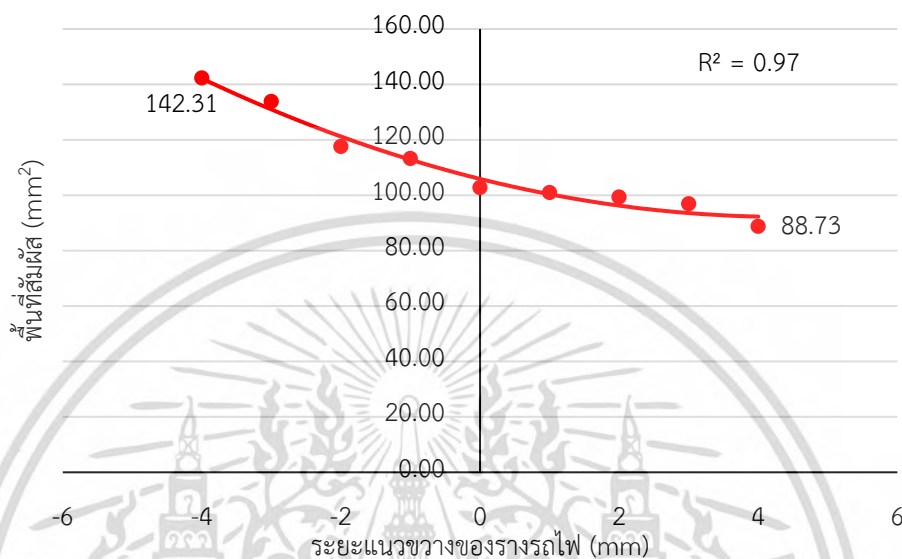
รูปที่ 5.8 กราฟเปรียบเทียบความดันสัมผัสสูงสุดในกรณีที่รางรถไฟมีมุมเอียง 1/40

5.2.1.2 พื้นที่สัมผัส

จากการพิจารณาพื้นที่สัมผัสของแบบจาลองสามมิติของล้อและรางรถไฟที่มีมุมเอียง 1/40 พบว่า ขนาดของพื้นที่สัมผัสจะมีแนวโน้มลดลงเมื่อแบบจาลองสามมิติของล้อมีการเปลี่ยนแปลงตำแหน่งจากด้าน Gauge side ไปยังด้าน Field side กล่าวคือ พื้นที่สัมผัสจะมีขนาดใหญ่ที่สุดเท่ากับ 142.31 mm² เมื่อล้ออยู่ที่ตำแหน่ง -4 mm และจะมีขนาดเล็กที่สุดเท่ากับ 88.73 mm² เมื่อล้ออยู่ที่ตำแหน่ง +4 mm ดังแสดงในรูปที่ 5.9 และรูปที่ 5.10



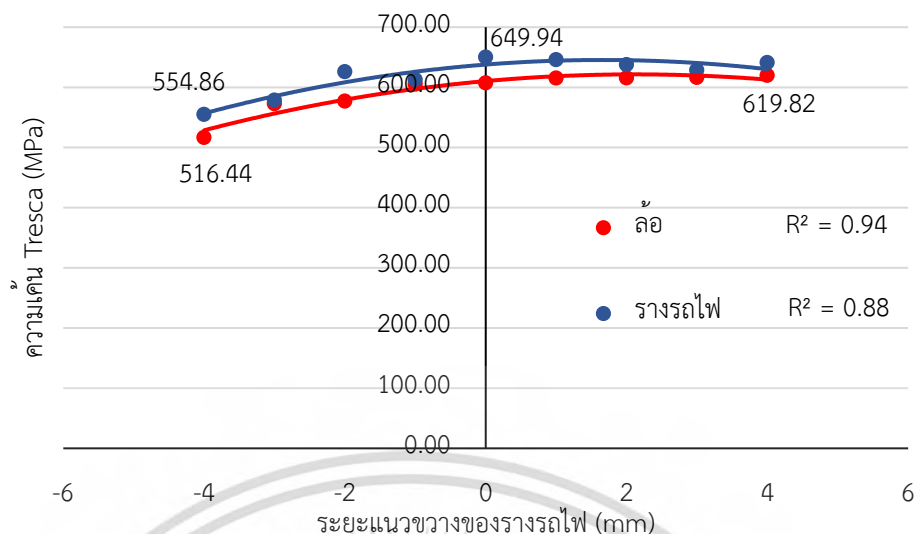
รูปที่ 5.9 พื้นที่สัมผัสที่ตำแหน่งต่าง ๆ ในกรณีที่รางรถไฟมีมุมเอียง 1/40



รูปที่ 5.10 กราฟเปรียบเทียบพื้นที่สัมผัส ในกรณีที่รางรถไฟมีมุมเอียง 1/40

5.2.1.3 ความเค้น Tresca

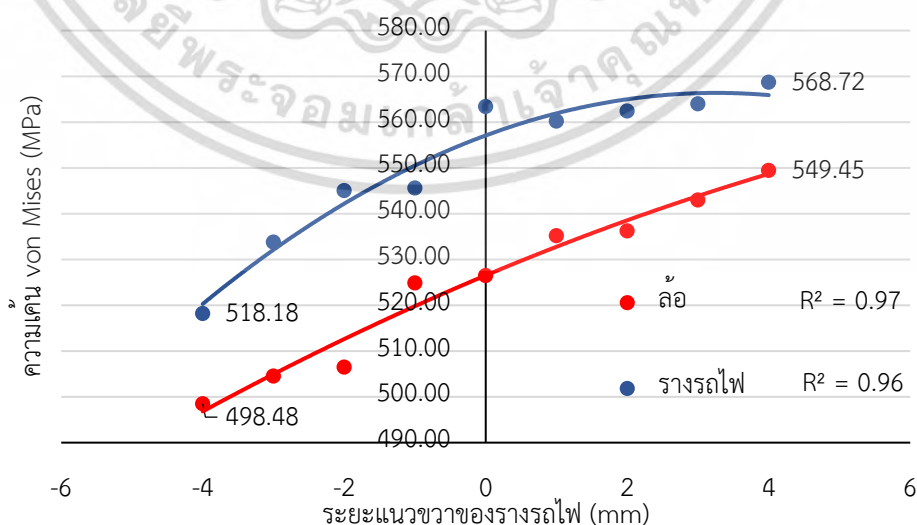
จากการพิจารณาความเค้น Tresca สูงสุดของแบบจำลองสามมิติของล้อและรางรถไฟที่มีมุมเอียงของรางรถไฟ 1/40 พบว่า ความเค้น Tresca สูงสุดที่ล้อและรางรถไฟมีแนวโน้มเพิ่มขึ้น เมื่อแบบจำลองสามมิติของล้อมีการเปลี่ยนแปลงตำแหน่งจากด้าน Gauge side ไปยังด้าน Field side กล่าวคือ ความเค้น Tresca สูงสุดของล้อจะมีค่าต่ำสุดเท่ากับ 516.44 MPa เมื่อล้ออยู่ที่ตำแหน่ง -4 mm และจะมีค่าสูงสุดเท่ากับ 619.82 MPa เมื่อล้ออยู่ที่ตำแหน่ง +4 mm และความเค้น Tresca สูงสุดของรางรถไฟจะมีค่าต่ำสุดเท่ากับ 544.86 MPa เมื่อล้ออยู่ที่ตำแหน่ง -4 mm และจะมีค่าสูงสุดเท่ากับ 649.94 MPa เมื่อล้ออยู่ที่ตำแหน่ง 0 mm ดังแสดงในรูปที่ 5.11



รูปที่ 5.11 กราฟเปรียบเทียบความเค้น Tresca ในกรณีที่รางรถไฟมีมุมเอียง 1/40

5.2.1.4 ความเค้น von Mises

จากการพิจารณาความเค้น von Mises สูงสุดของแบบจำลองสามมิติของล้อและรางรถไฟที่มีมุมเอียง 1/40 พบว่า ความเค้น von Mises สูงสุดที่ล้อและรางรถไฟมีแนวโน้มเพิ่มขึ้น เมื่อแบบจำลองสามมิติของล้อมีการเปลี่ยนแปลงตำแหน่งจากด้าน Gauge side ไปยังด้าน Field side กล่าวคือ ความเค้น von Mises สูงสุดของล้อจะมีค่าต่ำสุดเท่ากับ 498.48 MPa เมื่อล้ออยู่ที่ตำแหน่ง -4 mm และจะมีค่าสูงสุดเท่ากับ 549.45 MPa เมื่อล้ออยู่ที่ตำแหน่ง +4 mm และความเค้น von Mises สูงสุดของรางรถไฟจะมีค่าต่ำสุดเท่ากับ 518.18 MPa เมื่อล้ออยู่ที่ตำแหน่ง -4 mm และจะมีค่าสูงสุดเท่ากับ 568.72 MPa เมื่อล้ออยู่ที่ตำแหน่ง +4 mm ดังแสดงในรูปที่ 5.12



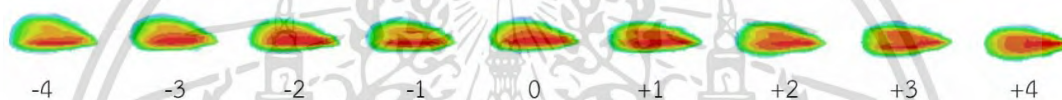
รูปที่ 5.12 กราฟเปรียบเทียบความเค้น von Mises ในกรณีที่รางรถไฟมีมุมเอียง 1/40

เอกสารนี้เป็นเอกสารที่สงวนไว้สำหรับการใช้งานเพื่อการศึกษาเท่านั้น ไม่อนุญาตให้นำไปใช้ประโยชน์ด้านการค้า ไม่ว่ากรณีใดๆ ทั้งสิ้น อีกทั้งห้ามมิให้ตัดแปลงเนื้อหา และต้องอ้างอิงถึงเจ้าของเอกสารทุกครั้งที่มีการนำไปใช้

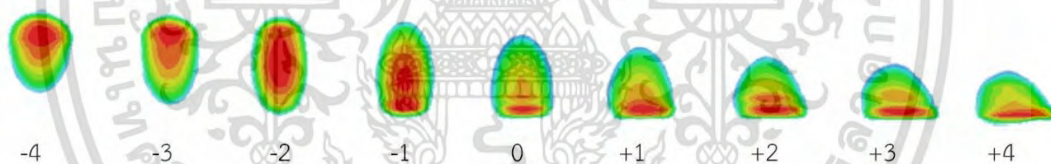
5.2.2 กรณีเปลี่ยนแปลงมุมเอียงของรางรถไฟ

5.2.2.1 ความดันสัมผัส

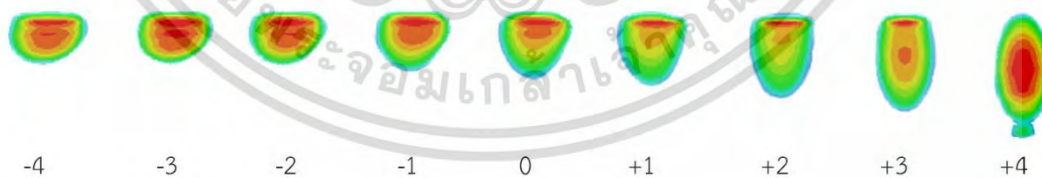
จากการพิจารณาความดันสัมผัสบริเวณผิวของแบบจ าลสสามมิติของล้อและรางรถไฟ พบว่า ความดันสัมผัสจะมีค่าเฉลี่ยสูงสุดในกรณีที่รางรถไฟไม่มีมุมเอียง โดยมีแนวโน้มการเปลี่ยนแปลงไม่มากนัก เมื่อแบบจำลองสามมิติของล้อมีการเปลี่ยนแปลงตำแหน่งจากด้าน Gauge side ไปยังด้าน Field side ดังแสดงในรูปที่ 5.13 และความดันสัมผัสจะมีค่าเฉลี่ยต่ำสุดในกรณีที่รางรถไฟมีมุมเอียง $1/30$ โดยมีแนวโน้มเพิ่มขึ้นเมื่อแบบจ าลสสามมิติของล้อมีการเปลี่ยนแปลงตำแหน่งจากด้าน Gauge side ไปยังด้าน Field side ดังแสดงในรูปที่ 5.14 เช่นเดียวกับกรณีที่รางรถไฟมีมุมเอียง $1/40$ ซึ่งแตกต่างจากกรณีที่รางรถไฟมีมุมเอียง $1/20$ ที่ความดันสัมผัสมีแนวโน้มลดลง ดังแสดงในรูปที่ 5.15 ทั้งนี้สามารถเปรียบเทียบความดันสัมผัสในแต่ละมุมเอียงได้ ดังแสดงในรูปที่ 5.16



รูปที่ 5.13 ความดันสัมผัสที่ตำแหน่งต่าง ๆ ในกรณีที่รางรถไฟไม่มีมุมเอียง

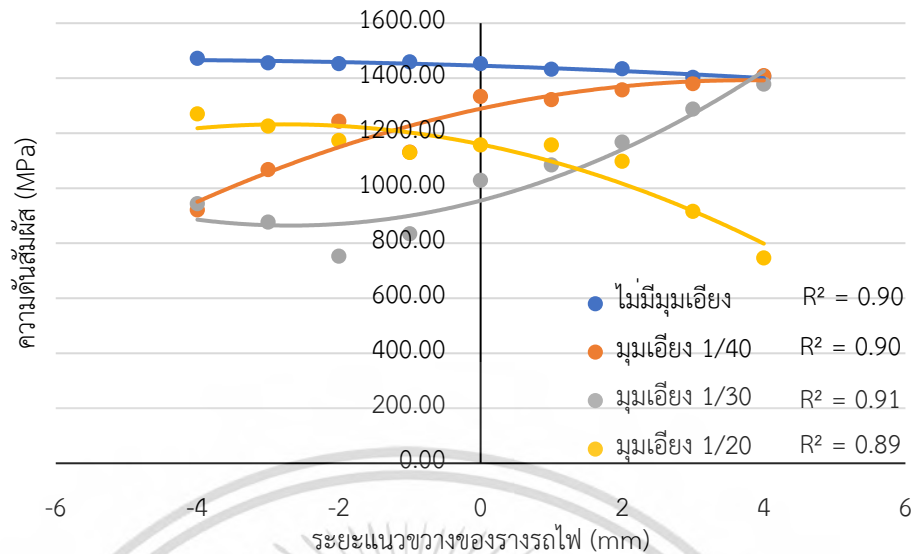


รูปที่ 5.14 ความดันสัมผัสที่ตำแหน่งต่าง ๆ ในกรณีที่รางรถไฟมีมุมเอียง $1/30$



รูปที่ 5.15 ความดันสัมผัสที่ตำแหน่งต่าง ๆ ในกรณีที่รางรถไฟมีมุมเอียง $1/20$

เอกสารนี้เป็นเอกสารที่สงวนไว้สำหรับการใช้งานเพื่อการศึกษาเท่านั้น ไม่อนุญาตให้นำไปใช้ประโยชน์ด้านการค้า ไม่ว่ากรณีใดๆ ทั้งสิ้น อีกทั้งห้ามมิให้ตัดแปลงเนื้อหา และต้องอ้างอิงถึงเจ้าของเอกสารทุกครั้งที่มีการนำไปใช้



รูปที่ 5.16 กราฟเปรียบเทียบความดันสัมผัส เมื่อมีการเปลี่ยนแปลงมุมเอียง

5.2.2.2 พื้นที่สัมผัส

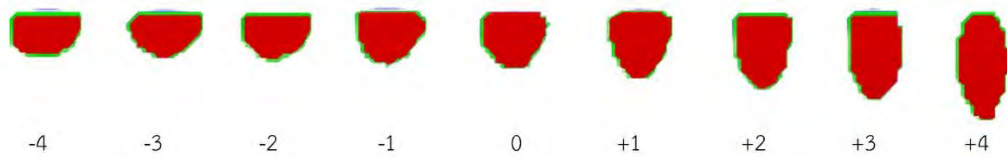
จากการพิจารณาพื้นที่สัมผัสของแบบจำลองสามมิติของล้อและรางรถไฟ พบว่า ขนาดของพื้นที่สัมผัสจะมีค่าเฉลี่ยต่ำสุดในกรณีที่รางรถไฟไม่มีมุมเอียง โดยมีแนวโน้มการเปลี่ยนแปลงไม่มากนัก เมื่อแบบจำลองสามมิติของล้อมีการเปลี่ยนแปลงตำแหน่งจากด้าน Gauge side ไปยังด้าน Field side ดังแสดงในรูปที่ 5.17 และขนาดของพื้นที่สัมผัสจะมีค่าเฉลี่ยสูงสุดในกรณีที่รางรถไฟมีมุมเอียง 1/30 โดยมีแนวโน้มลดลง เมื่อแบบจำลองสามมิติของล้อมีการเปลี่ยนแปลงตำแหน่งจากด้าน Gauge side ไปยังด้าน Field side ดังแสดงในรูปที่ 5.18 เช่นเดียวกับในกรณีที่รางรถไฟมีมุมเอียง 1/40 ซึ่งแตกต่างจากกรณีที่รางรถไฟมีมุมเอียง 1/20 ที่ขนาดของพื้นที่สัมผัสมีแนวโน้มเพิ่มขึ้น ดังแสดงในรูปที่ 5.19 ทั้งนี้สามารถเปรียบเทียบขนาดของพื้นที่สัมผัสในแต่ละมุมเอียงได้ดังแสดงในรูปที่ 5.20



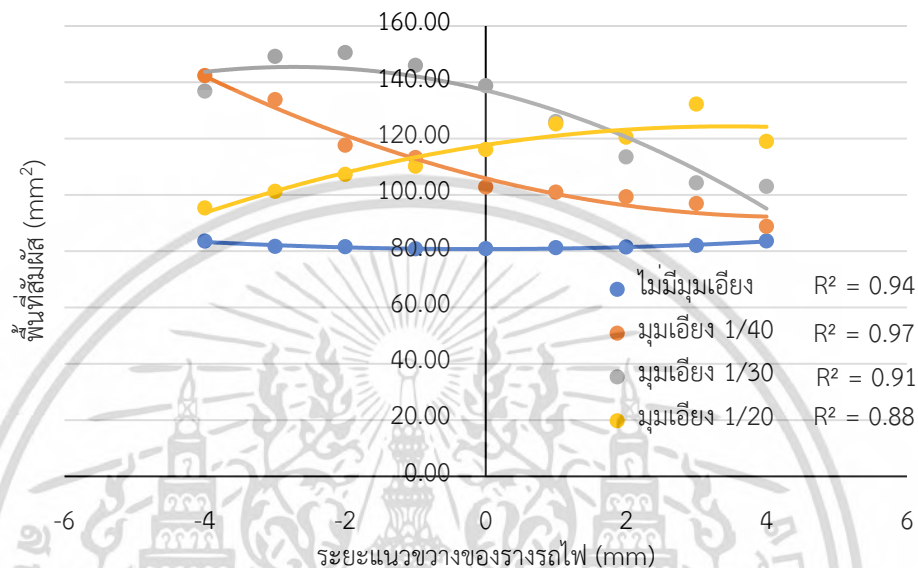
รูปที่ 5.17 พื้นที่สัมผัสที่ตำแหน่งต่าง ๆ ในกรณีที่รางรถไฟไม่มีมุมเอียง



รูปที่ 5.18 พื้นที่สัมผัสที่ตำแหน่งต่าง ๆ ในกรณีที่รางรถไฟมีมุมเอียง 1/30



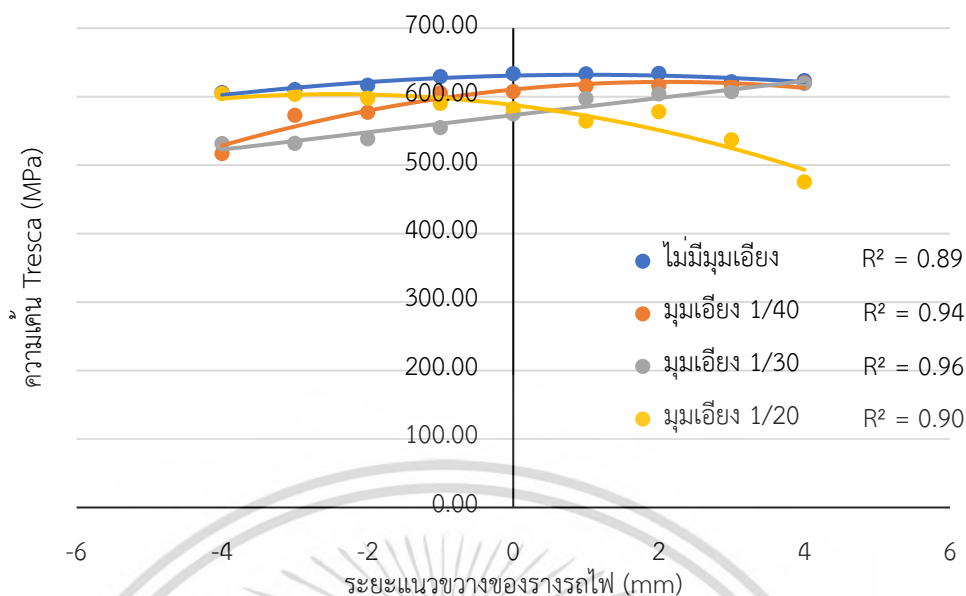
รูปที่ 5.19 ความดันสัมผัสที่ตำแหน่งต่าง ๆ ในกรณีที่รางรถไฟมีมุมเอียง 1/20



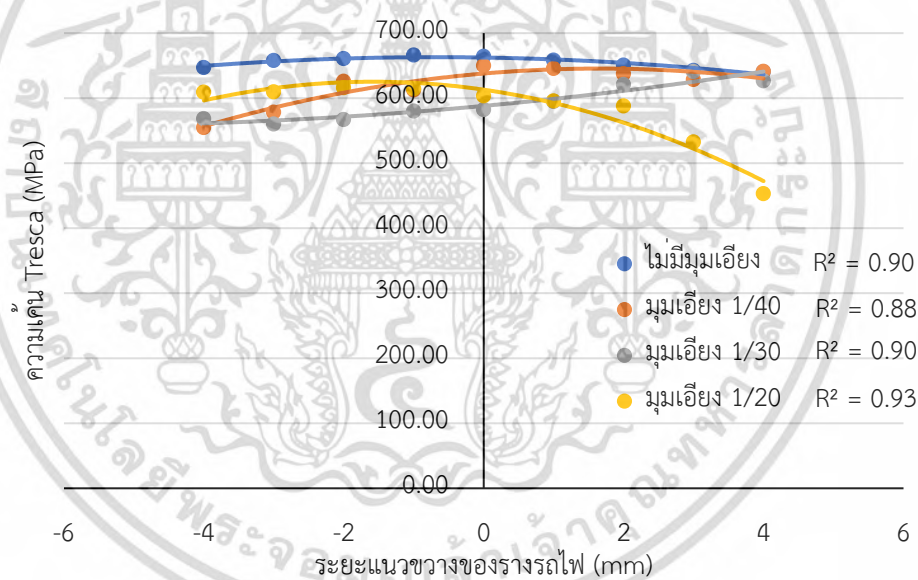
รูปที่ 5.20 กราฟเปรียบเทียบพื้นที่สัมผัส เมื่อมีการเปลี่ยนแปลงมุมเอียง

5.2.2.3 ความเค้น Tresca

จากการพิจารณาความเค้น Tresca ของแบบจำลองสามมิติของล้อและรางรถไฟ พบว่าความเค้น Tresca ของล้อและรางรถไฟจะมีแนวโน้มการเปลี่ยนแปลงในลักษณะเดียวกัน กล่าวคือความเค้น Tresca จะมีค่าเฉลี่ยสูงสุดในกรณีที่รางรถไฟไม่มีมุมเอียง โดยมีแนวโน้มการเปลี่ยนแปลงไม่มากนัก เมื่อแบบจำลองสามมิติของล้อมีการเปลี่ยนแปลงตำแหน่งจากด้าน Gauge side ไปยังด้าน Field side และความเค้น Tresca จะมีค่าเฉลี่ยต่ำสุดในกรณีที่รางรถไฟมีมุมเอียง 1/30 โดยมีแนวโน้มเพิ่มขึ้นเมื่อแบบจำลองสามมิติของล้อมีการเปลี่ยนแปลงตำแหน่งจากด้าน Gauge side ไปยังด้าน Field side เช่นเดียวกับกรณีที่รางรถไฟมีมุมเอียง 1/40 ซึ่งแตกต่างจากกรณีที่รางรถไฟมีมุมเอียง 1/20 ที่ความเค้น Tresca มีแนวโน้มลดลง ดังแสดงในรูปที่ 5.21 และรูปที่ 5.22



รูปที่ 5.21 กราฟเปรียบเทียบความเค้น Tresca ที่ล้อ เมื่อมีการเปลี่ยนแปลงมุมเอียง

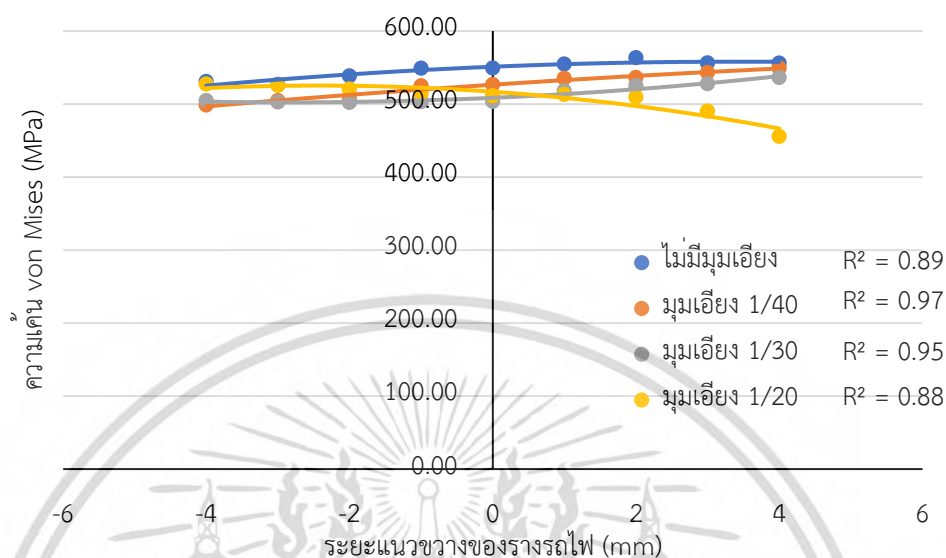


รูปที่ 5.22 กราฟเปรียบเทียบความเค้น Tresca ที่รางรถไฟ เมื่อมีการเปลี่ยนแปลงมุมเอียง

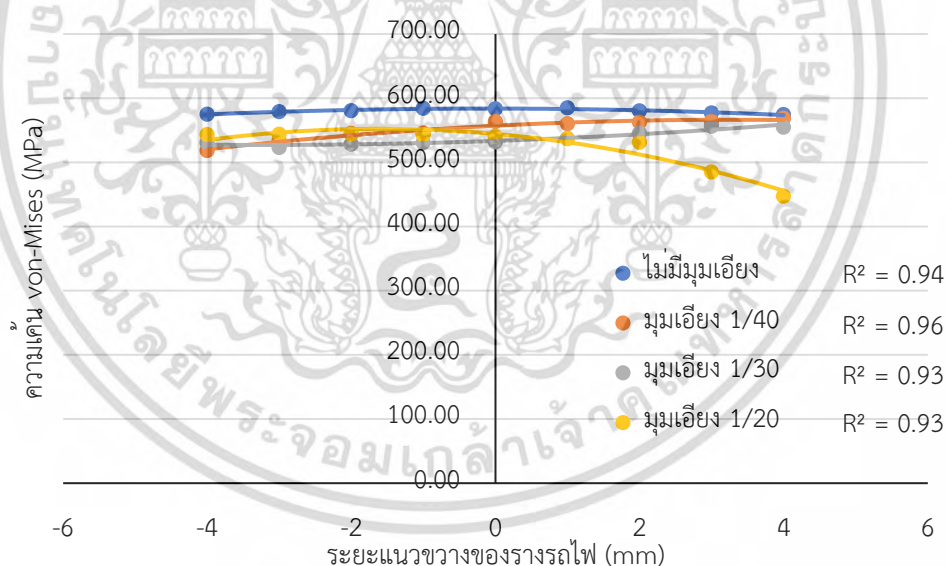
5.2.2.4 ความเค้น von Mises

จากการพิจารณาความเค้น von Mises ของแบบจำลองสามมิติของล้อและรางรถไฟ พบว่าความเค้น von Mises ของล้อและรางรถไฟจะมีแนวโน้มการเปลี่ยนแปลงในลักษณะเดียวกัน กล่าวคือ ความเค้น von Mises จะมีค่าเฉลี่ยสูงสุดในกรณีที่รางรถไฟไม่มีมุมเอียง โดยมีแนวโน้มการเปลี่ยนแปลงไม่มากนัก เมื่อแบบจำลองสามมิติของล้อมีการเปลี่ยนแปลงตำแหน่งจากด้าน Gauge side ไปยังด้าน Field side และความเค้น von Mises จะมีค่าเฉลี่ยต่ำสุดในกรณีที่รางรถไฟไม่มีมุมเอียง 1/30 โดยมีแนวโน้มเพิ่มขึ้นเมื่อแบบจำลองสามมิติของล้อมีการเปลี่ยนแปลงตำแหน่งจากด้าน Gauge side เป็นเอกสารที่สงวนไว้สำหรับการใช้งานเพื่อการศึกษาเท่านั้น ไม่อนุญาตให้นำไปใช้ประโยชน์ด้านการค้าไม่ว่ากรณีใดๆ ทั้งสิ้น อีกทั้งห้ามมิให้ตัดแปลงเนื้อหา และต้องอ้างอิงถึงเจ้าของเอกสารทุกครั้งที่มีการนำไปใช้

side ไปยังด้าน Field side เช่นเดียวกับกรณีที่รางรถไฟมีมุมเอียง $1/40$ ซึ่งแตกต่างจากกรณีที่รางรถไฟมีมุมเอียง $1/20$ ที่ความเค้น von Mises มีแนวโน้มลดลง ดังแสดงในรูปที่ 5.23 และรูปที่ 5.24



รูปที่ 5.23 กราฟเปรียบเทียบความเค้น von Mises ที่ล้อ เมื่อมีการเปลี่ยนแปลงมุมเอียง



รูปที่ 5.24 กราฟเปรียบเทียบความเค้น von Mises ที่รางรถไฟ เมื่อมีการเปลี่ยนแปลงมุมเอียง

5.3 การวิเคราะห์การล้าจากการสัมผัสของแบบจำลอง

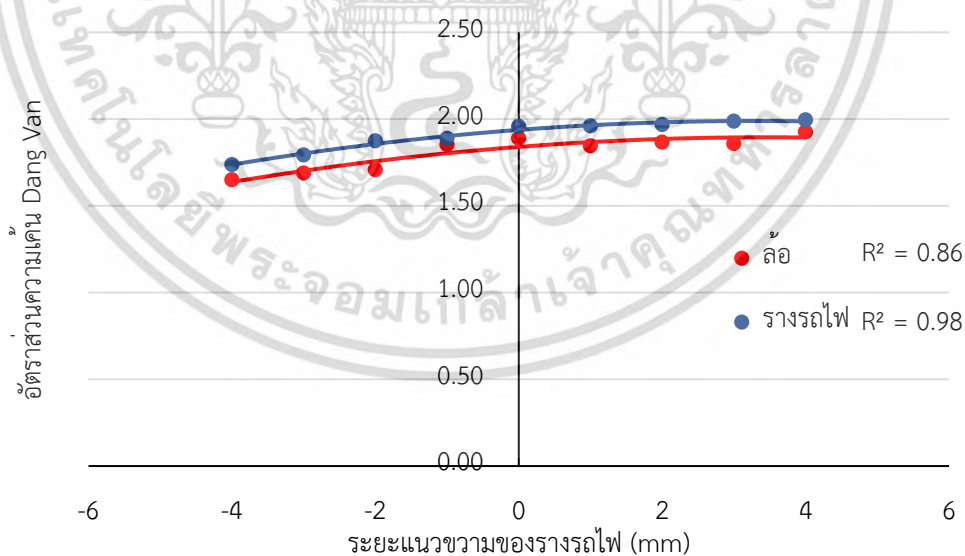
การวิเคราะห์การล้าจากการสัมผัสระหว่างแบบจำลองสามมิติของล้อและรางรถไฟด้วยเกณฑ์การล้าของ Dang Van เพื่อเปรียบเทียบตำแหน่งที่มีแนวโน้มเกิดการล้า เมื่อแบบจำลองสามมิติของล้อมีการเปลี่ยนแปลงตำแหน่งตามแนวขวางของรางรถไฟที่มีมุมเอียง $1/40$ จากนั้นจึงเปรียบเทียบตำแหน่งที่เกิดความเสียหายจากการล้าเมื่อแบบจำลองสามมิติของรางรถไฟมีการเอียงเป็นเอียงที่สงวนไว้สำหรับการใช้งานเพื่อการศึกษาเท่านั้น ไม่นิยมนำไปใช้ประโยชน์ด้านการคำนวณว่ากรณีใดๆ ทั้งสิ้น อีกทั้งห้ามมิให้ตัดแปลงเนื้อหา และต้องอ้างอิงถึงเจ้าของเอกสารทุกครั้งที่มีการนำไปใช้

เปลี่ยนแปลงมุมเอียง โดยจะพิจารณาจากความเค้นตามเกณฑ์การล้าของ Dang Van ซึ่งคำนวณจากความเค้น Tresca และความเค้น Hydrostatic ในแต่ละจุดต่อของแบบจำลองที่ได้จากการวิเคราะห์ด้วยระเบียบวิธีไฟไนต์เอลิเมนต์ โดยความเค้น Hydrostatic จะคำนวณจากความเค้นในแนวแกน x , y และแกน z แล้วจึงนำ ความเค้นตามเกณฑ์การล้าของ Dang Van ไปเปรียบเทียบกับขีดจำกัดของการล้า โดยมีรายละเอียดดังนี้

5.3.1 กรณีเปลี่ยนแปลงตำแหน่งตามแนวขวางของรางรถไฟที่มีมุมเอียง 1/40

5.3.1.1 ความเค้นตามเกณฑ์การล้าของ Dang Van

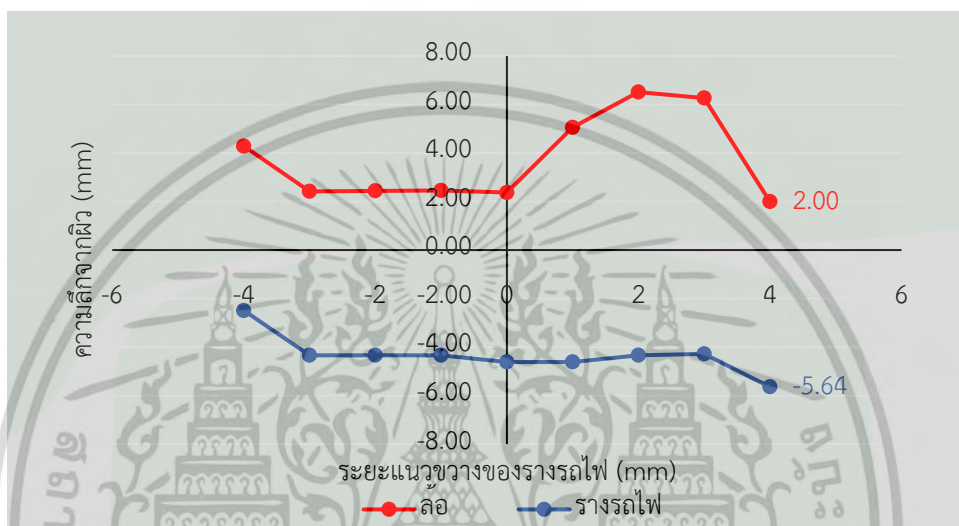
จากการพิจารณาความเค้นตามเกณฑ์การล้าของ Dang Van จากการสัมผัสกันระหว่างแบบจำลองสามมิติของล้อและรางรถไฟที่มีมุมเอียง 1/40 พบว่า ความเค้นตามเกณฑ์การล้าของ Dang Van จะมีแนวโน้มเพิ่มขึ้น เมื่อแบบจำลองสามมิติของล้อมีการเปลี่ยนแปลงตำแหน่งตามแนวขวางของรางรถไฟจากด้าน Gauge side ไปยังด้าน Field side กล่าวคือ ความเค้นตามเกณฑ์การล้าของ Dang Van ที่เกิดขึ้นกับล้อจะมีค่าสูงสุดเท่ากับ 519.88 MPa เมื่อล้ออยู่ที่ตำแหน่ง +4 mm และความเค้นตามเกณฑ์การล้าของ Dang Van ที่เกิดขึ้นกับรางรถไฟจะมีค่าสูงสุดเท่ากับ 538.37 MPa เมื่อล้ออยู่ที่ตำแหน่ง +4 มิลลิเมตร หากพิจารณาอัตราส่วนความเค้นของ Dang Van ซึ่งเป็นการเปรียบเทียบความเค้นตามเกณฑ์การล้าของ Dang Van กับขีดจำกัดการล้าจากการบิด ตามสมการที่ (3.44) จะสามารถแสดงได้ดังรูปที่ 5.25



รูปที่ 5.25 กราฟเปรียบเทียบอัตราส่วนความเค้น Dang Van ที่มีมุมเอียงของรางรถไฟ 1/40

5.3.1.2 ตำแหน่งที่มีความเค้นตามเกณฑ์การล้าของ Dang Van สูงสุด

จากการพิจารณาตำแหน่งที่มีความเค้นตามเกณฑ์การล้าของ Dang Van สูงสุด จากการสัมผัสสลึงของแบบจำลองสามมิติของล้อและรางรถไฟที่มีมุมเอียง $1/40$ พบว่า ตำแหน่งที่มีความเค้นตามเกณฑ์การล้าของ Dang Van สูงสุด จะเกิดขึ้นใต้ผิวของล้อและรางรถไฟ โดยความลึกจะมีแนวโน้มเพิ่มขึ้น เมื่อแบบจำลองสามมิติของล้อมีการเปลี่ยนแปลงตำแหน่งตามแนวขวางของรางรถไฟ จากด้าน Gauge side ไปยังด้าน Field side ดังแสดงในรูปที่ 5.26



รูปที่ 5.26 กราฟเปรียบเทียบตำแหน่งความเค้น Dang Van ที่มีมุมเอียงของรางรถไฟ $1/40$

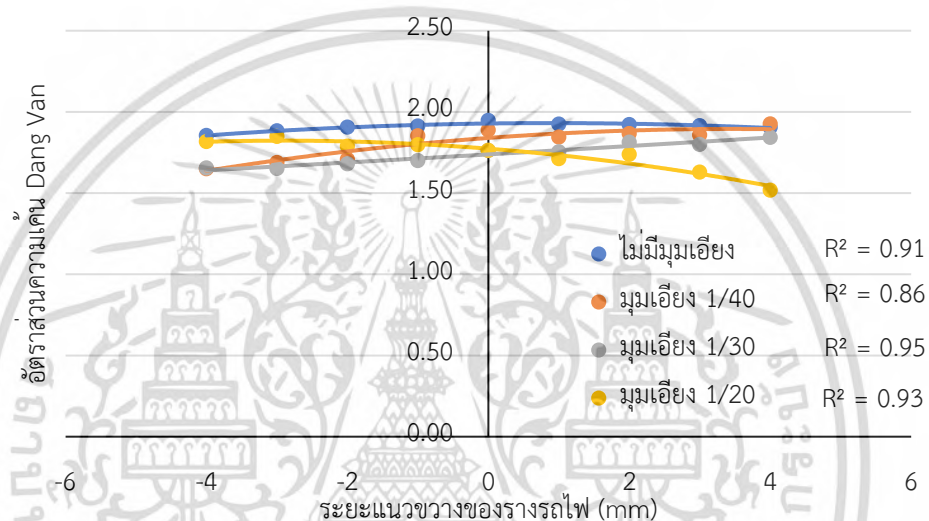
ดังนั้น หากพิจารณาอัตราส่วนความเค้น Dang Van จากการสัมผัสสลึงระหว่างแบบจำลองสามมิติของล้อและรางรถไฟที่มีมุมเอียง $1/40$ ในแต่ละตำแหน่งที่ล้อมีการเปลี่ยนแปลงตามแนวขวางของรางรถไฟ จึงอาจสรุปได้ว่า ความเสียหายสูงสุดจากการล้าของล้อและรางรถไฟจะเกิดขึ้นเมื่อล้ออยู่ในตำแหน่ง $+4$ mm ตามแนวขวางของรางรถไฟ โดยตำแหน่งที่ล้อเกิดความเสียหายสูงสุดจากการล้าจะมีความลึกจากผิวของล้อ 2 mm และตำแหน่งที่รางรถไฟเกิดความเสียหายสูงสุดจากการล้าจะมีความลึกจากผิวของรางรถไฟ 5.64 mm ทั้งนี้ ความเสียหายจากการล้าที่เกิดขึ้นกับรางรถไฟจะมีความรุนแรงมากกว่าล้อ

5.3.2 กรณีเปลี่ยนแปลงมุมเอียงของรางรถไฟ

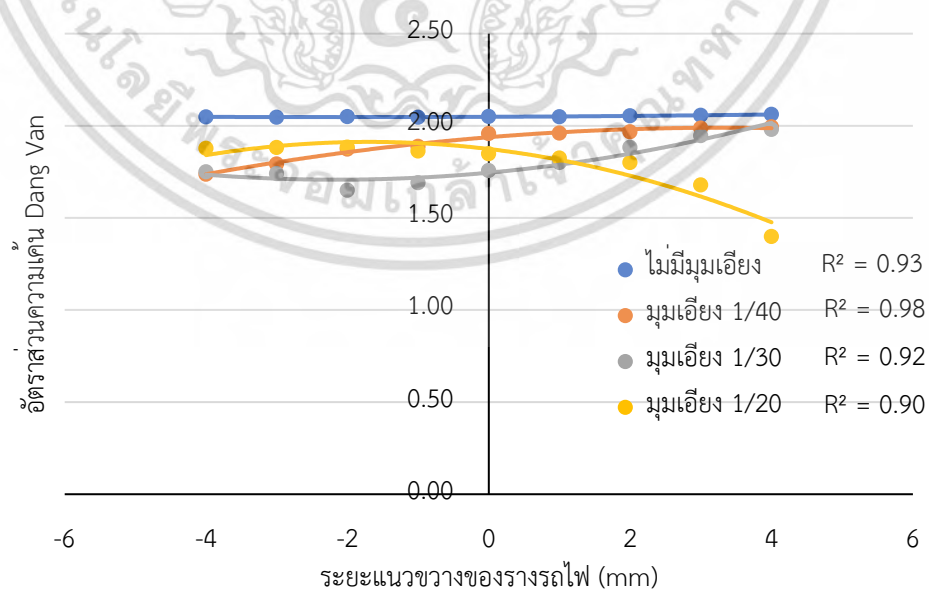
5.3.2.1 ความเค้นตามเกณฑ์การล้าของ Dang Van

จากการพิจารณาความเค้นตามเกณฑ์การล้าของ Dang Van ของแบบจำลองสามมิติของล้อและรางรถไฟ พบว่า ความเค้นตามเกณฑ์การล้าของ Dang Van ที่เกิดขึ้นกับล้อและรางรถไฟจะมีแนวโน้มการเปลี่ยนแปลงในลักษณะเดียวกัน กล่าวคือ ความเค้นตามเกณฑ์การล้าของ Dang Van จะมีค่าเฉลี่ยสูงสุดในกรณีที่รางรถไฟไม่มีมุมเอียง โดยมีแนวโน้มการเปลี่ยนแปลงไม่มากนัก เมื่อเอกสารนี้เป็นเอกสารที่สงวนไว้สำหรับการใช้งานเพื่อการศึกษาเท่านั้น ไม่อนุญาตให้นำไปใช้ประโยชน์อื่นใด ไม่ว่ากรณีใดๆ ทั้งสิ้น อีกทั้งห้ามมิให้ตัดแปลงเนื้อหา และต้องอ้างอิงถึงเจ้าของเอกสารทุกครั้งที่มีการนำไปใช้

แบบจำลองสามมิติของล้อมีการเปลี่ยนแปลงตำแหน่งจากด้าน Gauge side ไปยังด้าน Field side และความเค้นตามแกนทแยงของ Dang Van จะมีค่าเฉลี่ยต่ำสุดในกรณีที่รางรถไฟมีมุมเอียง 1/30 โดยมีแนวโน้มเพิ่มขึ้นเมื่อแบบจำลองสามมิติของล้อมีการเปลี่ยนแปลงตำแหน่งจากด้าน Gauge side ไปยังด้าน Field side เช่นเดียวกับกรณีที่รางรถไฟมีมุมเอียง 1/40 ซึ่งแตกต่างจากกรณีที่รางรถไฟมีมุมเอียง 1/20 ที่ความเค้นตามแกนทแยงของ Dang Van มีแนวโน้มลดลง หากพิจารณาอัตราส่วนความเค้นของ Dang Van ซึ่งเป็นการเปรียบเทียบความเค้นตามแกนทแยงของ Dang Van กับขีดจำกัดการล้าจากการบิด ตามสมการที่ (3.44) จะสามารถแสดงได้ดังรูปที่ 5.27 และรูปที่ 5.28



รูปที่ 5.27 กราฟเปรียบเทียบอัตราส่วนความเค้น Dang Van ที่ล้อ เมื่อมีการเปลี่ยนแปลงมุมเอียง

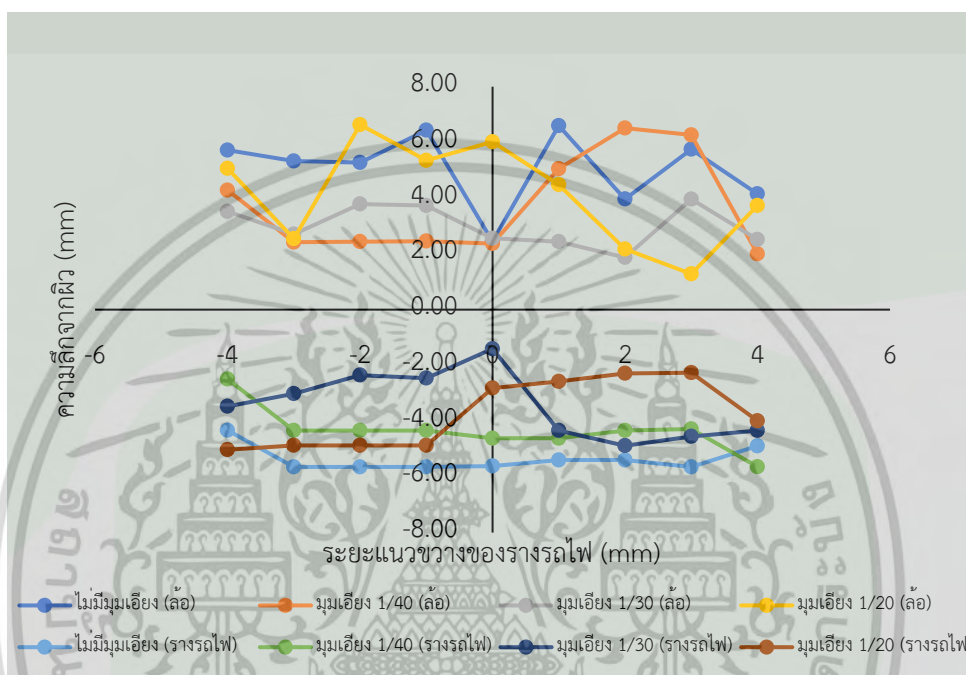


รูปที่ 5.28 กราฟเปรียบเทียบอัตราส่วนความเค้น Dang Van ที่รางรถไฟ เมื่อมีการเปลี่ยนแปลงมุมเอียง

เอกสารนี้เป็นเอกสารที่สงวนไว้สำหรับการใช้งานเพื่อการศึกษาเท่านั้น ไม่อนุญาตให้นำไปใช้ประโยชน์ด้านการค้า ไม่ว่ากรณีใดๆ ทั้งสิ้น อีกทั้งห้ามมิให้ตัดแปลงเนื้อหา และต้องอ้างอิงถึงเจ้าของเอกสารทุกครั้งที่มีการนำไปใช้

5.3.2.2 ตำแหน่งที่มีความเค้นตามเกณฑ์การล้าของ Dang Van สูงสุด

จากการพิจารณาตำแหน่งที่มีความเค้นตามเกณฑ์การล้าของ Dang Van สูงสุดจากการสัมผัสกำลัง พบว่า ตำแหน่งที่มีความเค้นตามเกณฑ์การล้าของ Dang Van สูงสุด จะอยู่ที่ผิวของทั้งแบบจำลองสามมิติของล้อและรางรถไฟ โดยจะมีความลึกเฉลี่ยสูงสุดในกรณีที่รางรถไฟไม่มีมุมเอียง และมีความลึกเฉลี่ยต่ำสุดในกรณีที่รางรถไฟมีมุมเอียง $1/30$ ดังแสดงในรูปที่ 5.29



รูปที่ 5.29 กราฟเปรียบเทียบตำแหน่งความเค้น Dang Van เมื่อมีการเปลี่ยนแปลงมุมเอียง

ดังนั้น หากพิจารณาอัตราส่วนความเค้น Dang Van จากการสัมผัสกำลังระหว่างแบบจำลองสามมิติของล้อและรางรถไฟที่มีมุมเอียงต่าง ๆ จึงอาจสรุปได้ว่า ความเสียหายสูงสุดจากการล้าของล้อและรางรถไฟจะเกิดขึ้นในกรณีที่รางรถไฟไม่มีมุมเอียง โดยตำแหน่งที่ล้อเกิดความเสียหายสูงสุดจากการล้าจะมีความลึกจากผิวของล้อ 2.45 mm และตำแหน่งที่รางรถไฟเกิดความเสียหายสูงสุดจากการล้าจะมีความลึกจากผิวของรางรถไฟ 5.65 mm ทั้งนี้ ความเสียหายจากการล้าที่เกิดขึ้นกับรางรถไฟจะมีความรุนแรงมากกว่าล้อ

บทที่ 6

สรุปผลการวิจัยและข้อเสนอแนะ

การศึกษาแบบจาลอสามมิติของล้อและรางรถไฟภายใต้การสัมผัสกับด้ายระเบียนวิธีไฟไนต์เอลิเมนต์ จะพิจารณาเปรียบเทียบการกระจายตัวของความดันสัมผัส พื้นที่สัมผัส ความเค้น Tresca และความเค้น von Mises ซึ่งเป็นผลลัพธ์ที่ได้จากการวิเคราะห์ด้วยระเบียบวิธีไฟไนต์เอลิเมนต์ ในกรณีที่แบบจาลอสามมิติของล้อมีการเปลี่ยนแปลงตำแหน่งตามแนวขวางของรางรถไฟที่มีมุมเอียง $1/40$ จากด้าน Gauge side ไปยังด้าน Field side รวมถึงในกรณีที่แบบจาลอสามมิติของรางรถไฟมีการเปลี่ยนแปลงมุมเอียง แล้วจึงคำนวณความเค้นตามเกณฑ์การล้าของ Dang Van โดยอาศัยจากความเค้น Tresca และความเค้น Hydrostatic ในแต่ละจุดต่อของแบบจาลอ เพื่อเป็นแนวทางในการวิเคราะห์ตำแหน่งที่มีแนวโน้มจะเกิดความเสียหายจากการล้าขึ้น สามารถสรุปผลได้ดังนี้

6.1 บทสรุป

1. สามารถจำลองการสัมผัสระหว่างล้อและรางรถไฟด้วยระเบียบวิธีไฟไนต์เอลิเมนต์โดยการสร้างแบบจาลอสามมิติของล้อและรางรถไฟโดยใช้โปรแกรม SOLIDWORKS จากนั้นจึงใช้ระเบียบวิธีไฟไนต์เอลิเมนต์ในการวิเคราะห์การสัมผัสกัน โดยกำหนดเงื่อนไขขอบเขตให้สอดคล้องกับสภาพความเป็นจริงมากที่สุดเพื่อความแม่นยำ วัตถุประสงค์

2. จากผลการศึกษา พบว่า ความดันสัมผัส ความเค้น von Mises และความเค้น Tresca จะมีแนวโน้มเพิ่มขึ้น เมื่อล้อมีการเปลี่ยนแปลงตำแหน่งจากด้าน Gauge side ไปยังด้าน Field side เนื่องจากขนาดของพื้นที่สัมผัสระหว่างล้อและรางรถไฟมีแนวโน้มลดลง นอกจากนี้ค่าเฉลี่ยของความดันสัมผัส ความเค้น von Mises และความเค้น Tresca จะมีแนวโน้มลดลง เมื่อรางรถไฟมีมุมเอียงเพิ่มขึ้นจนถึง $1/30$ เนื่องจากขนาดของพื้นที่สัมผัสมีแนวโน้มเพิ่มขึ้น

3. จากการศึกษา พบว่า การหาตำแหน่งที่เกิดการล้าของล้อและรางรถไฟตามเกณฑ์การล้าของ Dang Van สามารถดำเนินการได้การพิจารณาความเค้นตามเกณฑ์การล้าของ Dang Van ซึ่งคำนวณจากค่าความเค้นไฮโดรสแตติก ประกอบกับความเค้นในแนวแกนต่างๆ รวมถึงความเค้น Tresca ของแต่ละจุดต่อในแบบจาลอ เปรียบเทียบกับขีดจำกัดการล้าจากการบิด หากความเค้นตามเกณฑ์การล้าของ Dang Van ในบริเวณใดมีค่ามากกว่าขีดจำกัดการล้าจากการบิด แสดงว่า บริเวณนั้นมีแนวโน้มเกิดการล้าขึ้น

4. จากผลการศึกษา พบว่า ความเสียหายจากการล้าของล้อและรางรถไฟภายใต้การสัมผัสกันในกรณีที่รางรถไฟมีมุมเอียง $1/40$ จะมีแนวโน้มเพิ่มขึ้น เมื่อล้อมีการเปลี่ยนแปลงตำแหน่งจากด้าน Gauge side ไปยังด้าน Field side เนื่องจากความเค้นตามเกณฑ์การล้าของ Dang Van มี

แนวโน้มเพิ่มขึ้น โดยความเสียหายจากการล้าจะเกิดขึ้นในบริเวณใต้ผิวของล้อและรางรถไฟ ทั้งนี้ ความเสียหายที่เกิดขึ้นกับรางรถไฟจะมีความรุนแรงมากกว่าล้อ

5. จากผลการศึกษา พบว่า ความเค้นตามเกณฑ์การล้าของ Dang Van จะมีการเปลี่ยนแปลง ดังนี้

1) ในกรณีที่รางรถไฟไม่มีมุมเอียง ล้อจะมีค่าเฉลี่ยเท่ากับ 514.05 MPa รางรถไฟจะมีค่าเฉลี่ยเท่ากับ 548.97 MPa โดยความเสียหายสูงสุดจากการล้าของล้อจะเกิดขึ้น เมื่อตำแหน่งของล้อยู่บริเวณกลางรางรถไฟ และความเสียหายสูงสุดจากการล้าของรางรถไฟจะเกิดขึ้นเมื่อตำแหน่งของล้อยู่บริเวณด้าน Gauge side

2) ในกรณีที่รางรถไฟมีมุมเอียง $1/40$ ล้อจะมีค่าเฉลี่ยเท่ากับ 488.38 MPa รางรถไฟจะมีค่าเฉลี่ยเท่ากับ 514.70 MPa โดยความเสียหายสูงสุดจากการล้าของล้อและรางรถไฟจะเกิดขึ้นเมื่อตำแหน่งของล้อยู่บริเวณด้าน Field side

3) ในกรณีที่รางรถไฟมีมุมเอียง $1/30$ ล้อจะมีค่าเฉลี่ยเท่ากับ 463.78 MPa รางรถไฟจะมีค่าเฉลี่ยเท่ากับ 481.46 MPa โดยความเสียหายสูงสุดจากการล้าของล้อและรางรถไฟจะเกิดขึ้นเมื่อตำแหน่งของล้อยู่บริเวณด้าน Field side

4) ในกรณีที่รางรถไฟมีมุมเอียง $1/20$ ล้อมีค่าเฉลี่ยเท่ากับ 468.33 MPa รางรถไฟจะมีค่าเฉลี่ยเท่ากับ 481.69 MPa โดยความเสียหายสูงสุดจากการล้าของล้อและรางรถไฟจะเกิดขึ้นเมื่อตำแหน่งของล้อยู่บริเวณด้าน Gauge side

6.2 ข้อเสนอแนะ

จากการศึกษาแนวโน้มของตำแหน่งการเกิดการล้าของล้อและรางรถไฟภายใต้การสัมผัสกลิ้งด้วยระเบียบวิธีไฟไนต์เอลิเมนต์ พบว่า การประยุกต์ใช้ระเบียบวิธีไฟไนต์เอลิเมนต์ในการวิเคราะห์ปัญหาที่มีความซับซ้อนได้อย่างมีประสิทธิภาพ จะต้องอาศัยความเข้าใจในหลักการพื้นฐานรวมถึงเทคนิคต่าง ๆ ที่เกี่ยวข้อง โดยในหัวข้อนี้จะนำเสนอปัญหาที่พบในการทาวิจัยรวมถึงข้อเสนอแนะต่าง ๆ เพื่อเป็นแนวทางในการวิจัยต่อไป โดยมีรายละเอียดดังนี้

1. ในการกำหนดคุณสมบัติของวัสดุของแบบจำลองที่ใช้ในการศึกษาแนวโน้มการเกิดการล้าเป็นการอ้างอิงจากบทความหรืองานวิจัยที่มีลักษณะใกล้เคียงกันซึ่งอาจส่งผลให้ผลลัพธ์ที่ได้มีความคลาดเคลื่อน ดังนั้นจึงควรทำการทดสอบหาคุณสมบัติของวัสดุเพื่อนำใช้ในการสร้างแบบจำลอง เพื่อให้ผลลัพธ์ที่ได้มีความแม่นยำ และถูกต้องมากขึ้น

2. จากการพิจารณาตำแหน่งการเกิดความเสียหายจากการล้า พบว่า ความเสียหายจะเกิดขึ้นในบริเวณใต้ผิวของแบบจำลองสามมิติของล้อและรางรถไฟซึ่งมีความลึกแตกต่างกันไปในแต่ละตำแหน่งดังนั้นจึงควรมีการศึกษาเพิ่มเติมเกี่ยวกับปัจจัยที่ส่งผลกระทบต่อความล้าดังกล่าว

3. เนื่องจากงานวิจัยนี้เป็นเพียงการศึกษาแนวโน้มของตำแหน่งการเกิดการล่า จึงไม่มีการพิจารณาอายุของการล่า ดังนั้นจึงควรมีการศึกษาเพิ่มเติมเกี่ยวกับการพยากรณ์อายุของการล่าเพื่อเป็นแนวทางในการวางแผนการซ่อมบำรุงอย่างมีประสิทธิภาพมากยิ่งขึ้น
4. เนื่องจากการแสดงแนวโน้มของผลลัพธ์ในบางตำแหน่งมีความไม่สอดคล้องกับค่า R^2 ดังนั้นจึงควรมีการวิเคราะห์โดยใช้โปรแกรมอื่นเพื่อเปรียบเทียบต่อไป
5. เนื่องจากแบบจำลองที่นำมาวิเคราะห์มีขนาดใหญ่ และเงื่อนไขขอบเขตมีความซับซ้อน จึงต้องการเอลิเมนต์ที่มีความละเอียดสูงในบริเวณที่มีการสัมผัสระหว่างแบบจำลองสามมิติของล้อและรางรถไฟ ดังนั้นจึงควรใช้คอมพิวเตอร์ที่มีหน่วยความจำ สูงเพื่อลดระยะเวลาในการคำนวณ



เอกสารนี้เป็นเอกสารที่สงวนไว้สำหรับการใช้งานเพื่อการศึกษาเท่านั้น ไม่อนุญาตให้นำไปใช้ประโยชน์ด้านการค้า ไม่ว่าจะกรณีใดๆ ทั้งสิ้น อีกทั้งห้ามมิให้ตัดแปลงเนื้อหา และต้องอ้างอิงถึงเจ้าของเอกสารทุกครั้งที่มีการนำไปใช้

เอกสารอ้างอิง

- [1] Vijay K. Garg and Rao V. Dukkipati. **Dynamics of railway vehicle systems**. Canada : Academic Press. 1984.
- [2] K.L.Johnson. **Contact mechanics**. Cambridge : Cambridge University Press. 1985.
- [3] W. Yan, F.D. Fischer. “Applicability of the Hertz contact theory to rail-wheel contact problems” **Archive of Applied Mechanics** **70**. 2000. pp.255 – 268.
- [4] K. Dang Van and M.H. Maitournam. “On some recent trends in modelling of contact fatigue and wear in rail”, **Wear**, Vol. 253, 2002. pp.219 – 227.
- [5] A. Kapoor, F.J. Franklin, S.K. Wong and M. Ishida. “Surface roughness and plastic flow in rail wheel contact” **Wear**, Vol. 253, 2002. pp.257 – 264.
- [6] Aleksander Sladkowski and Marek Sitarz. “Analysis of wheel–rail interaction using FE software” **Wear**, Vol. 258, 2005. pp.1217 – 1223.
- [7] I.Y. Shevtsov, V.L. Markine and C. Esveld. “Optimal design of wheel profile for railway vehicles” **Wear**, Vol. 258, 2005. pp.1022 – 1030.
- [8] P Hosseini Tehrani and M Saket. “Fatigue crack initiation life prediction of railroad” **7th International Conference on Modern Practice in Stress and Vibration Analysis**, Journal of Physics, Conference Series 181, IOP Publishing, 2009.
- [9] J. Sandstorm. “Evaluation of Dang Van stress in Hertzian rolling contact” **Fatigue & Fracture of Engineering Material & Structures**, Vol. 35, Wiley Publishing Ltd., 2012. pp.1088 – 1094.
- [10] J. Herian , K. Aniołek. “Modelling of structure and properties of pearlitic steel and abrasive wear of the turnout frog in the cyclic loading conditions” **JAMME**, Vol. 49, 2011. pp.71 – 81.
- [11] Roya Sadat Ashofteh. “Calculating the Contact Stress Resulting from Lateral Movement of the Wheel on Rail by Applying Hertz Theory” **IJR International Journal of Railway**, Vol.6, No.4, 2013. pp.148 – 154.
- [12] Jay Prakash Srivastava, P.K. Sarkar, Vinayak Ranjan. “An Approximate Analysis for Hertzian Elliptical Wheel-Rail Contact Problem” **1st International and 16th National Conference on Machines and Mechanisms (iNaCoMM2013)**, 2013. pp.249 – 253.

- [13] Yuewei Ma, Valeri Markinea, Abdul Ahad Mashala and Mingfa Ren. “Modelling verification and influence of operational patterns on tribological behaviour of wheel-rail interaction” **Tribology International**, Vol.114, 2017. pp.264 – 281.
- [14] Zwierczyk, Péter Tamás, Váradi, Károly. “**Thermal and stress analysis of a railway wheel-rail rolling-sliding contact**” Ph.D. dissertation, Department of Machine and Product Design, Faculty of Mechanical Engineering, Budapest University of Technology and Economics. 2015.
- [15] Saurabh Kumar. **Technical Report, Study of Rail Breaks : Associated Risks and Maintenance Strategies**. Division of Operation and Maintenance Engineering, Luleå Railway Research Center (JVCT), Luleå University of Technology, Luleå, Sweden. 2006.
- [16] Felix Hofmann, Gratiela Bertolino, Andrei Constantinescu and Mahamed Ferjani. “Numerical exploration of the Dang Van high cycle fatigue criterion : Application to gradient effects” **Journal of mechanics of materials and structures**, Vol.4, 2009. pp.293 – 308.
- [17] Daryl L. Logan. **Finite Element Method**. Reading : Thomson Publishing Company, Inc. 2002.
- [18] **BS EN 13674-1:2003 Railway applications. Track. Rail. Vignole railway rails 46 kg/m and above**, British Standards Institution.
- [19] **JIS E 5402-1 Rolling Stock - Solid Wheel - Part 1: Quality Requirements**, Japanese Standards Association.
- [20] นคร จันทสร. **ช่างรถไฟ ความรู้ทั่วไปด้านวิศวกรรมรถไฟ โครงการพัฒนาระบบขนส่งทางราง และอุตสาหกรรมที่เกี่ยวข้องของประเทศไทย**. กรุงเทพฯ : สำนักงนพัฒนาวิทยาศาสตร์และเทคโนโลยีแห่งชาติ กระทรวงวิทยาศาสตร์และเทคโนโลยี. 2554.
- [21] วรสิทธิ์ อึ้งภากรณ์, ชาญณัดงาน. **การออกแบบเครื่องจักรกล เล่ม 1**. กรุงเทพฯ : โรงพิมพ์ บริษัท เอช. เอ็น. กรุ๊ป จำกัด 2548.
- [22] Joseph E. Shigley, Charles R. Mischke, Richard G. Budynas. **การออกแบบเครื่องจักรกล**. แปลโดย น.อ.ภาณุฤทธิ์ ยุกตะทัต. กรุงเทพฯ : บริษัท สำนักพิมพ์ท็อป จำกัด 2552.
- [23] R. C. Hibbeler. **Mechanics of Material 2**. แปลโดย บุรฉัตร ฉัตรวีระ, วทชภพ เดชพันธ์
- [24] ดร.เกรียงศักดิ์ อุดมสินโรจน์. **กลศาสตร์ของวัสดุ (MECHANICS OF MATERIALS)** : มิตรนรา การพิมพ์. 1997.

- [25] สุรทัศน์ กองสุข. “การจำลองการตรกรางเนื่องจากล๊อปีนรางด้วยระเบียบวิธีไฟไนต์เอลิเมนต์”
วิทยานิพนธ์วิศวกรรมศาสตรมหาบัณฑิต สาขาวิศวกรรมเครื่องกล สถาบันเทคโนโลยีพระ
จอมเกล้าเจ้าคุณทหารลาดกระบัง. 2555.
- [26] โครงการรถไฟฟ้าสายสีม่วง ช่วงบางใหญ่ – บางซื่อ. การรถไฟฟ้าขนส่งมวลชนแห่งประเทศไทย (รฟม.).



เอกสารนี้เป็นเอกสารที่สงวนไว้สำหรับการใช้งานเพื่อการศึกษาเท่านั้น ไม่อนุญาตให้นำไปใช้ประโยชน์ด้านการค้า
ไม่ว่ากรณีใดๆ ทั้งสิ้น อีกทั้งห้ามมิให้ตัดแปลงเนื้อหา และต้องอ้างอิงถึงเจ้าของเอกสารทุกครั้งที่มีการนำไปใช้



เอกสารนี้เป็นเอกสารที่สงวนไว้สำหรับการใช้งานเพื่อการศึกษาเท่านั้น ไม่อนุญาตให้นำไปใช้ประโยชน์ด้านการค้า
ไม่ว่ากรณีใดๆ ทั้งสิ้น อีกทั้งห้ามมิให้ตัดแปลงเนื้อหา และต้องอ้างอิงถึงเจ้าของเอกสารทุกครั้งที่มีการนำไปใช้



เอกสารนี้เป็นเอกสารที่สงวนไว้สำหรับการใช้งานเพื่อการศึกษาเท่านั้น ไม่อนุญาตให้นำไปใช้ประโยชน์ด้านการค้า
ไม่ว่ากรณีใดๆ ทั้งสิ้น อีกทั้งห้ามมิให้ตัดแปลงเนื้อหา และต้องอ้างอิงถึงเจ้าของเอกสารทุกครั้งที่มีการนำไปใช้

ผลของมุมเอียงรางต่อความเค้นสัมผัสกึ่งระหว่างล้อและราง Effect of Rail Inclination Angle on Wheel/Rail Rolling Contact Stress

สุเทพ แร่อ่อน* และ มนต์ศักดิ์ พิมสาร

¹ ภาควิชาวิศวกรรมเครื่องกล คณะวิศวกรรมศาสตร์
สถาบันเทคโนโลยีพระจอมเกล้าเจ้าคุณทหารลาดกระบัง เขตลาดกระบัง กรุงเทพมหานคร 10520
*ติดต่อ: route-beer@hotmail.com, 089-665-6690

บทคัดย่อ

ระบบขนส่งทางรางเป็นระบบที่ถูกนำมาใช้ในการขนส่งสินค้าและผู้โดยสารอย่างแพร่หลายในปัจจุบัน เนื่องจากเป็นทางเลือกในการขนส่งที่มีความคุ้มค่าทางเศรษฐศาสตร์และมีความปลอดภัยสูง การบำรุงรักษาและป้องกันความเสียหายกับล้อและรางเป็นปัจจัยสำคัญที่มีผลต่อความปลอดภัยของระบบ จากการศึกษาข้อมูลทางสถิติ พบว่า ความเสียหายที่เกิดขึ้นกับล้อและรางส่วนใหญ่ คือ การแตกร้าว ซึ่งเป็นผลมาจากความเค้นสัมผัส (Contact Stress) ระหว่างล้อและราง ซึ่งความเค้นสัมผัสที่เกิดขึ้นนี้เกิดจากปัจจัยที่เกี่ยวข้องหลายประการ เช่น รูปทรงเรขาคณิตของล้อและราง น้ำหนักกดเพลลา ความกว้างของราง ระยะการเคลื่อนที่ตามแนวขวางของราง และมุมเอียงราง เป็นต้น บทความนี้นำเสนอการวิเคราะห์การกระจายความเค้นบริเวณที่มีการสัมผัสกึ่งระหว่างล้อและรางด้วยระเบียบวิธีไฟไนต์เอลิเมนต์ (Finite Element Method: FEM) โดยใช้ข้อมูลทรงเรขาคณิตของล้อที่ใช้ในโครงการรถไฟฟ้าสายสีม่วง และรางมาตรฐาน UIC60 เพื่อสร้างแบบจำลองสามมิติสำหรับวิเคราะห์การกระจายความเค้น ขณะล้อเคลื่อนที่ด้วยความเร็ว 80 กิโลเมตรต่อชั่วโมง และรางมีมุมเอียงราง 1/20 1/30 และ 1/40 ตามลำดับ จากผลการวิเคราะห์ แสดงให้เห็นว่า เมื่อรางมีมุมเอียง 1/20 ความเค้นสูงสุดของรางเกิดขึ้นที่ความลึกใต้ผิวประมาณ 2 มิลลิเมตร และรางเมื่อมีมุมเอียง 1/30 ความเค้นสูงสุดของล้อจะเกิดขึ้นที่ความลึกใต้ผิวประมาณ 3 มิลลิเมตร ซึ่งตำแหน่งดังกล่าวเป็นตำแหน่งที่มีแนวโน้มเกิดการแตกร้าวของล้อและรางได้มากกว่าบริเวณอื่น ผลการศึกษาแสดงถึงแนวทางเบื้องต้นในการวิเคราะห์อายุการใช้งานและวางแผนการซ่อมบำรุงรักษาต่อไป

คำหลัก: มุมเอียงราง ; ความเค้นสัมผัส ; การแตกร้าว ; ไฟไนต์เอลิเมนต์

Abstract

Rail transit system is being used for freight and passengers trip throughout as one of the captive transportation modes which is the economic worthiness and high safety mode. Wheels and rails maintenance and damage prevention are important factors affecting the safety of the system. The previous data show that cracking is the most wheel and the rail damage which is a result of contact stress between wheel and rail. The contact stress caused by several factors such as the geometry of the wheels and rails, axle load, lateral displacement and rail inclination. This manuscripts compiles the analysis of the stress distribution of the rolling contact between wheel and rail by Finite Element Method (FEM) using the data of MRT Purple Line wheel profile with rails UIC60 standard creating a three-dimensional model for stress distribution analysis while moving at 80 kilometers per hour and rail inclination at 1/20, 1/30 and 1/40 respectively. The result shows that when the oblique angle is 1/20, the maximum stress of rail has occurred at a depth of about 2 millimeters beneath and when the rail inclination is 1/30, the maximum stress of rail has occurred at a depth of about 3 millimeters beneath. The specified position is more likely to split up than other areas. The model and result from this study can be primary guideline for lifetime analysis and maintenance planning for other wheel and rail standards.

Keywords: Rail inclination; Contact stress; Crack; FEM

ไม่อนุญาตให้นำไปใช้ประโยชน์ด้านการค้า
และต้องอ้างอิงถึงเจ้าของเอกสารทุกครั้งที่มีการนำไปใช้

1. บทนำ

ล้อและรางรถไฟเป็นส่วนประกอบที่มีความสำคัญมากในระบบการขนส่งทางราง ทั้งในด้านความปลอดภัยและด้านเศรษฐศาสตร์ เนื่องจากเป็นส่วนประกอบที่เกี่ยวข้องกับการเคลื่อนที่ของรถไฟ และค่าใช้จ่ายส่วนใหญ่ในการซ่อมบำรุงของอุตสาหกรรมการขนส่งทางรางถูกใช้ไปกับ การบำรุงรักษาล้อและรางรถไฟ ซึ่งในอนาคตมีแนวโน้มว่ารถไฟจะมีน้ำหนักดเพลารวมถึงความเร็วในการเคลื่อนที่มากขึ้น จึงเป็นผลให้ความเค้นสัมผัสระหว่างล้อและรางรถไฟเพิ่มขึ้นตามไปด้วย โดยความเค้นดังกล่าวเมื่อเกิดซ้ำไปมา (repeated cyclic stress) จะส่งผลให้เกิดการล้าซึ่งเป็นการเสียหายชนิดหนึ่งที่เกิดขึ้นกับล้อและรางรถไฟ ความเสียหายดังกล่าวอาจเริ่มเกิดขึ้นที่ผิวหรือใต้ผิวของล้อและรางรถไฟที่สัมผัสกัน

ทฤษฎีการสัมผัสของเฮิร์ตซ์ [1] ได้ถูกนำมาประยุกต์ใช้อย่างแพร่หลายในการคำนวณความเค้นสัมผัสของล้อและราง [2] โดยเงื่อนไขต่างๆ ในการสัมผัสต้องเป็นไปตามสมมติฐานของทฤษฎี ซึ่งเป็นไปได้ยากในทางปฏิบัติ เช่น สมมติฐานกำหนดให้พื้นที่สัมผัสต้องมีขนาดเล็กมาก เมื่อเทียบกับขนาดและความโค้งของวัตถุ แต่ในการสัมผัสกันของล้อและรางในบริเวณใกล้กับบั้งไบล้อ ความโค้งของพื้นผิวจะมีขนาดใกล้เคียงกับพื้นที่สัมผัส จึงอาจทำให้ผลลัพธ์จากการคำนวณด้วยทฤษฎีการสัมผัสของเฮิร์ตซ์เกิดความคลาดเคลื่อน ดังนั้นในการแก้ปัญหาข้อจำกัดดังกล่าวจึงได้มีการนำเอาวิธีการประมาณเชิงตัวเลข เช่น ระเบียบวิธีไฟไนต์เอลิเมนต์ (finite element method) มาใช้ในการวิเคราะห์แทน

ตัวอย่างงานวิจัยที่ใช้ระเบียบวิธีไฟไนต์เอลิเมนต์ เช่น Yan และ Fischer [3] ใช้ระเบียบวิธีไฟไนต์เอลิเมนต์ในการสร้างแบบจำลองเพื่อวิเคราะห์ปัญหาการสัมผัสของวัสดุต่างๆ ซึ่งรวมถึงล้อและราง โดยทำการตรวจสอบแบบจำลองเปรียบเทียบกับทฤษฎีการสัมผัสของเฮิร์ตซ์ พบว่า ถ้าบริเวณที่มีการสัมผัสไม่มีการเปลี่ยนแปลงรัศมีความโค้งและไม่เกิดสภาวะพลาสติกจะส่งผลให้การกระจายตัวของความเค้นสัมผัสที่ตำแหน่งต่างๆ ของรางในแบบจำลองไฟไนต์เอลิเมนต์จะสอดคล้องกับผลลัพธ์ที่ได้จากทฤษฎีการสัมผัสของเฮิร์ตซ์ Srivastava และคณะ [5] ใช้ระเบียบวิธีไฟไนต์เอลิเมนต์ในการวิเคราะห์ความเค้นและรูปร่างของพื้นที่สัมผัสของล้อและรางเปรียบเทียบกับ การคำนวณตามทฤษฎีการสัมผัสของเฮิร์ตซ์ พบว่า รัศมีความโค้งของรูปร่างล้อ มุมเอียงของล้อเป็นเอียงสำหรับวงล้อสำหรับการใช้งานเพื่อการเคลื่อนที่

เอียงของพื้นล้อเป็นปัจจัยที่ส่งผลกระทบต่อความเค้นและรูปร่างของพื้นที่สัมผัสที่เกิดขึ้น

2. ทฤษฎี

2.1 ทฤษฎีการสัมผัสของเฮิร์ตซ์ (Hertz contact theory)

ทฤษฎีการสัมผัสของเฮิร์ตซ์ได้ถูกเผยแพร่ในปี ค.ศ. 1882 โดยนักวิทยาศาสตร์ชาวเยอรมัน ชื่อ Heinrich Hertz ได้ทำการศึกษาค้นคว้าของของแข็งยืดหยุ่น ซึ่งได้อธิบายคุณสมบัติการสัมผัสกันของเลนส์ โดยความเค้นสัมผัสของเฮิร์ตซ์ (Hertzian stress contact) คือความเค้นที่เกิดจากการสัมผัสกันระหว่างพื้นผิวโค้งของเลนส์ภายใต้แรงกระทำตั้งฉาก ซึ่งทฤษฎีดังกล่าวได้ถูกนำมาประยุกต์ใช้ในการศึกษาค้นคว้าของล้อและราง กล่าวคือ เมื่อล้อกดลงบนรางจะส่งผลให้พื้นที่สัมผัสระหว่างล้อและรางมีลักษณะเป็นรูปวงรี โดยมีที่ระยะครึ่งของวงรีสัมผัสตามแนวแกนหลัก (Major semi-axes of contact ellipse) คือ และระยะครึ่งของวงรีสัมผัสตามแนวแกนรอง (Minor semi-axes of contact ellipse) คือ ซึ่งสามารถคำนวณได้จากสมการต่อไปนี้

$$a = m \left[\frac{3\pi P (K_1 + K_2)}{4K_4} \right]^{\frac{1}{3}} \quad (1)$$

$$b = n \left[\frac{3\pi P (K_1 + K_2)}{4K_4} \right]^{\frac{1}{3}} \quad (2)$$

โดย P คือ แรงกระทำในแนวตั้งฉากทั้งหมด และ

$$K_1 = \frac{1 - \nu_W^2}{\pi E_W} \quad (3)$$

$$K_2 = \frac{1 - \nu_R^2}{\pi E_R} \quad (4)$$

$$K_3 = \frac{1}{2} \left[\frac{1}{R_1} + \frac{1}{R_1'} + \frac{1}{R_2} + \frac{1}{R_2'} \right] \quad (5)$$

โดย R_1 คือ รัศมีการกึ่งหลักของล้อ; R_1' คือ รัศมีความโค้งของล้อที่จุดสัมผัสตามแนวขวาง; R_2 คือ รัศมีการกึ่งหลักของรางที่จุดสัมผัส ($R_2 = \infty$); R_2' คือ รัศมีความโค้งของรางที่จุดสัมผัสตามแนวขวาง; ν_W , ν_R คือ อัตราส่วนบัพของของวัสดุของล้อและรางตามลำดับ; E_W , E_R คือ ค่าโมดูลัสความยืดหยุ่นของวัสดุของล้อและรางตามลำดับ

รัศมีความโค้งของวัตถุจะมีค่าเป็นบวกถ้าจุดศูนย์กลางของรัศมีความโค้งอยู่ภายในวัตถุ ประโยชน์ด้านการคำนวณ

ไม่ว่ากรณีใดๆ ทั้งสิ้น อีกทั้งห้ามมิให้ตัดแปลงเนื้อหา และต้องอ้างอิงถึงเจ้าของเอกสารทุกครั้งที่มีการนำไปใช้

ในสมการ (1) และ (2) ขึ้นอยู่กับอัตราส่วน $\frac{K_4}{K_3}$ โดย K_4

สามารถคำนวณได้จากสมการต่อไปนี้

$$K_4 = \frac{1}{2} \left[\left(\frac{1}{R_1} + \frac{1}{R'_1} \right)^2 + \left(\frac{1}{R_2} + \frac{1}{R'_2} \right)^2 + 2 \left(\frac{1}{R_1} - \frac{1}{R'_1} \right) \left(\frac{1}{R_2} - \frac{1}{R'_2} \right) \cos 2\psi \right] \quad (6)$$

โดยที่ ψ คือมุมระหว่างระนาบหลักซึ่งประกอบด้วยรัศมี

ความโค้ง $\frac{1}{R_1}$ และ $\frac{1}{R_2}$; m และ n คือ สัมประสิทธิ์ของ

เฮิร์ตซ์ และ θ สามารถคำนวณได้จากสมการต่อไปนี้

$$\theta = \cos^{-1} \left(\frac{K_4}{K_3} \right) \quad (7)$$

ความดันสัมผัสในแนวตั้งฉากที่ตำแหน่งต่างๆ ภายในพื้นที่สัมผัสระหว่างล้อและราง สามารถคำนวณได้จากสมการต่อไปนี้

$$p(x, y) = p_0 \left\{ 1 - \left(\frac{x}{a} \right)^2 - \left(\frac{y}{b} \right)^2 \right\}^{\frac{1}{2}} \quad (8)$$

$$p_0 = \frac{3P}{2\pi ab} \quad (9)$$

โดย $p(x, y)$ คือ ความดันสัมผัสในแนวตั้งฉากที่ตำแหน่งต่างๆ; p_0 คือ ความดันสัมผัสในแนวตั้งฉากสูงสุดที่ตำแหน่งกึ่งกลางของพื้นที่สัมผัสระหว่างล้อและราง

ความเค้น (Stress) ในแนวตั้งฉากที่ความลึกต่างๆ ใต้ผิวสัมผัสที่จุดกึ่งกลางของพื้นที่สัมผัสระหว่างล้อและราง สามารถคำนวณได้จากสมการดังต่อไปนี้

$$\frac{\sigma_z}{p_0} = -\frac{b}{e^2 a} \left(\frac{1-T^2}{T} \right) \quad (10)$$

$$T = \left(\frac{b^2 + z^2}{a^2 + z^2} \right)^{\frac{1}{2}} \quad (11)$$

$$e = \left(1 - \frac{b^2}{a^2} \right)^{\frac{1}{2}} \quad (12)$$

เอกสารนี้เป็นเอกสารที่สงวนไว้สำหรับการใช้งานเพื่อการศึกษาเท่านั้น ไม่อนุญาตให้เผยแพร่โดยไม่ได้รับอนุญาต
โดย e คือ ค่าความเยื้องศูนย์กลางของรูปวงรี τ_{\max} เป็นที่ระโยชน์ด้านการค้ำ (13)

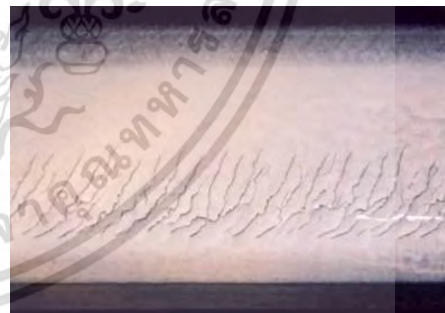
ไม่ว่ากรณีใดๆ ทั้งสิ้น อีกทั้งห้ามมิให้ตัดแปลงเนื้อหา และต้องอ้างอิงถึงเจ้าของเอกสารทุกครั้งที่มีการนำไปใช้

2.2. การเสียหายจากการล้าของล้อและราง

รูปแบบการเสียหายจากการล้าของล้อและราง ที่มักพบเห็นสามารถ จัดจำแนกได้เป็นดังนี้

1. การเสียหายจากการล้าที่ผิว (Surface-induced failures) การเสียหายที่เกิดจากการเสียรูปแบบถาวร (plastic deformation) ใต้ผิวประมาณในระดับไม่กี่มิลลิเมตร ซึ่งเป็นจุดที่ทำให้เกิดรอยแตกกว้าง จากนั้นเมื่อมีภาระกระทำแบบซ้ำๆ จะทำให้รอยแตกกว้างโตขึ้นและขยายตัวไปที่ผิวของชิ้นงาน และอาจทำให้เกิดการหลุดล่อนของผิวชิ้นงานได้ รูปที่ 1 แสดงตัวอย่างการเสียหายจากการล้าที่ผิว ซึ่งเกิดรอยแตกกว้างชัดเจน ซึ่งในงานวิจัยนี้จะให้ความสนใจในการทำนายตำแหน่งของจุดกำเนิดของรอยแตกกว้างชนิดนี้

2. การเสียหายจากการล้าใต้ผิว (Subsurface failures) โดยปกติการเสียหายอาจจะเกิดจากกรณีที่มีเศษวัสดุเจือปนในชิ้นงานหรือมีรอยแตกกว้างหรือรูพรุนใต้ผิวชิ้นงานที่ระดับความลึกมาก เช่น 20-30 มิลลิเมตร เป็นต้น เกิดขึ้นอยู่แล้วก็ได้ ดังนั้นรอยแตกกว้างจะมีการขยายตัวออกเป็นสาขา รอยแตกกว้างบางส่วนจะมีการขยายตัวไปยังผิวชิ้นงาน สุดท้ายทำให้เกิดการหลุดล่อนของชิ้นงาน ขนาดใหญ่เกิดขึ้น ทำให้ผิวชิ้นงานมีการเสียหายมาก ตัวอย่างถ้าเป็นล้อหรือราง ก็ทำให้มีความเสี่ยงที่จะทำให้ตกรางได้



รูปที่ 2-1 แสดงการเสียหายจากการล้าที่ผิว ทำให้เกิดรอยแตกที่ผิวของรางรถไฟ

2.3. ทฤษฎีของการวิบัติ

โครงสร้างต่างๆ จะเกิดการวิบัติขึ้นได้เมื่อมีความเค้นมากเกินไปที่วัสดุนั้นจะรับได้ ซึ่งทฤษฎีของการวิบัติที่นิยมกล่าวถึงคือ ทฤษฎีของ H. Tresca (ค.ศ.1864) ซึ่งเป็นทฤษฎีของค่าความเค้นเฉือนมากที่สุด (Maximum Shear Stress Theory) ซึ่งสามารถสรุปได้ดังนี้

$$\tau_{\max} = \frac{\sigma_{\text{yield}}}{2} \quad (13)$$

และทฤษฎีของ R. Von Mises (ค.ศ.1913) ซึ่งเป็นทฤษฎีของพลังงานมากที่สุด (Maximum Distortion Energy Theory) ซึ่งสามารถสรุปได้ดังนี้

$$\sigma_{yield}^2 = \frac{[(\sigma_1 - \sigma_2)^2 + (\sigma_2 - \sigma_3)^2 + (\sigma_3 - \sigma_1)^2]}{2} \quad (14)$$

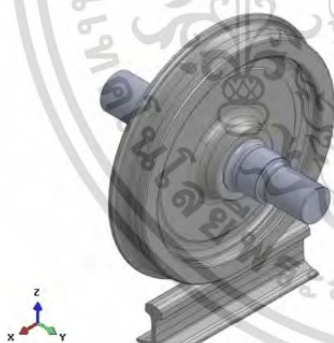
โดยทฤษฎีทั้งสองสามารถใช้กับวัสดุแบบเหนียว (Ductile Materials) เท่านั้น

3. การจำลองการกึ่งของล้อบนรางด้วยระเบียบวิธีไฟไนต์เอลิเมนต์

3.1 การสร้างแบบจำลอง

ในบทความนี้สร้างแบบจำลองของล้อตามที่มีการใช้งานจริงในโครงการรถไฟฟ้าสายสีม่วง ซึ่งถูกออกแบบบนพื้นฐานของล้อแบบ EPS ตามมาตรฐาน EN 13715 และรางตามแบบ UIC 60E1 และ BS100lb

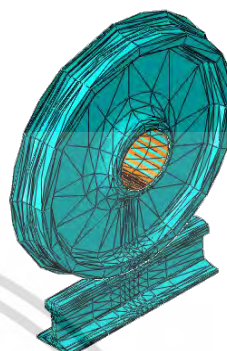
จากนั้นวิเคราะห์การกึ่งของล้อบนรางด้วยระเบียบวิธีไฟไนต์เอลิเมนต์ โดยใช้แบบจำลองของล้อ 1 ล้อและรางที่มีความยาว 0.65 เมตร ซึ่งเป็นระยะห่างระหว่างหมอนรองราง (Sleeper) ดังแสดงในรูปที่ 2



รูปที่ 2 แสดงแบบจำลองของล้อและราง

กำหนดคุณสมบัติทางกลของวัสดุของล้อและรางให้มีค่าโมดูลัสความยืดหยุ่น (Young's Modulus) เท่ากับ 210 GPa อัตราส่วนบวของ (Poisson's Ratio) เท่ากับ 0.3 และเพลามีคุณสมบัติเป็นวัตถุแข็งเกร็ง (rigid body) โดยผิวเพลาล้อและผิวรางมีการสัมผัสกันแบบถาวร (Perfect bonding) มีแรงขนาด 81,423 นิวตัน กระทำที่เพลาล้อในแนวตั้ง ผิวล้อและผิวรางมีการสัมผัสกันแบบมีความเสียดทานที่มีสัมประสิทธิ์ความเสียดทานเท่ากับ 0.3 ใช้

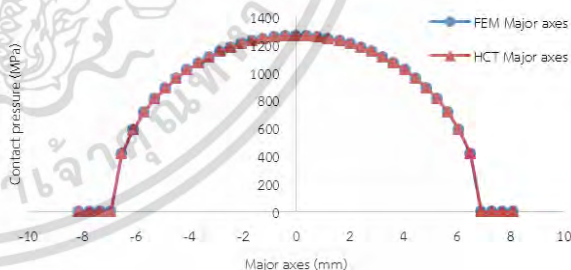
ลากรานจ์ (Augmented lagrange) โดยแบบจำลองในการวิเคราะห์การกึ่งของล้อบนรางด้วยระเบียบวิธีไฟไนต์เอลิเมนต์ดังกล่าวประกอบด้วยเอลิเมนต์แบบสามมิติจำนวน 126,089 เอลิเมนต์ ดังแสดงในรูปที่ 3



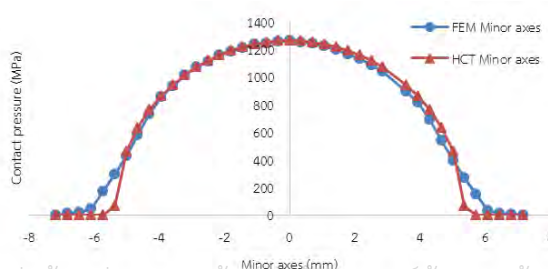
รูปที่ 3 แสดงแบบจำลองไฟไนต์เอลิเมนต์ของล้อและราง

3.2 การตรวจสอบแบบจำลอง

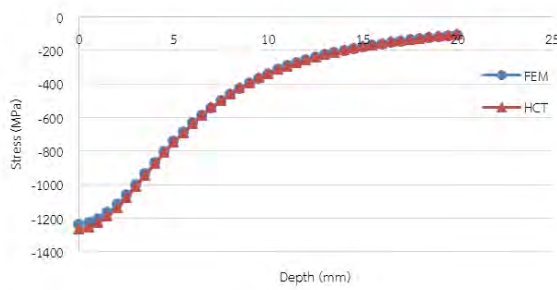
ทำการเปรียบเทียบความดันสัมผัส (Contact pressure) ในแนวตั้งฉากที่ตำแหน่งต่างๆ ภายในพื้นที่วงรีตามแนวแกนหลักและแนวแกนรอง รวมถึงความเค้น (Stress) ในแนวตั้งฉากที่ความลึกต่างๆ ที่จุดกึ่งกลางของพื้นที่สัมผัสที่เกิดจากการสัมผัสระหว่างล้อและรางที่ได้จากแบบจำลองไฟไนต์เอลิเมนต์กับการคำนวณตามทฤษฎีการสัมผัสของเฮิร์ตซ์ ตามสมการ (8) (9) (10) (11) และ (12) ดังแสดงในกราฟที่ 1 2 และ 3 ตามลำดับ



กราฟที่ 1 แสดงการเปรียบเทียบความดันสัมผัสตามแนวแกนหลัก



กราฟที่ 2 แสดงการเปรียบเทียบความเค้นในแนวตั้งฉาก

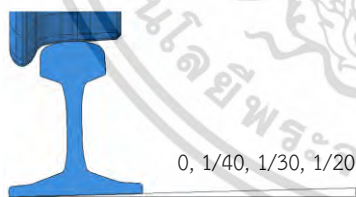


กราฟที่ 3 แสดงการเปรียบเทียบความเค้นในแนวตั้งฉากที่ความลึกต่างๆ

พบว่า แบบจำลองไฟไนต์เอลิเมนต์ให้ผลลัพธ์ที่มีความสอดคล้องตามทฤษฎีการสัมผัสของเฮิร์ตซ์ ดังนั้นจึงสามารถนำแบบจำลองไฟไนต์เอลิเมนต์ดังกล่าวไปใช้ในการวิเคราะห์การกลิ้งของล้อบนรางต่อไปได้

3.3 การวิเคราะห์การกลิ้งของล้อบนราง

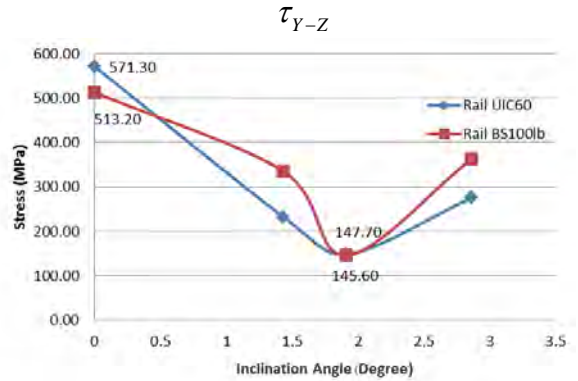
ในบทความนี้กำหนดให้ล้อมีการเคลื่อนที่ไปตามรางที่ตำแหน่งกึ่งกลางของพื้นล้อตรงกับตำแหน่งกึ่งกลางของหัวราง ด้วยความเร็ว 80 กิโลเมตรต่อชั่วโมง (อัตราเร็วเชิงมุม 52.29 เรเดียนต่อวินาที) และยังคงมีแรงขนาด 81,423 นิวตัน กดที่เพลลาในแนวตั้ง โดยกำหนดเงื่อนไขในการวิเคราะห์ให้รางมีมุมเอียงราง (Rail Inclination) เท่ากับ 0, 1/40, 1/30 และ 1/20 ตามลำดับ ดังแสดงในรูปที่ 4



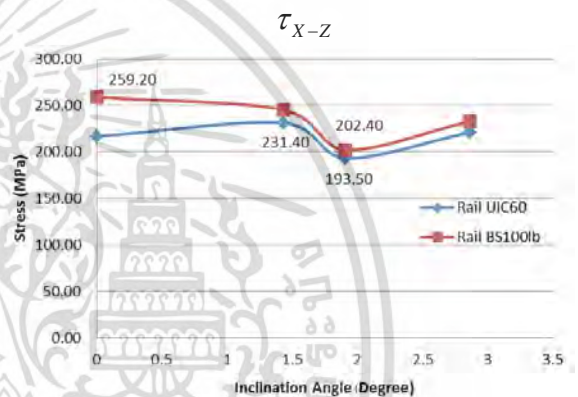
รูปที่ 4 แสดงมุมเอียงราง (Rail Inclination)

4. ผลลัพธ์และการอภิปราย

เมื่อพิจารณาผลลัพธ์ที่ได้จากแบบจำลองการกลิ้งของล้อบนรางที่มีมุมเอียงต่างๆ ด้วยระเบียบวิธีไฟไนต์เอลิเมนต์ พบว่า ในกรณีที่รางไม่มีมุมเอียงรางจะส่งผลให้ค่าความเค้นเฉือนในระนาบ Y-Z และในระนาบ X-Z มีค่าสูงที่สุดเมื่อเปรียบเทียบกับรางที่มีมุมเอียงอื่นๆ มีค่าต่ำสุดเมื่อรางมีมุมเอียงรางเท่ากับ 1/30 ทั้งในรางแบบ UIC60 และ BS100lb ดังแสดงในรูป

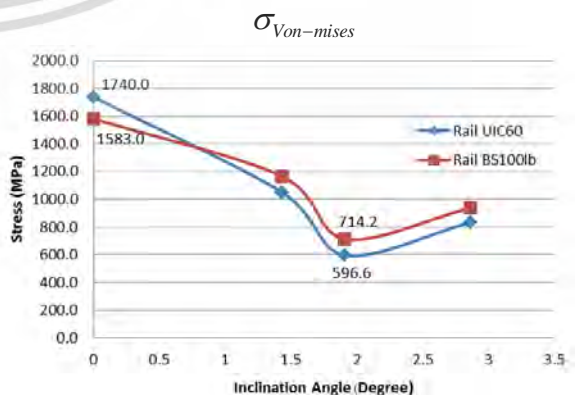


กราฟที่ 4 แสดงความสัมพันธ์ระหว่างความเค้นเฉือนที่รางในระนาบ Y-Z กับมุมเอียงราง



กราฟที่ 5 แสดงความสัมพันธ์ระหว่างความเค้นเฉือนที่รางในระนาบ X-Z กับมุมเอียงราง

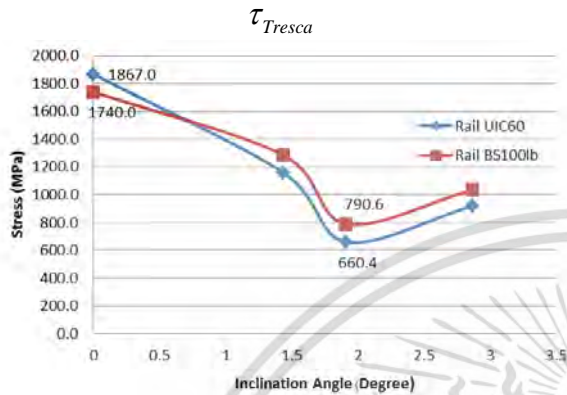
หากพิจารณาความเค้น Von-mises ที่เกิดขึ้นในรางพบว่า ความเค้น Von-mises จะมีค่าสูงสุดเมื่อล้อกลิ้งบนรางที่ไม่มีมุมเอียงราง และจะมีค่าต่ำสุดเมื่อล้อกลิ้งบนรางที่มีมุมเอียงรางเท่ากับ 1/30 ทั้งในรางแบบ UIC60 และ BS100lb ดังแสดงในกราฟที่ 6



กราฟที่ 6 แสดงความสัมพันธ์ระหว่างความเค้น Von-mises กับมุมเอียงราง

เอกสารนี้เป็นเอกสารที่สงวนไว้สำหรับการใช้งานเพื่อการศึกษาเท่านั้นไปใช้ประโยชน์ด้านการค้าไม่ว่ากรณีใดๆ ทั้งสิ้น อีกทั้งห้ามมิให้ตัดแปลงเนื้อหา และต้องอ้างอิงถึงเจ้าของเอกสารทุกครั้งที่มีการนำไปใช้

หากพิจารณาความเค้นเฉือน Tresca ที่เกิดขึ้นในราง พบว่า ความเค้นเฉือน Tresca จะมีค่าสูงสุดเมื่อล้อกลิ้งบนรางที่ไม่มีมุมเอียงราง และจะมีค่าต่ำสุดเมื่อล้อกลิ้งบนรางที่มีมุมเอียงรางเท่ากับ 1/30 ทั้งในรางแบบ UIC60 และ BS100lb ดังแสดงในกราฟที่ 7



กราฟที่ 7 แสดงความสัมพันธ์ระหว่างความเค้นเฉือน Tresca กับมุมเอียงราง

5. สรุปผลการวิจัย

การศึกษาแบบจำลองการกลิ้งระหว่างล้อและราง ด้วยระเบียบวิธีทางไฟไนต์เอลิเมนต์ พบว่า ในกรณีที่รางไม่มีมุมเอียงราง จะส่งผลให้เกิดความเค้น Von-mises และความเค้นเฉือน Tresca ที่เกิดขึ้นในรางมีค่าสูงสุดเมื่อเปรียบเทียบกับในกรณีที่รางมีมุมเอียงรางอื่นๆ ดังนั้นจึงอาจสรุปในเบื้องต้นได้ว่า มุมเอียงรางเป็นปัจจัยหนึ่งที่มีผลต่อความเค้นและความเค้นเฉือนที่เกิดขึ้นในราง ทั้งนี้ความเค้น Von-mises และความเค้นเฉือน Tresca ดังกล่าวจะเกิดขึ้นในบริเวณหัวราง (Rail Head) ที่ระยะความลึกจากผิวราง 1-2 มิลลิเมตร ซึ่งในบริเวณดังกล่าวจะเป็นจุดเริ่มต้นของความล้าของวัสดุทำให้เกิดความเสียหายขึ้นกับรางและจะนำไปสู่การแตกร้าวและจะมีการขยายตัวมาถึงผิวของราง จนทำให้เราสามารถเห็นได้ด้วยตาเปล่า

6. กิตติกรรมประกาศ

ขอขอบคุณ ผศ.ดร. มนต์ศักดิ์ พิมสาร อาจารย์ที่ปรึกษาวิทยานิพนธ์ที่ให้ความรู้และคำแนะนำในการศึกษา ขอขอบคุณการรถไฟฟ้ายานขนส่งมวลชนแห่งประเทศไทยสำหรับข้อมูลของโครงการรถไฟฟ้ายานขนส่ง

7. เอกสารอ้างอิง

- [1] Johnson, K. L, (1985), "Contact mechanics", Cambridge University Press
- [2] Vijay K. Garg, Rao V. Dukkipati, (1984), "Dynamics of railway vehicle systems", Academic Press
- [3] W. Yan, F.D. Fischer, (2000), "Applicability of the Hertz contact theory to rail-wheel contact problems", Archive of Applied Mechanics 70, Page 255-268
- [4] Jay Prakash Srivastava, P.K. Sarkar, (2013), Vinayak Ranjan, "An Approximate Analysis for Hertzian Elliptical Wheel-Rail Contact Problem", 1st International and 16th National Conference on Machines and Mechanisms (iNaCoMM2013) India, Page 249-253
- [5] BS EN 13715:2006+A1:2010 Railway applications. Wheelsets and bogies. Wheels. Tread profile
- [6] BS EN 13674-1:2003 Railway applications. Track. Rail. Vignole railway rails 46 kg/m and above
- [7] ดร.เกรียงศักดิ์ อุดมสินโรจน์, (1997), "กลศาสตร์ของวัสดุ (MECHANICS OF MATERIALS)", มิตรนราการพิมพ์.

เอกสารนี้เป็นเอกสารที่สงวนไว้สำหรับการใช้งานเพื่อการศึกษาเท่านั้น ไม่อนุญาตให้นำไปใช้ประโยชน์ด้านการค้าไม่ว่ากรณีใดๆ ทั้งสิ้น อีกทั้งห้ามมิให้ตัดแปลงเนื้อหา และต้องอ้างอิงถึงเจ้าของเอกสารทุกครั้งที่มีการนำไปใช้

ประวัติผู้เขียน

ชื่อ-นามสกุล	นายสุเทพ แร่ออน
วัน เดือน ปีเกิด	1 มิถุนายน 2528
ที่อยู่	73 หมู่ 6 ต.าทรโพหัก อ.ถอบบางแพ จังหวัดราชบุรี 70160
ประวัติการศึกษา	2551 วิศวกรรมศาสตรบัณฑิต สาขาวิศวกรรมเครื่องกล สถาบันเทคโนโลยีพระจอมเกล้าเจ้าคุณทหารลาดกระบัง
ประสบการณ์ท งาน	
พ.ศ.2551-2553	วิศวกรซ่อมบำรุง บริษัท สยามโตโยต้าอุตสาหกรรม จ. กักต
พ.ศ.2553-ปัจจุบัน	วิศวกร ระดับ 7 และรักษาการหัวหน้าแผนก กักงานระบบรถไฟฟ้า กองก กักงานระบบรถไฟฟ้า ฝ่ายระบบรถไฟฟ้า การรถไฟฟ้าขนส่งมวลชนแห่งประเทศไทย (รฟม.)



เอกสารนี้เป็นเอกสารที่สงวนไว้สำหรับการใช้งานเพื่อการศึกษาเท่านั้น ไม่อนุญาตให้นำไปใช้ประโยชน์ด้านการค้า
ไม่ว่ากรณีใดๆ ทั้งสิ้น อีกทั้งห้ามมิให้ตัดแปลงเนื้อหา และต้องอ้างอิงถึงเจ้าของเอกสารทุกครั้งที่มีการนำไปใช้